

Ciência, tecnologia e inovação em Saúde na Amazônia

DESDE 10 DE NOVEMBRO DE 1936 FAZENDO HISTÓRIA NA SAÚDE PÚBLICA BRASILEIRA





Geoinformática aplicada à Saúde

Ricardo J.P.S. Guimarães SEEPI/IEC/SVSA/MS

http://lattes.cnpq.br/4082971128842907 https://orcid.org/0000-0002-5767-4765 http://dqp.cnpq.br/dqp/espelhogrupo/1644605494832370

Definição - Objetivo - Aplicação



- ✓ A Epidemiologia Espacial (EE) estuda a distribuição geográfica das (doenças / unidades de saúde / fontes de exposição) e suas interações com fatores ambientais, sociais e demográficos.
- ✓ EE busca entender como a localização geográfica afeta a ocorrência, propagação e impacto das doenças em uma determinada população.
- ✓ EE usa as técnicas de georreferenciamento, análise espacial e modelagem estatística, para identificar padrões, aglomerados e tendências relacionadas às doenças em diferentes regiões.
- ✓ EE fornece conhecimento valiosos para a saúde pública e contribui para o desenvolvimento de estratégias de prevenção, controle e intervenção mais eficazes.

Kulldorff & Nagarwalla (1995) - https://doi.org/10.1002/sim.4780140809
Guimarães et al. (2010) - https://doi.org/10.1590/S0074-02762010000400030
Kirby et al. (2017) - https://doi.org/10.1016/j.annepidem.2016.12.001

Artigos





Review

TRENDS in Ecology and Evolution Vol.20 No.6 June 2005

Full text provided by www.sciencedirect.com

VOLUME 112 | NUMBER 9 | June 2004 • Environmental Health Perspectives

Spatial epidemiology: an emerging

Richard S. Ostfeld¹, Gregory E. Glass² and Felicia Keesing^{1,3}

(or re-emerging) discipline

https://doi.org/10.1289/ehp.6735

Information Systems | Mini-Monograph

Spatial Epidemiology: Current Approaches and Future Challenges

Paul Elliott¹ and Daniel Wartenberg²

¹Small Area Health Statistics Unit, Department of Epidemiology and Public Health, Imperial College London, London, United Kingdom; ²Environmental and Occupational Health Sciences Institute and The Cancer Institute of New Jersey, University of Medicine and Dentistry of New Jersey, Robert Wood Johnson Medical School, Piscataway, New Jersey, USA

https://doi.org/10.1016/j.tree.2005.03.009

Annals of Epidemiology 27 (2017) 1-9



Contents lists available at ScienceDirect

Annals of Epidemiology

journal homepage: www.annalsofepidemiology.org

Introduction

Advances in spatial epidemiology and geographic information systems

Russell S. Kirby PhD, MS a,*, Eric Delmelle PhD b, Ian M. Eberth PhD, MSPH c

https://doi.org/10.1016/j.annepidem.2016.12.001

¹Institute of Ecosystem Studies, PO Box AB, 65 Sharon Turnpike, Millbrook, NY 12545, USA

²Department of Molecular Microbiology and Immunology, Johns Hopkins Bloomberg School of Public Health, 615 North Wolfe St, Baltimore, MD 21205, USA

³Department of Biology, Bard College, Annandale-on-Hudson, NY 12504, USA

^a Department of Community and Family Health, University of South Florida, Tampa

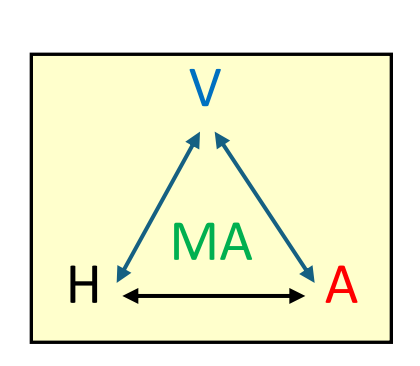
^b Department of Geography and Earth Sciences, University of North Carolina-Charlotte, Charlotte

^c Department of Epidemiology and Biostatistics, University of South Carolina, Columbia

Epidemiologia Espacial



GEOPROCESSAMENTO



A – agente (vírus, bactéria, etc.)

H – homem

V – vetor/hosp. Intermediário

MA - Meio ambiente



··· solos
··· limites de propriedades
··· estradas
··· agricultura
··· relevo
··· cercas e talhões
··· outros dados
··· limagens de satélite

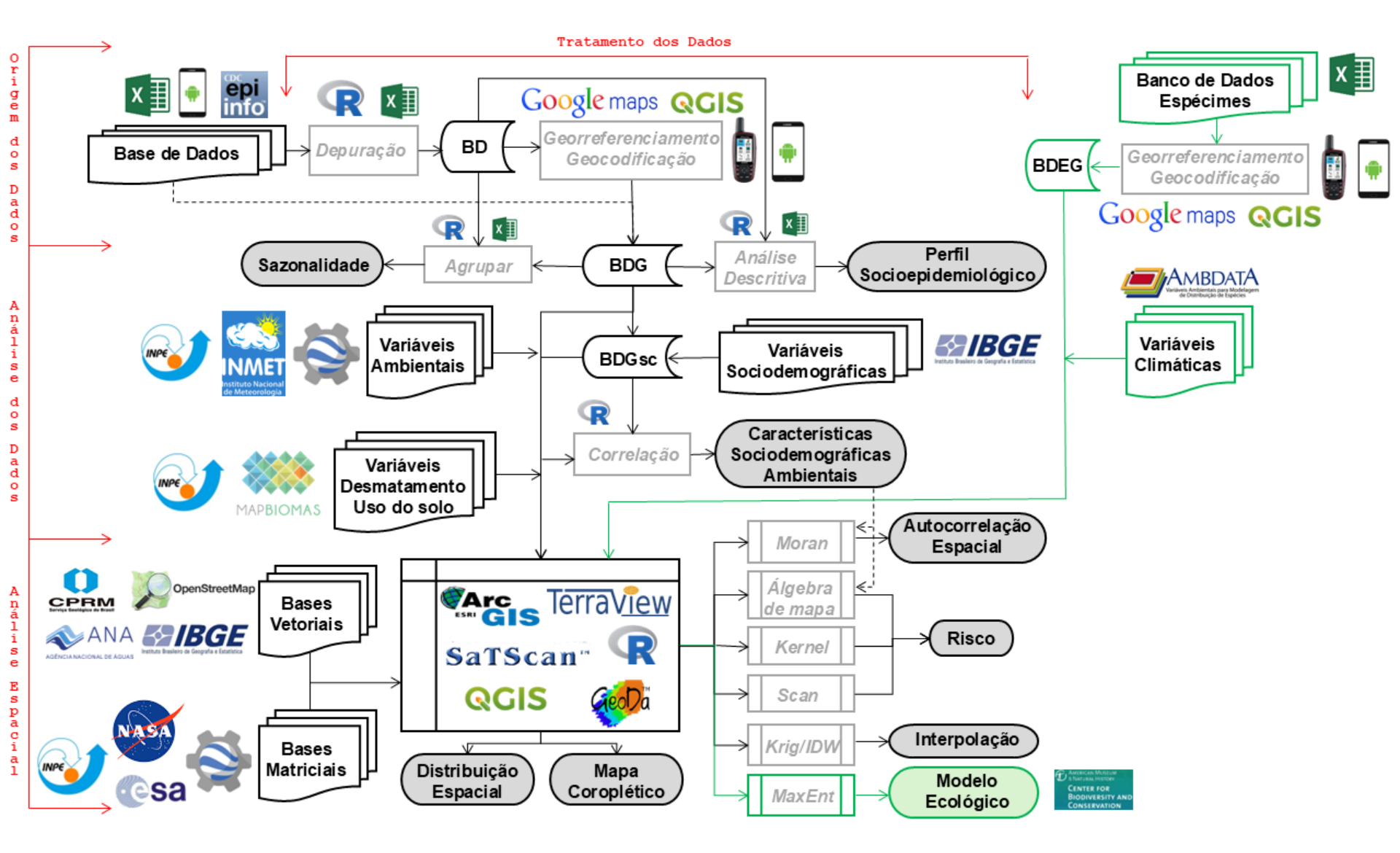
https://amatrack.com.br/geoprocessamento-gis-mapeamento-mapas/

- 1. transmissão
- 2. habitat
- 3. meio ambiente
- 4. modelos

https://www.gov.br/saude/pt-br/centrais-de-conteudo/publicacoes/svsa/doencas-diarreicas-agudas/doencas-infecciosas-e-parasitarias_-guia-de-bolso.pdf/@@download/file

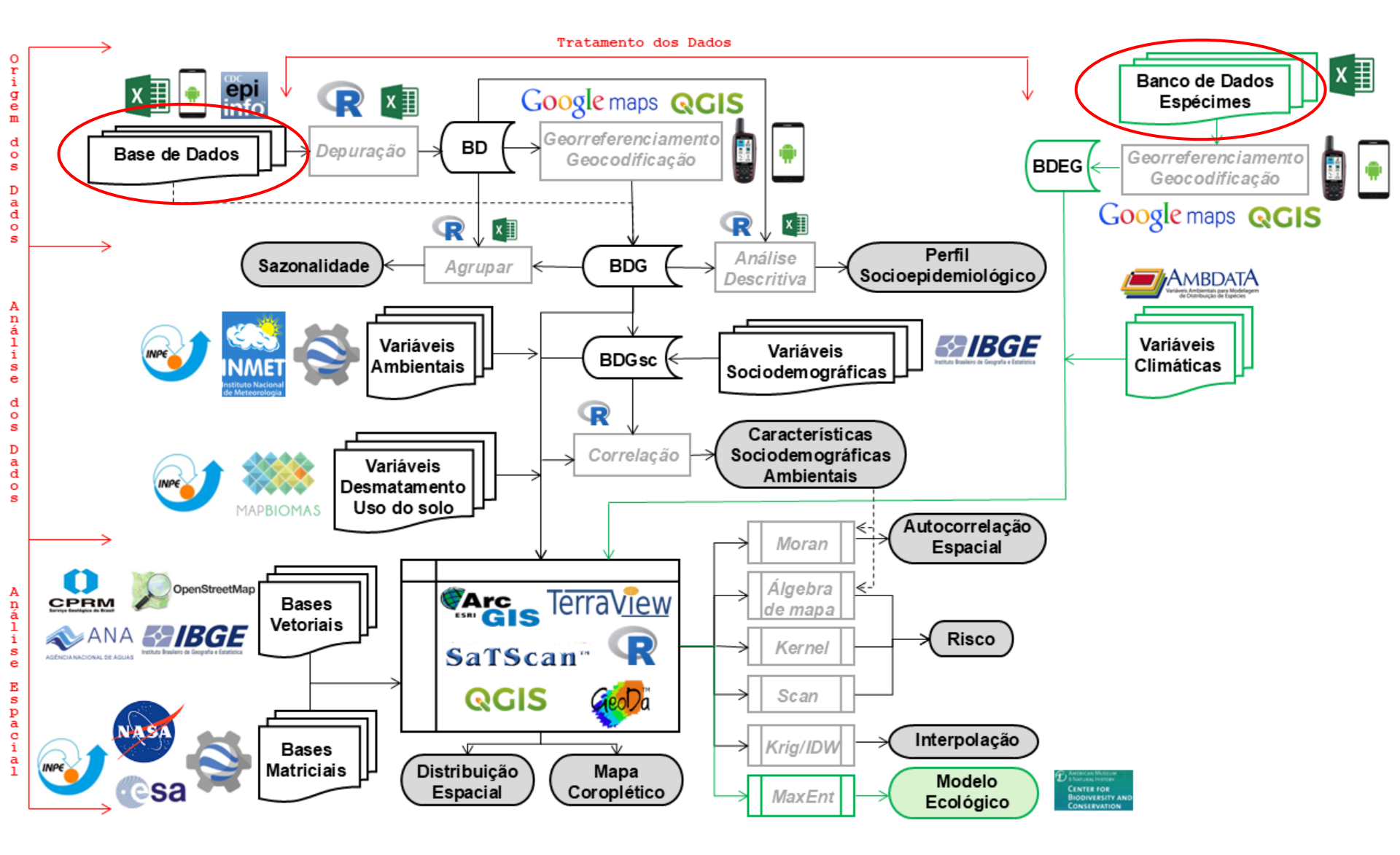
Fluxograma





Base de Dados





Dados Primários



Cametá, Pará - Brasil





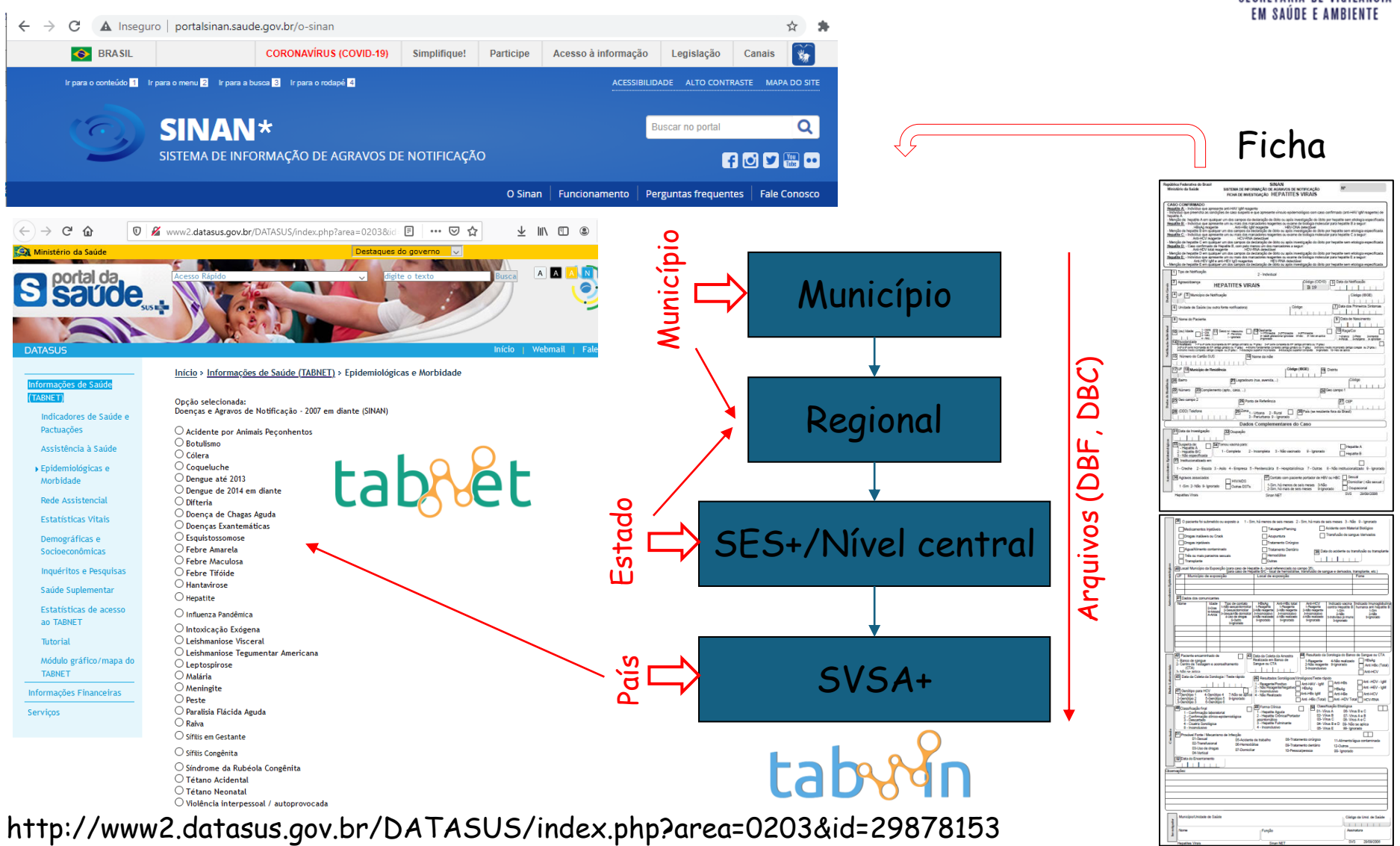
- ✓ Mobilização da população
- ✓ Transporte de materiais
- ✓ Montagem do laboratório
- ✓ Exames
- ✓ Tratamento



^{*} Localidade baseada no n° de habitantes / n° de exames

Dados Secundários





+SVSA (Secretaria de Vigilância em Saúde e Ambiente); SES (Secretaria de Estado de Saúde)

Geoprocessamento (Trabalho de Campo)





^{*}Sistema Global de Navegação por Satélite

Geoprocessamento (Trabalho de Campo)





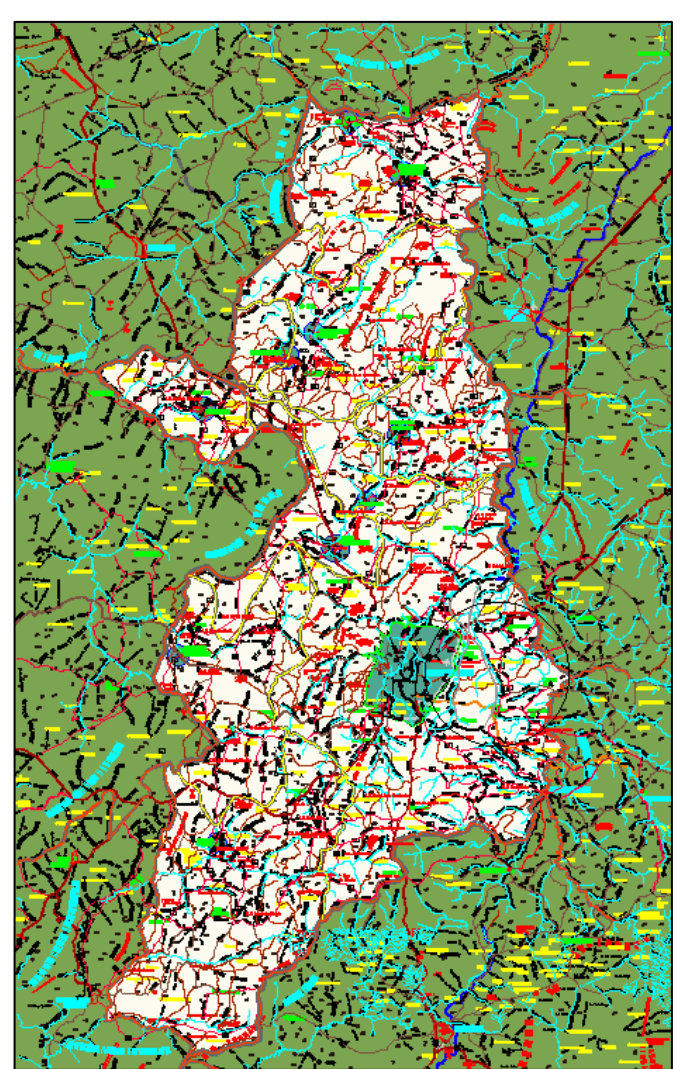
Drone



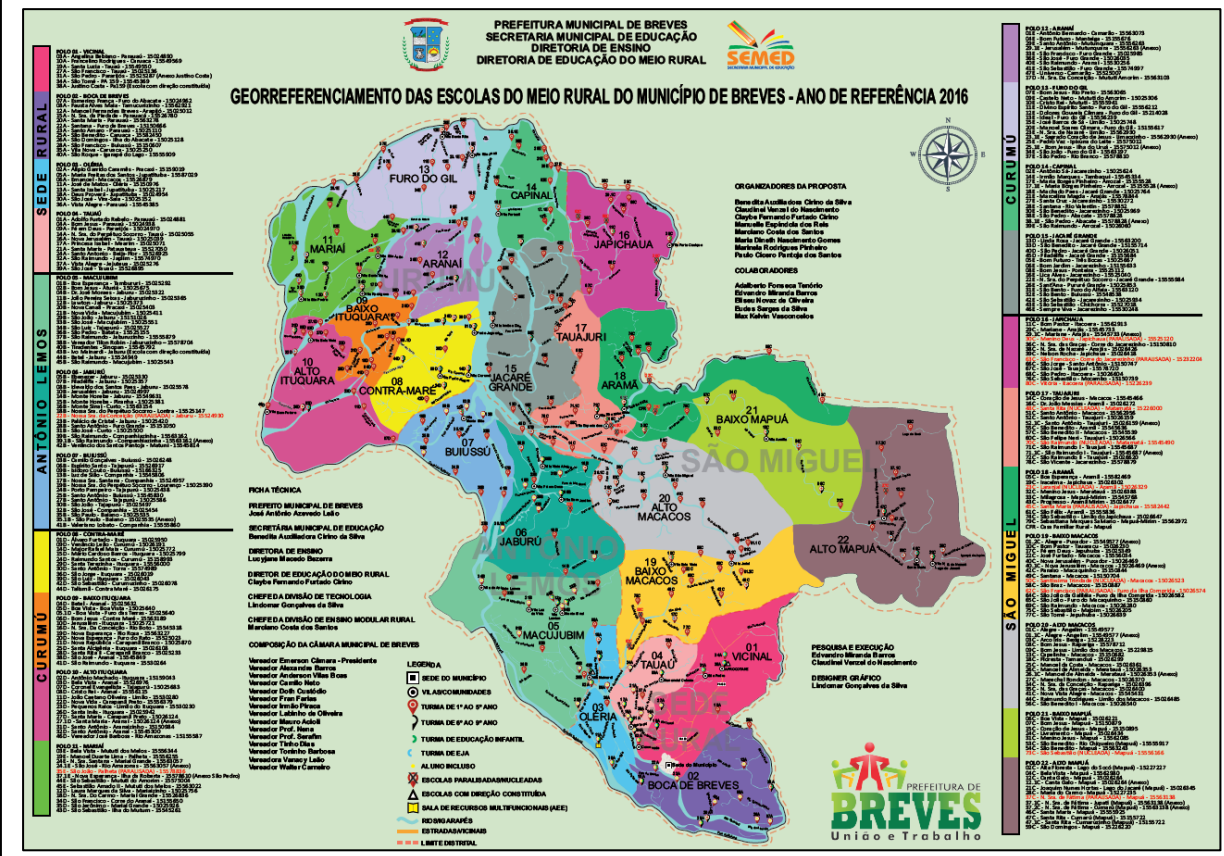
Fonte: Projeto MILDs IEC/SVSA/MS

Dados de apoio*:





- Mapas da cidade, imagens de satélite, rodovias, ruas, hidrografia, limites, etc.
- Formato SHP, DXF, DWG ou PDF, TIFF, PNG...



^{*}Obtidos: Secretaria de saúde, educação, meio ambiente, obras, etc.

Mapa preliminar



Cametá / PA

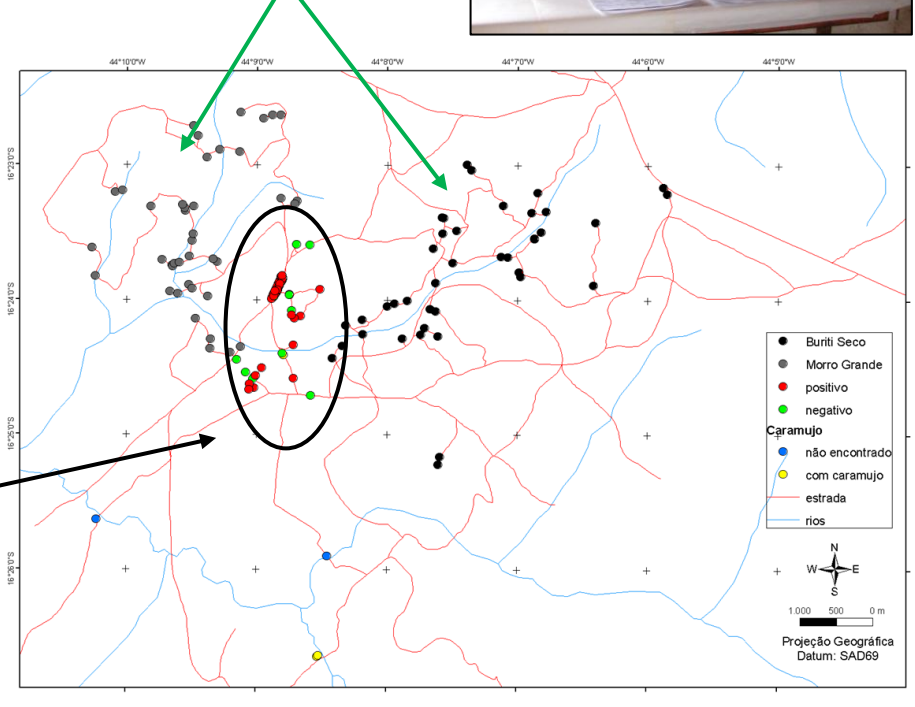


Início do trabalho de campo





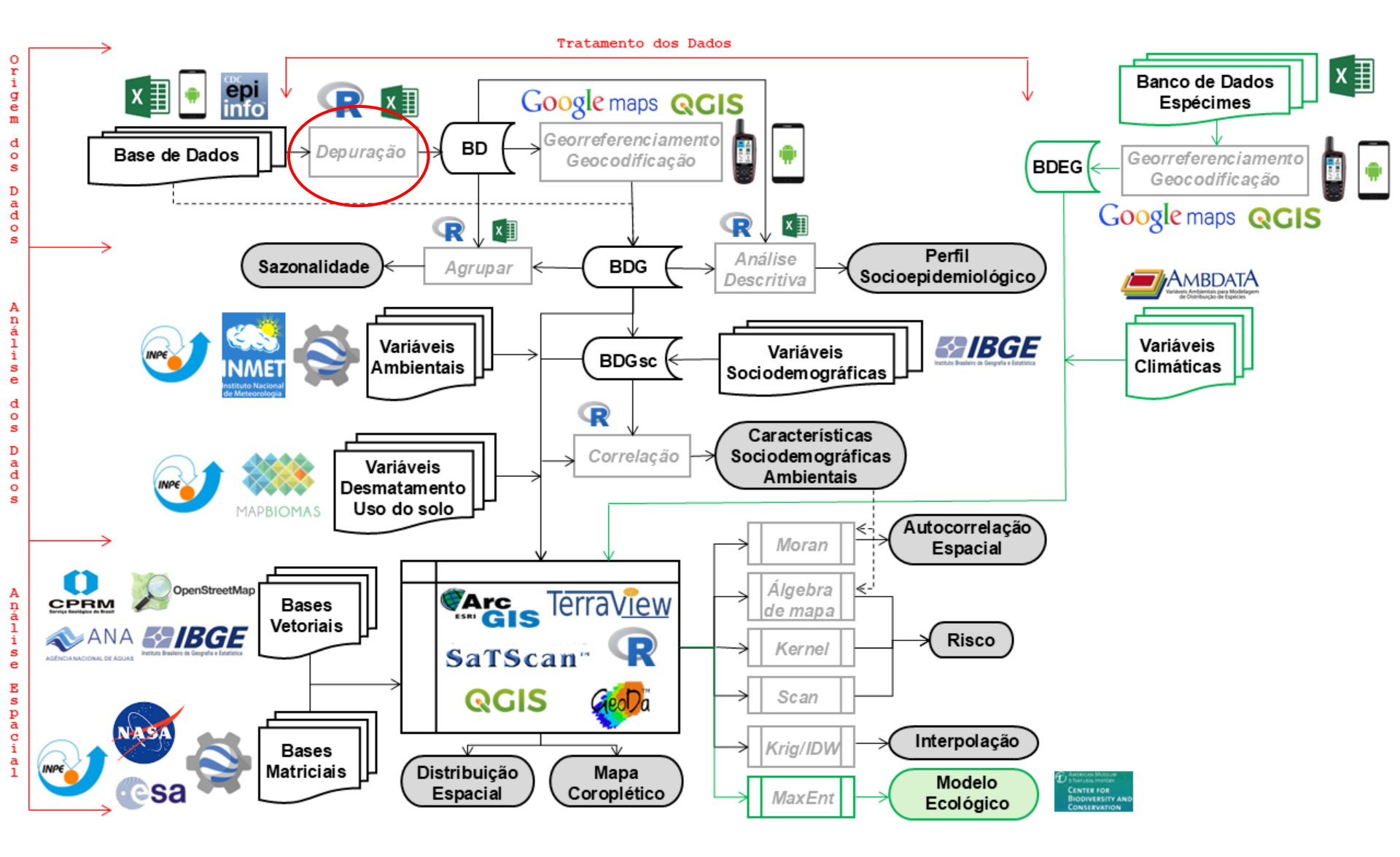
Depois dos resultados



Pedra Preta, Montes Claros / MG

Depuração





Ficha de Notificação*

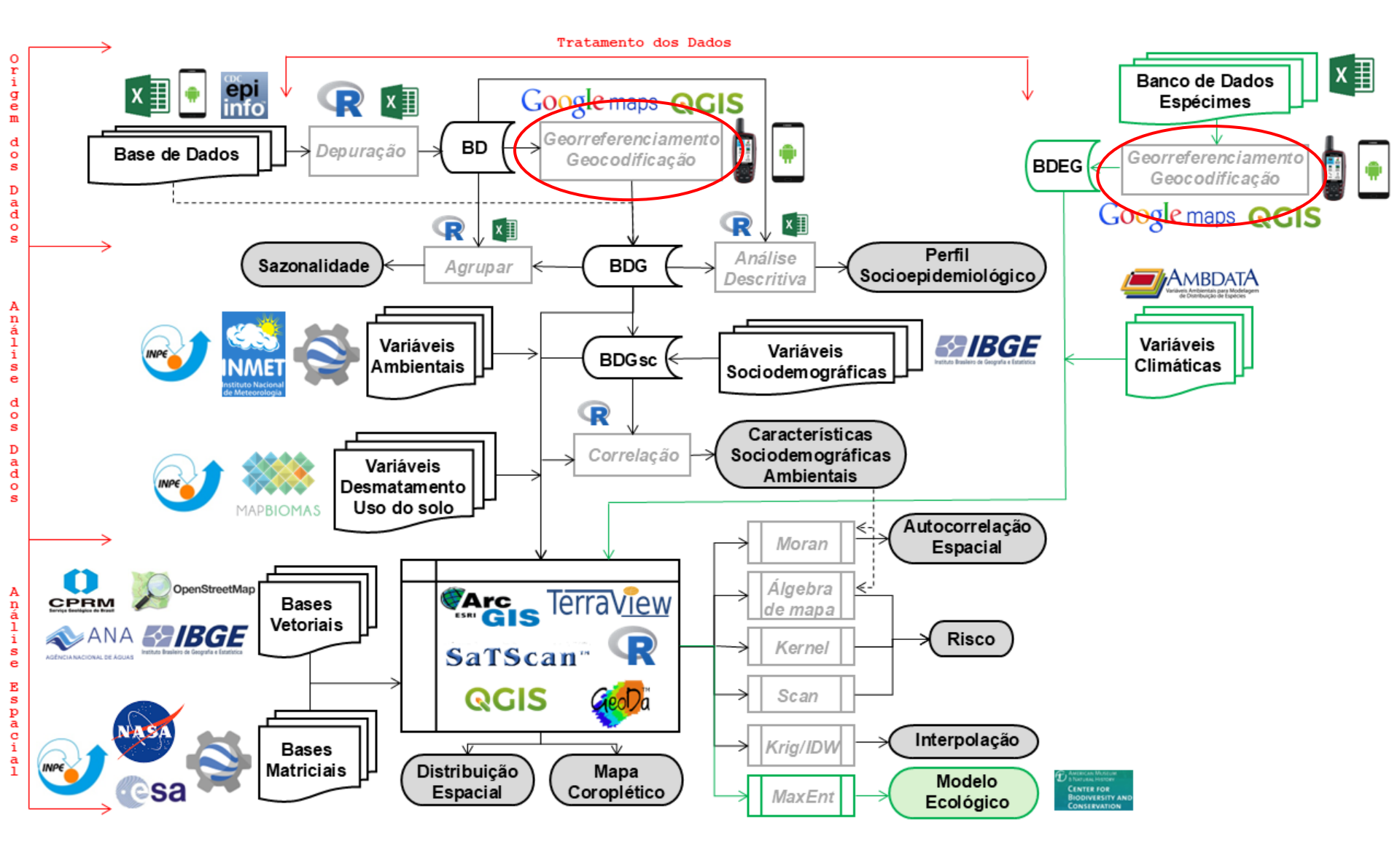


| SINAN | | | | | | | |
|--|--|--------------------|--|--|--|--|--|
| Rep | República Federativa do Brasil SISTEMA DE INFORMAÇÃO DE AGRAVOS DE NOTIFICAÇÃO Ministério da Saúde FICHA DE INVESTIGAÇÃO DENGUE E FEBRE DE CHIKUNGUNYA | | | | | | |
| Caso suspeito de dengue: pessoa que viva ou tenha viajado nos últimos 14 dias para área onde esteja ocorrendo transmissão de dengue ou tenha presença de Ae. aegypti que apresente febre, usualmente entre 2 e 7 dias, e apresente duas ou mais das seguintes manifestações: náuseas, vômitos, exantema, mialgias, cefaléia, dor retroorbital, petêquias ou prova do laço positiva e leucopenía. | | | | | | | |
| p | Caso suspeito de Chikungunya: febre de início súbito e artralgia ou artrite intensa com início agudo, não explicado por outras condições, que resida ou tenha viajado para áreas endêmicas ou epidêmicas até 14 dias antes do início dos sintomas, ou que tenha vinculo epidemiológico com um caso importado confirmo. | | | | | | |
| Dados Gerais | 1 Tipo de Notificação 2 - Individual 2 Agravoldoença 1 - DENGUE 2 - CHIKUNGUNYA Cádigo (CID10 3 Data da Notificação | ĺ | | | | | |
| | 4 UF 5 Município de Natificação Código (BGE) |) I | | | | | |
| | 6 Unidade de Saúde (ou outra fonte notificadora) Código Data dos Primeiros Sintomas | ٥ | | | | | |
| al le | 8 Nome do Paciente 9 Data de Nascimento | מ | | | | | |
| Notificação Individual | 10 (ou) Idade 1.2-Non 11 Sexu M - Masculno 1-Primistre 2-ViTrimestre 3-ViTrimestre 3-V | | | | | | |
| Notificaç | A Scolaridade 1-1 a 4º sire incompleta do EF (artigo primatrio ou 1º grau) 2-4º sirie completa do EF (artigo primatrio ou 1º grau) 3-4º sirie incompleta do EF (artigo primatrio ou 1º grau) 3-5º sirie incompleta do EF (artigo primatrio ou 1º grau) 3-6º sirie incompleta do EF (artigo primatrio ou 1º grau) 3-6º sirie incompleta do EF (artigo primatrio ou 1º grau) 5-6º sirie in-midlo incompleto (artigo colegial ou 2º grau) 7-6º sirie in-midlo incompleto (artigo colegial ou 2º grau) 7-6º sirie in-midlo incompleto (artigo colegial ou 2º grau) 7-6º sirie in-midlo incompleto (artigo colegial ou 2º grau) 7-6º sirie in-midlo incompleto (artigo colegial ou 2º grau) 7-6º sirie in-midlo incompleto (artigo colegial ou 2º grau) 7-6º sirie in-midlo incompleto (artigo colegial ou 2º grau) 7-6º sirie in-midlo incompleto (artigo colegial ou 2º grau) 7-6º sirie in-midlo incompleto (artigo colegial ou 2º grau) 7-6º sirie in-midlo incompleto (artigo colegial ou 2º grau) 7-6º sirie in-midlo incompleto (artigo colegial ou 2º grau) 7-6º sirie in-midlo incompleto (artigo colegial ou 2º grau) 7-6º sirie in-midlo incompleto (artigo colegial ou 2º grau) 7-6º sirie in-midlo incompleto (artigo colegial ou 2º grau) 7-6º sirie in-midlo incompleto (artigo colegial ou 2º grau) 7-6º sirie in-midlo incompleto (artigo colegial ou 2º grau) 7-6º sirie in-midlo incompleto (artigo colegial ou 2º grau) 7-6º sirie in-midlo incompleto (artigo colegial ou 2º grau) 7-6º sirie in-midlo incompleto (artigo printato ou 1º sirie in-midlo incompleto (artigo colegial ou 2º grau) 7-6º sirie in-midlo incompleto (artigo colegial ou 2º grau) 7-6º sirie in-midlo incompleto (artigo colegial ou 2º grau) 7-6º sirie in-midlo incompleto (artigo colegial ou 2º grau) 7-6º sirie in-midlo incompleto (artigo colegial ou 2º grau) 7-6º sirie in-midlo incompleto (artigo colegial ou 2º grau) 7-6º sirie in-midlo incompleto (artigo colegial ou 2º grau) 7-6º sirie in-midlo incompleto (artigo colegial ou 2º grau) 7-6º s | sobspilation soss. | | | | | |
| | 177 UF 18 Município de Residência Código (IBGE) Fig. Distrito | Č | | | | | |
| .5 | 20 Bairro 21 Logradouro (rua, avenida,) | ď | | | | | |
| Residência | 23 Superior 23 Complemento (apto., casa,) 24 Geo campo 1 | | | | | | |
| Dados de | 26 Ponto de Referência 27 CEP 28 (ODD) Telefone 129 Zona 1 1500 País (se residente fora do Brasil) | | | | | | |
| | (DDD) Telefone | | | | | | |
| \subseteq | Dados clínicos e laboratoriais | | | | | | |
| Inv. | 31 Data da Investigação 32 Ocupação | | | | | | |
| | 33 Sinais clínicos 1-Sim 2-Não | ĺ | | | | | |
| Dados clínicos | Mialgia Exantema Náuseas Conjuntivite Artralgia intensa Leucopenia Dor retroorbital | | | | | | |
| Dados | 34 Doenças pré-existentes 1.Sim 2-Não Diabetes | | | | | | |
| | Sorologia (IgM) Chikungunya Soro | | | | | | |
| laboratoriais | Sorologia (IgM) Dengue Exame NS1 39 Data da Coleta 1- Positivo 2- Negativo 1- Positivo 1- Positivo 2- Negativo 1- Positivo 1- | , I | | | | | |
| Dados labor | 3- Inconclusivo 4 - Não realizado 3- Inconclusivo 4 - Não realizado 43 Isolamento 44 Resultado 45 RT-PCR 46 Resultado 46 Resultado 47 48 RT-PCR 48 REsultado | .1 | | | | | |
| a | - Inconclusivo 4 - Não Realizado - Inconclusivo 4 - Inconclusivo 4 - Inconclusivo 4 - Inconclusivo | J | | | | | |
| | 1- DENV 1 2- DENV 2 1- Compativel 2- Incompativel 3- DENV 3 4 - DENV 4 3- Inconiculation 4- Não realizado 3- Inconiculation 3- Inco | | | | | | |

| Hospitalização | | Data da Internação | 52 UF 53 Município | do Hospital Código (IBGE) | |
|---|---|--|--|--|--|
| | Local Provável de Infecção (no 56 O caso é autóctone do municí 1-Sim 2-Não 3-Indet | pio de residência? | 57 UF 58 País | | |
| 90 | 59 Município | Código (IBGE) | 60 Distrito | 61 Bairro | |
| Conclusão | 62 Classificação 5- Descartado 10- Dengue 11- Dengue 12- Dengue Grave 13- Chikungunya | com Sinais de Alarme | S Critério de Confirmação/Descarte 1 - Laboratório 2 - Clínico- Epidemiológico 3-Em investi | e 64 Apresentação clínica 1- Aguda 2- Crônica | |
| | 65 Evolução do Caso 1-Cura 2- Óbito pelo agravo 3- Óbi 4-Óbito em investigação 9-Ignorado | to por outras causas | 66 Data do Óbito | 67 Data do Encerramento | |
| | _ | línicos para Deng | ue com Sinais de Alarr | | |
| de Alarme e Dengue | 68 Dengue com sinais de alarme 1-Sim 2- Não Hipotensão postural e/ou lipotín | Vômitos persiste Dor abdominal intensa e contíni Letargia ou irrita | do hematóci Hepatomega | rito Data de inicio dos alia >= 2cm sinais de alarme: | |
| dame | Queda abrupta de plaquetas | = - | mucosa/outras hemorragias | | |
| Simais | 70 Dengue grave 1-Sim 2-N | | Sangramento gra Hematêmese | ve: Metrorragia volumosa | |
| E 8 | Pulso débil ou indetectável | Taquicardia Extremidades frias | Melena | Sangramento do SNC | |
| Clinics - Dengue | Tempo de enchimento capilar | Hipotensão arterial | Compromentante | nto grave de órgãos: | |
| [-s@ | Acúmulo de líquidos com insuficiência respiratória | tardia | Outros órgãos, | - Consciencia | |
| Dados Clir | 71 Data de início dos sinais de gravidade: | | | | |
| | Info | rmações complei | mentares e observaçõe | es | |
| Informações complementares e observações Observações Adicionais | | | | | |
| | Espaço (município): | | | | |
| - Notificação | | | | | |
| | | esidênc | | x ≣⊟ | |
| | | nfecção | <u> </u> | ^ | |
| | | oo (ano) | | | |
| | Class | sificaçã | | | |
| | (con | firmação |) : | R | |
| ndor | Município/Unidade de Saúde | aborato | rial | Cód. da Unid. de Saúde | |
| Investigador | Nome – C | línigo | pidemiológ | Assinatura Assinatura | |
| | Chikungunya/Dengue Sinan Online SVS 14/03/2016 | | | | |
| *ht | tps://portalsinan. | saude.gov.b | or/dengue | | |

Georreferenciamento/Geocodificação







* Definição (Kirby et al., 2017)

✓ Epidemiologia espacial refere-se a investigações que usam desenhos de estudos epidemiológicos que envolvem dados/informações espaciais sobre sujeitos de estudo, unidades de saúde ou fontes de exposição.

* Georreferenciamento/Geocodificação

*Sistema de Informação Geográfica (SIG)

✓ O SIG tem sido usado em muitas aplicações epidemiológicas, incluindo mapeamento de doenças, suavização de taxas, análise de aglomerados ou pontos quentes, modelagem espacial, etc.

Linguagem de Programação (R ou Python)

* Análise Espacial (John Snow

https://youtu.be/INjrAXGRda4)

- ✓ Mapeamento de doenças;
- ✓ Estudos de correlação geográfica;
- ✓ Avaliação de risco em relação a fontes pontuais ou lineares; e
- ✓ Detecção de agrupamento e agrupamento de doenças.

Georreferenciamento/Geocodificação



| | СІМАМ | Inde | SEGRETARIA |
|------------------------|--|------------------------------|--|
| C tra | SINAN ública Federativa do Brasil SISTEMA DE INFORMAÇÃO DE AGRAVOS DE NOTIFICAÇÃO Ministério da Saúde FICHA DE INVESTIGAÇÃO DE AGRAVOS DE NOTIFICAÇÃO aso suspeito de dengue: pessoa que viva ou tenha viajado nos últimos 14 dias para área onde esteja ocorrendo ansmissão de dengue ou tenha presença de Ae.aegypti que apresente febre, usualmente entre 2 e 7 dias, e presente duas ou mais das seguintes manifestações: náuseas, vômitos, exantema, mialgias, cefaléia, dor etroorbital, petéquias ou prova do laço positiva e leucopenia. | Hospitalização | Signature Sign |
| l p | aso suspeito de Chikungunya: febre de início súbito e artralgia ou artrite intensa com inicio agudo, não explicado or outras condições, que resida ou tenha viajado para áreas endêmicas o u epidémicas até 14 dias antes do icio dos sintomas, ou que tenha vinculo epidemiológico com um caso importado confirmado. | | SO caso é autóctone do município de residência? 1-Sim 2-Não 3-Indeterminado |
| Dados Gerais | 2 - Individual 2 Agravoldoença 1 - DENGUE 2 - CHIKUNGUNYA Código (CID10) 4 UF Município de Notificação Código (BGE) 6 Unidade de Saúde (ou outra fonte notificadora) | Conclusão | Signaturio Sig |
| Notificação Individual | B Nome do Paciente 1 | m Sinais de Alarm e e Dengue | Preencher os sinais clínicos para Dengue com Sinais de Alarme e Dengue Grave Sel Dengue com sinais de alarme Vómitos persistentes Aumento progressivo Dor abdomínal Hipotensão postural e/ou lipotímia Letargia ou irritabilidade Acúmulo de líquidos Acúmulo de líquidos Cauda abrupta de plaquetas Sangramento de mucosa/outras hemorragias Sangramento grave Letargia ou irritabilidade Acúmulo de líquidos Cauda abrupta de plaquetas Sangramento de mucosa/outras hemorragias Sangramento grave: Letargia ou irritabilidade Acúmulo de líquidos Letargia ou irritabilidade Acúmulo de líquidos Sangramento grave: Letargia ou irritabilidade Letargia o |
| Dados de Residência | To U 18 Município de Residência Código (IBGE) TS Distrito | Dados Clinicos - Dengue co | PA convergente <= 20 mmHg |
| liv. | Dados clínicos e laboratoriais ☐ 31 Data da Investigação ② Coupação | Ē | tabyon |
| Dados clínicos h | 33 Sinais clínicos 1-Sim 2-Não Petéquias Prova do laço positiva Prova do laço posi | | Espaço (município): - Notificação - Residência |
| Dados laboratoriais | Sorologia (IgM) Chikungunya SaB Data da Coleta da 2º Amostra SaB Data da Coleta da 1º Amostra SaB Data da Coleta SaB Data da Coleta SaB Data da Coleta SaB PRNT SaB P | Investigador | - Înfecção Espaço (ponto): - Endereço Município Unidade de Saúde Nome Chikungunya Dengue Sinan Onine Chikungunya Dengue Sinan Onine |

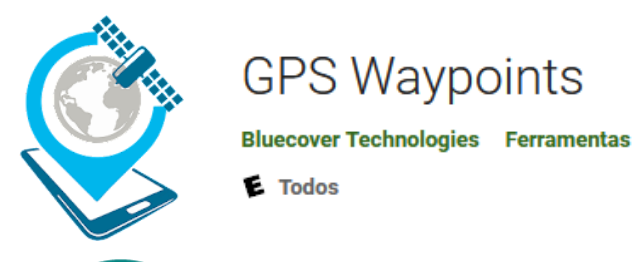
Georreferenciamento





Smartphone







*Sistema Global de Navegação por Satélite

Geocodificação









GNSS





GPS/NAVSTAR

https://www.gps.gov/



Glonass

https://www.glonass-iac.ru/en/



Beidou (BDS)

http://en.beidou.gov.cn/



Galileu

https://galileognss.eu/



(Global Navigation Satellite System) Sistema Global de Navegação por Satélite



https://youtu.be/qHqly38BgTQ



IRNSS

https://www.isro.gov.in/irnss-programme



QZSS

https://qzss.go.jp/en/overview/services/sv01_what.html

GNSS



https://en.hi-target.com.cn/v30-plus-gnss-rtk-system



Laboratório de Geoprocessamento (IEC/SVSA/MS)*

*IEC (Instituto Evandro Chagas)





https://buy.garmin.com/en-US/US/c12521-p1.html

GPSMAP® 65s \$399.99 USD



Rino® 700 \$349.99 USD



Montana® 680 \$549.99 USD



inReach® Mini \$299.99 USD



eTrex[®] 22x \$199.99 USD



- GNSS RTK V30 PLUS HI-TARGET
- ~ \$10,000 USD
- GNSS RTK HI-TARGET IRTK 5
- ~ \$20,000 USD

Smartphone/Tablet





GPS/NAVSTAR

https://www.gps.gov/



Glonass

https://www.glonass-iac.ru/en/



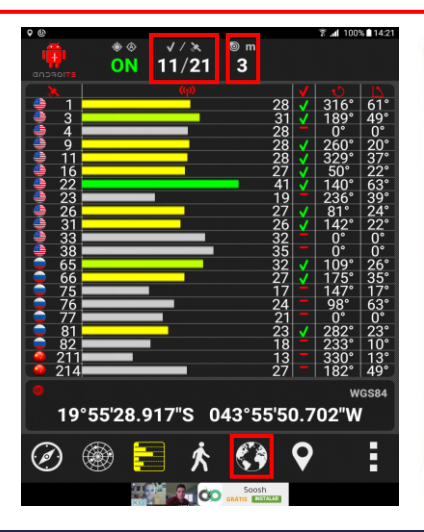
Beidou (BDS)

http://en.beidou.gov.cn/



Galileu

https://galileognss.eu/









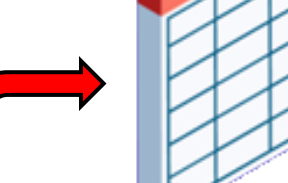


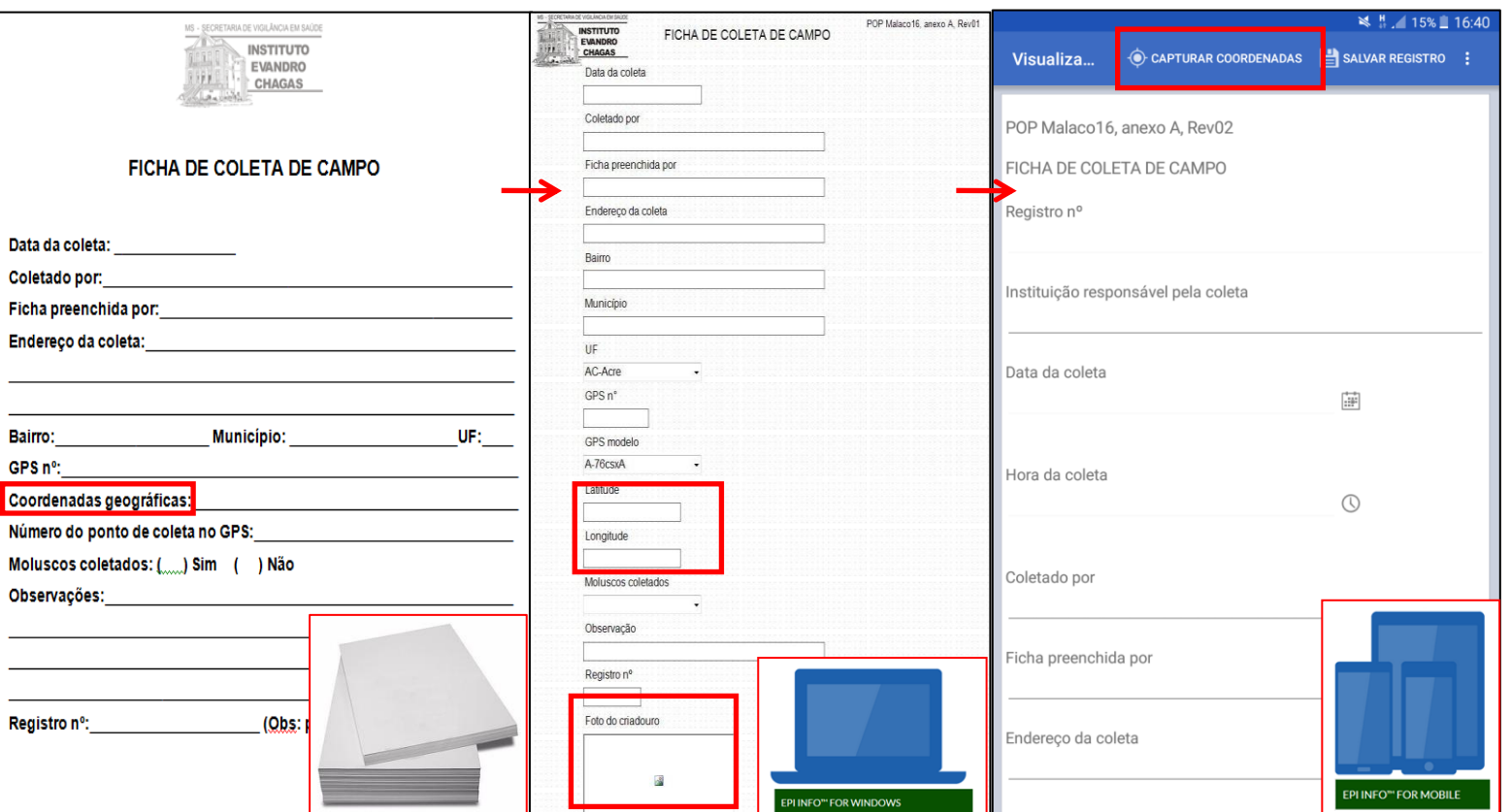




https://www.cdc.gov/epiinfo/por/pt_index.html







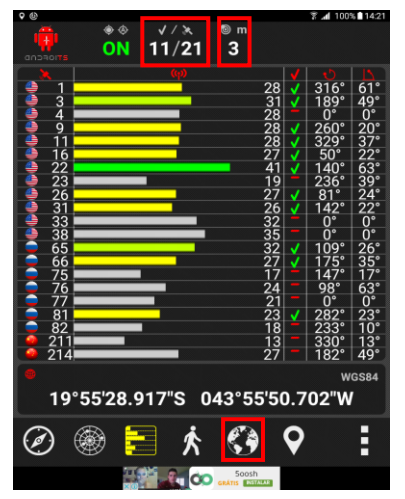
Laboratório de Malacologia (IEC/SVSA/MS)

GNSS x Smartphone/Tablet GNSS: Bateria, Tela (luz e chuva)... SECRETARIA DE VISI

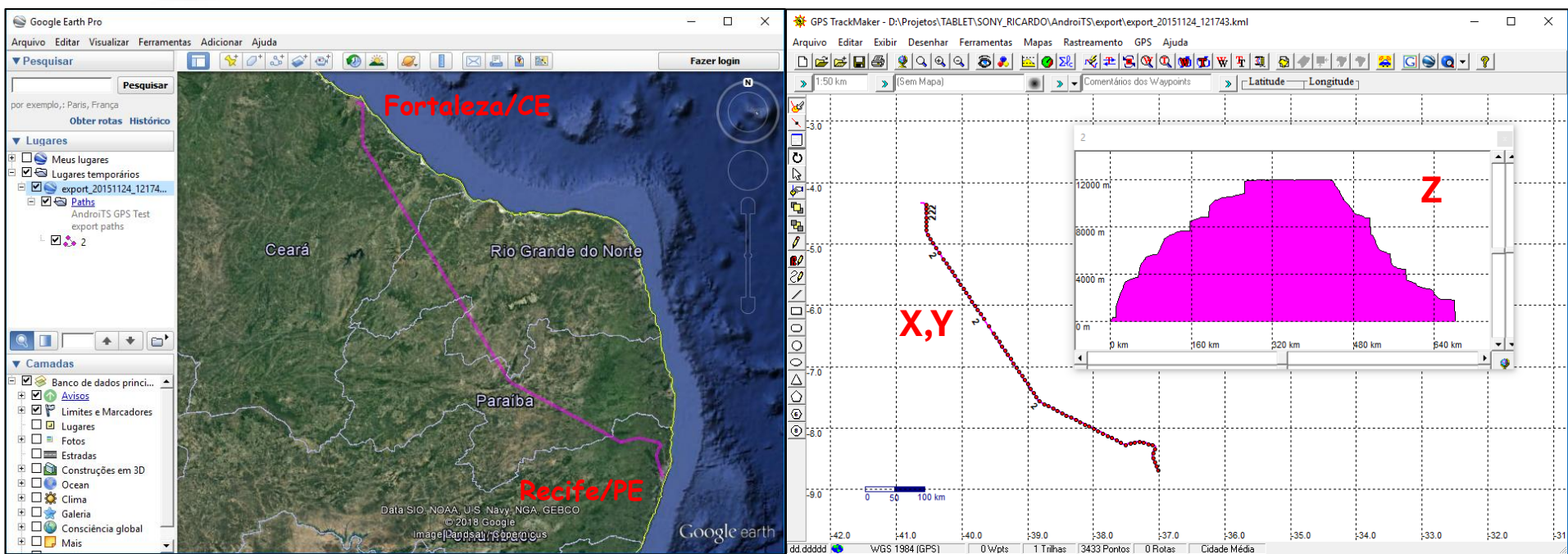
Tablet: Prático, +Satélites, "A-GPS"











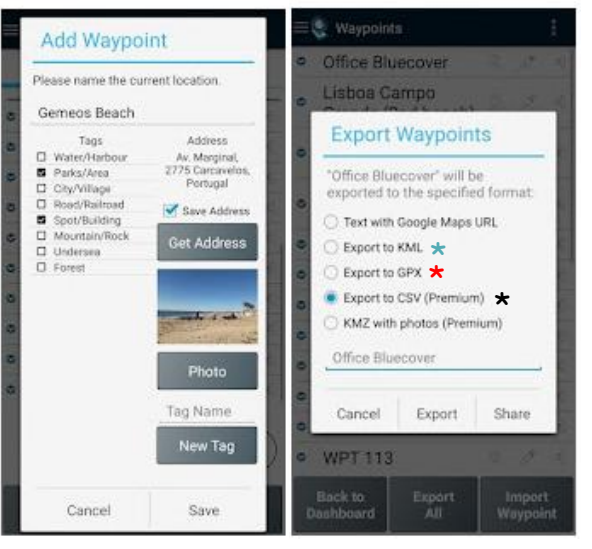
Georreferenciamento (X,Y,Z)

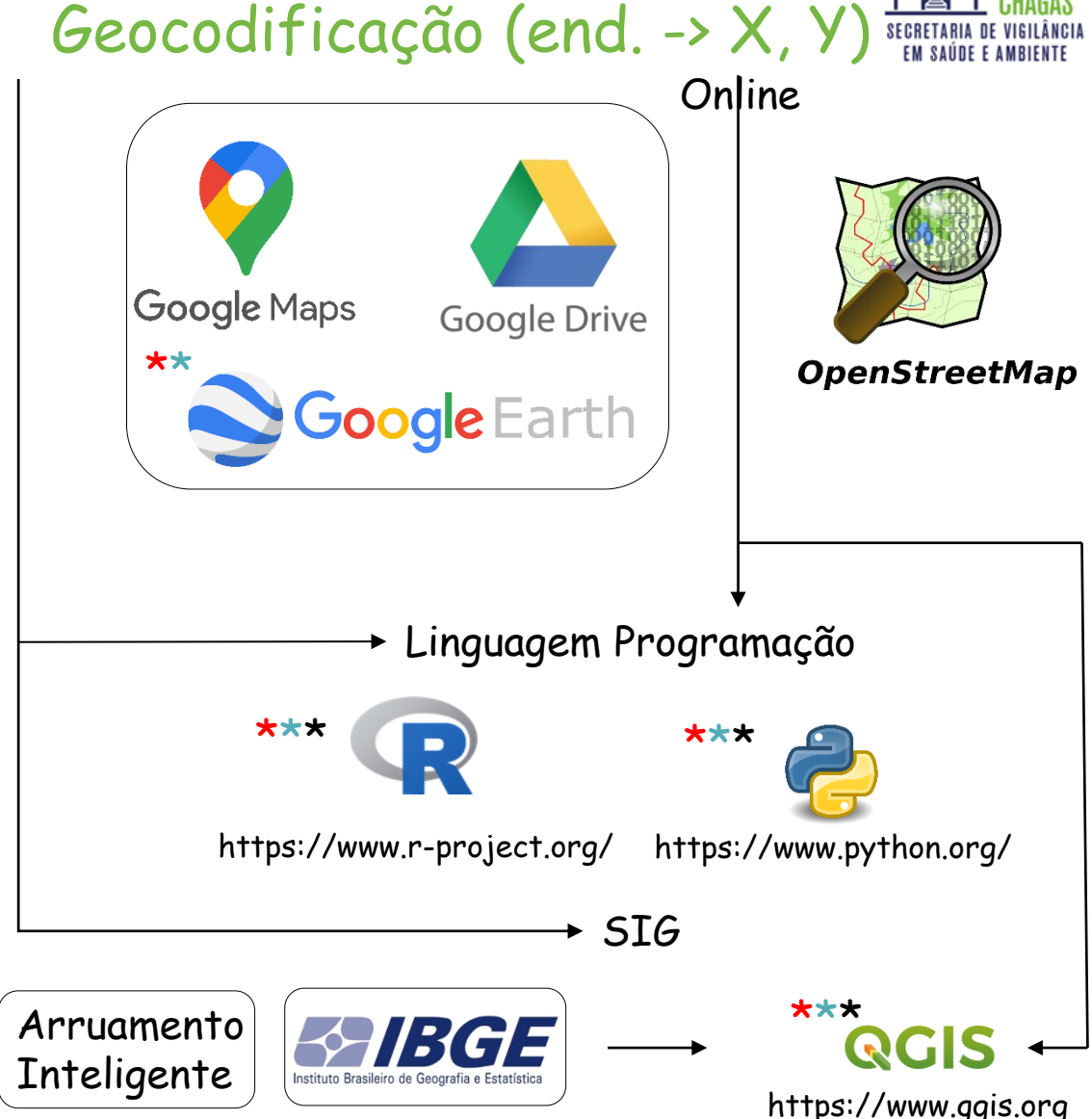




GNSS *

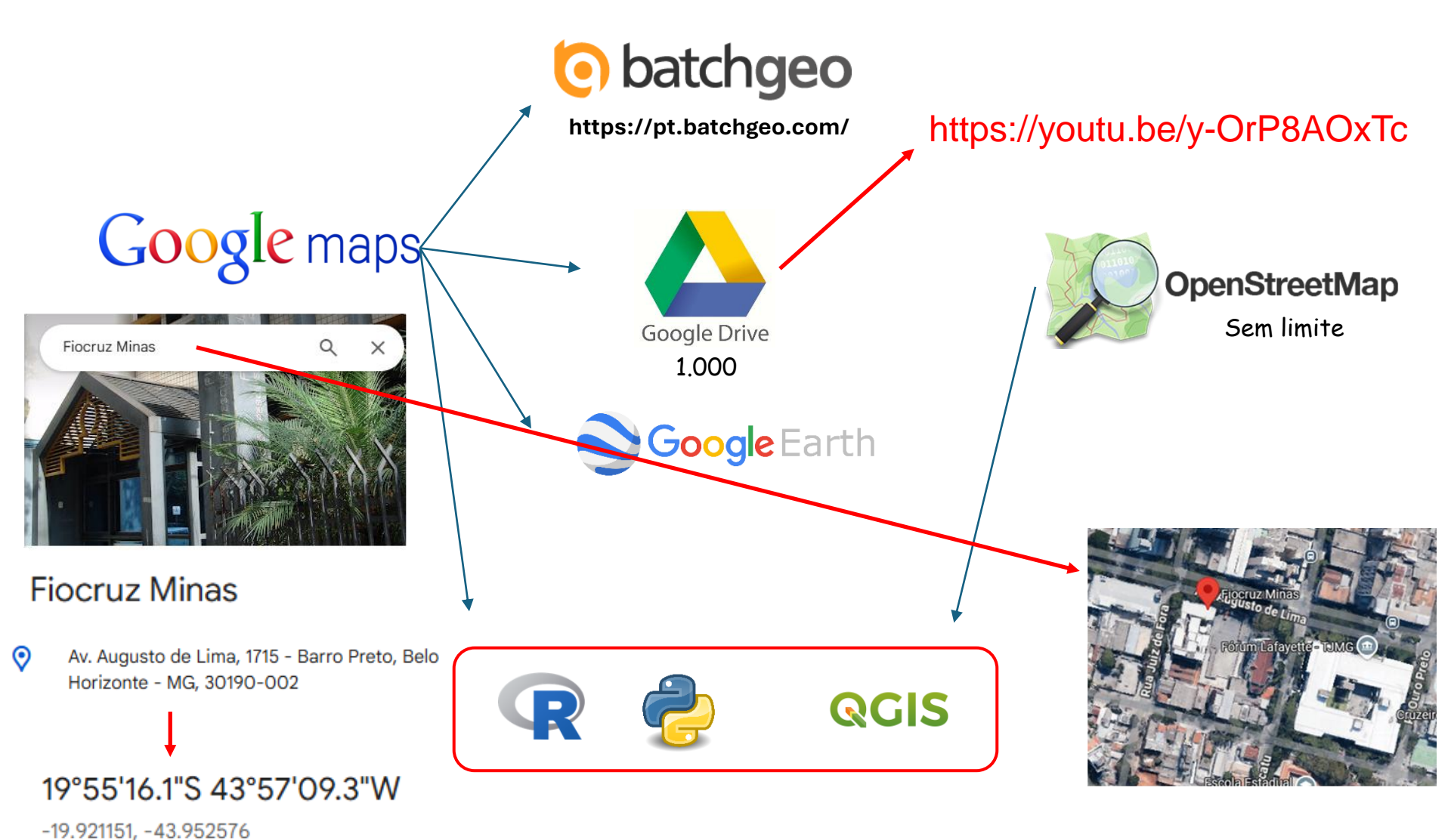






Geocodificação





Geocodificação

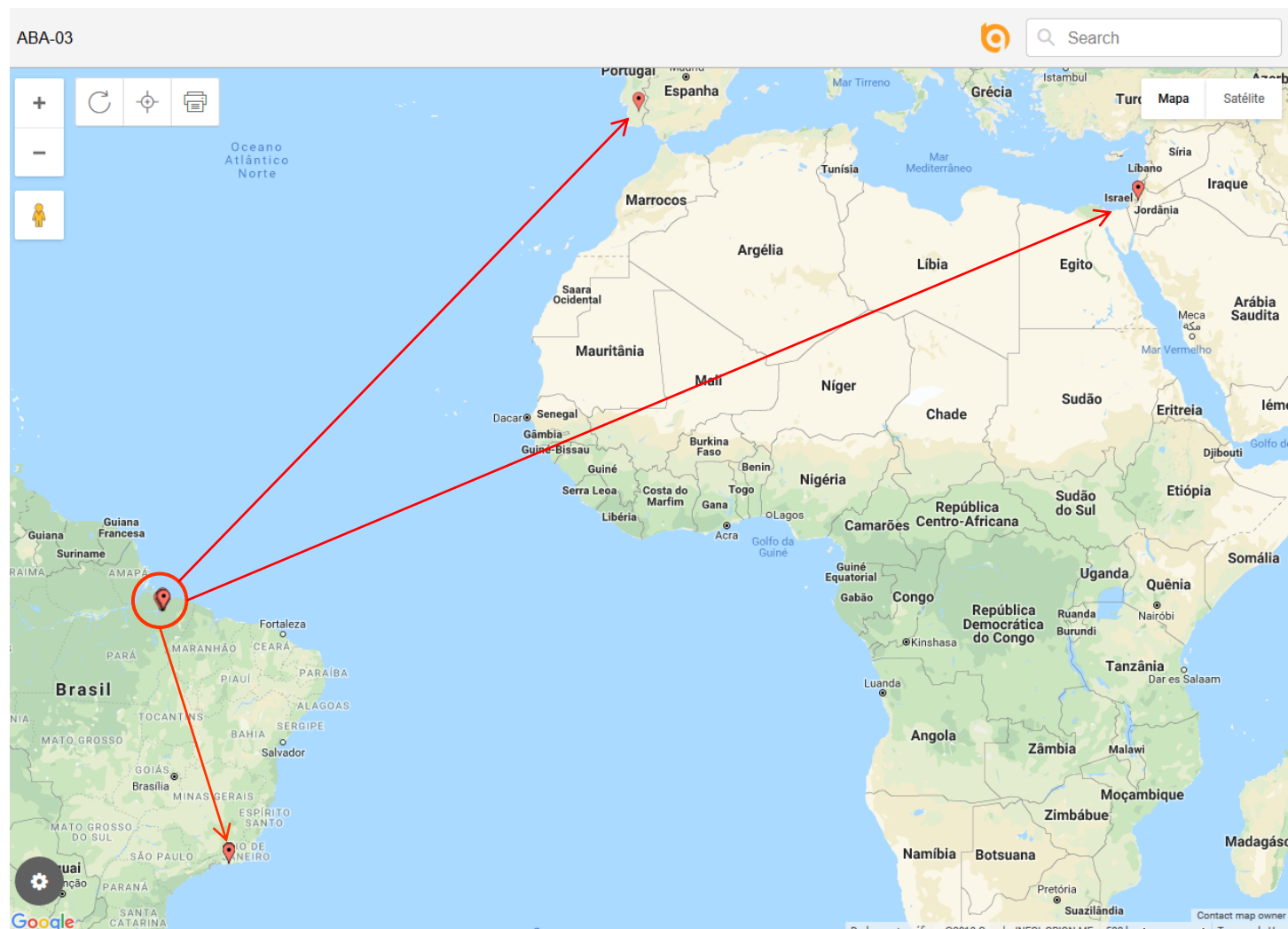


CUIDADO!



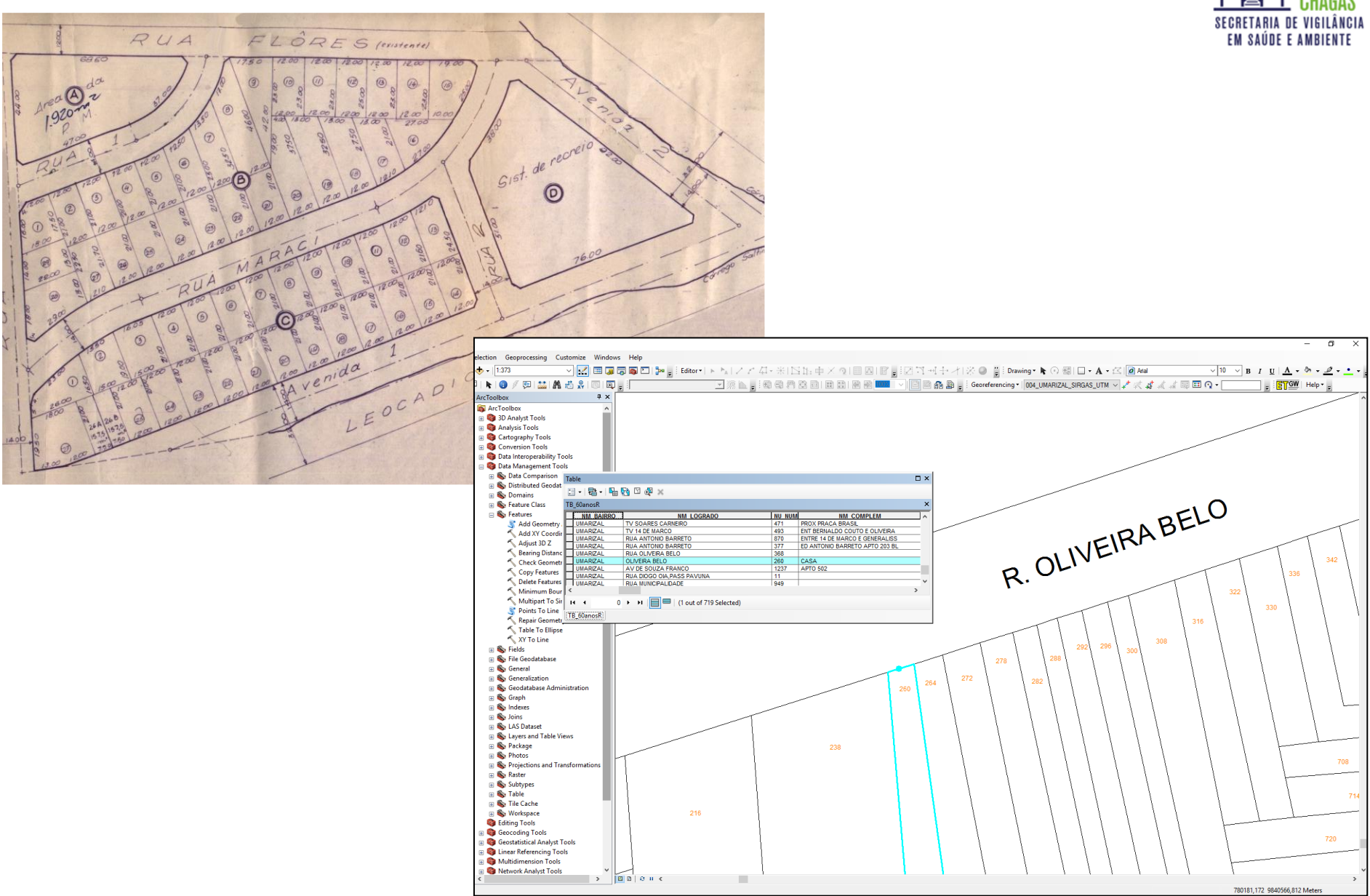
https://pt.batchgeo.com/





Arruamento Inteligente





Observação - Dados Georreferenciados



hddd.dddddo - hdddo mm.mmm' - hdddo mm' ss.s" (SIRGA

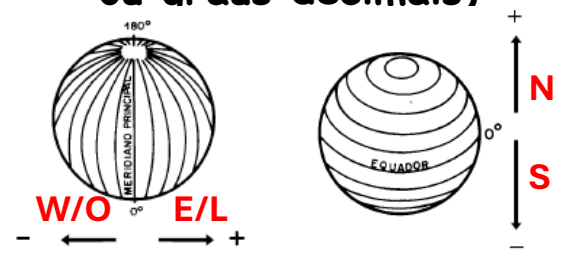
| S2.5438 W44.26193 | S2 32.634 W44 15.716 | S2 32 38. W44 15 42.9 |
|--------------------|----------------------|------------------------|
| S1.51360 W46.90784 | S1 30.816 W46 54.471 | S1 30 49.0 W46 54 28.2 |
| S0.93800 W47.11458 | S0 56.280 W47 06.875 | S0 56 16.8 W47 06 52.5 |
| S0.93801 W47.11459 | S0 56.280 W47 06.876 | S0 56 16.8 W47 06 52.5 |
| S0.93801 W47.11458 | S0 56.280 W47 06.875 | S0 56 16.8 W47 06 52.5 |
| S0.93565 W47.01940 | S0 56.139 W47 01.164 | S0 56 08.3 W47 01 09.9 |
| S0.93805 W47.11449 | S0 56.283 W47 06.870 | S0 56 17.0 W47 06 52.2 |
| S1.37398 W48.38548 | S1 22.439 W48 23.129 | S1 22 26.3 W48 23 07.7 |
| S1.37398 W48.38548 | S1 22.439 W48 23.129 | S1 22 26.3 W48 23 07.7 |
| S2.56140 W44.30650 | S2 33.684 W44 18.390 | S2 33 41.0 W44 18 23.4 |
| S2.56139 W44.30651 | S2 33.684 W44 18.390 | S2 33 41.0 W44 18 23.4 |
| S2.56140 W44.30651 | S2 33.684 W44 18.390 | S2 33 41.0 W44 18 23.4 |
| S2.56140 W44.30651 | S2 33.684 W44 18.390 | S2 33 41.0 W44 18 23.4 |

Projeção - Datum

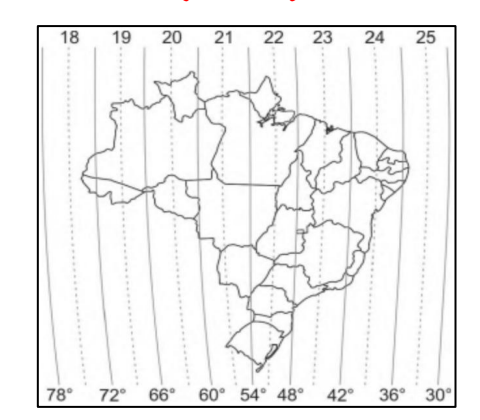
(SIRGAS2000, WGS84, SAD69)

Geográfica

(graus, minutos e segundos ou araus decimais)

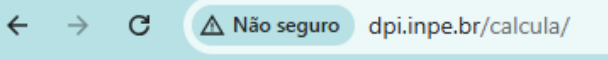


Planas (UTM) - zona



(Arquivos LabGeo/IEC)

Observação - C

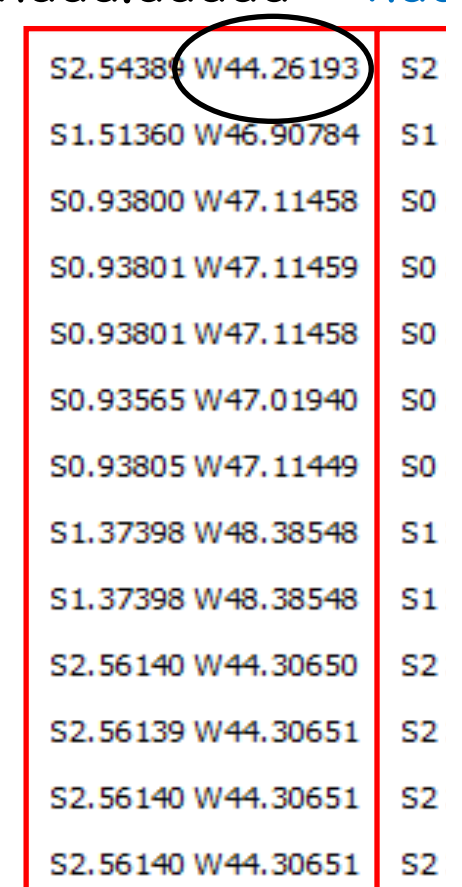


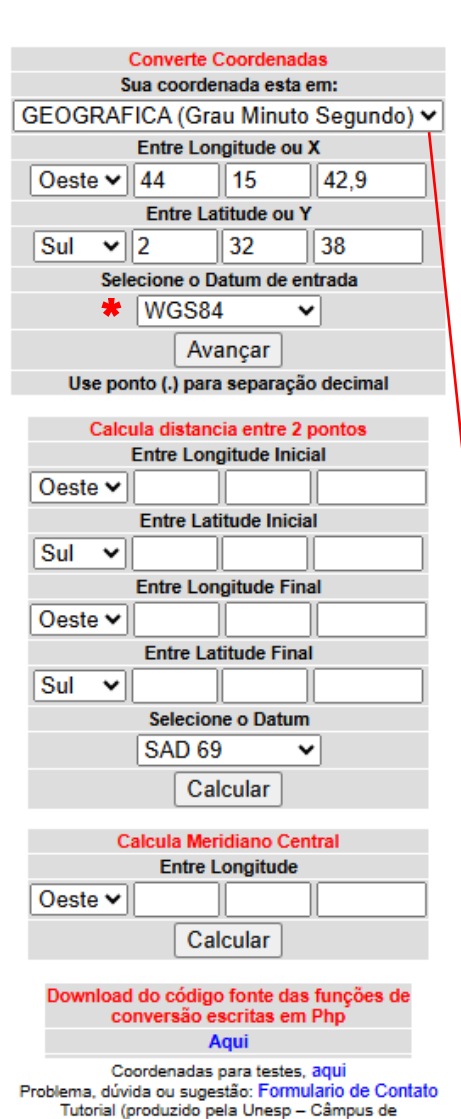
ebook-gigantes-da-...

http://www.dpi.inpe.br/calcula/



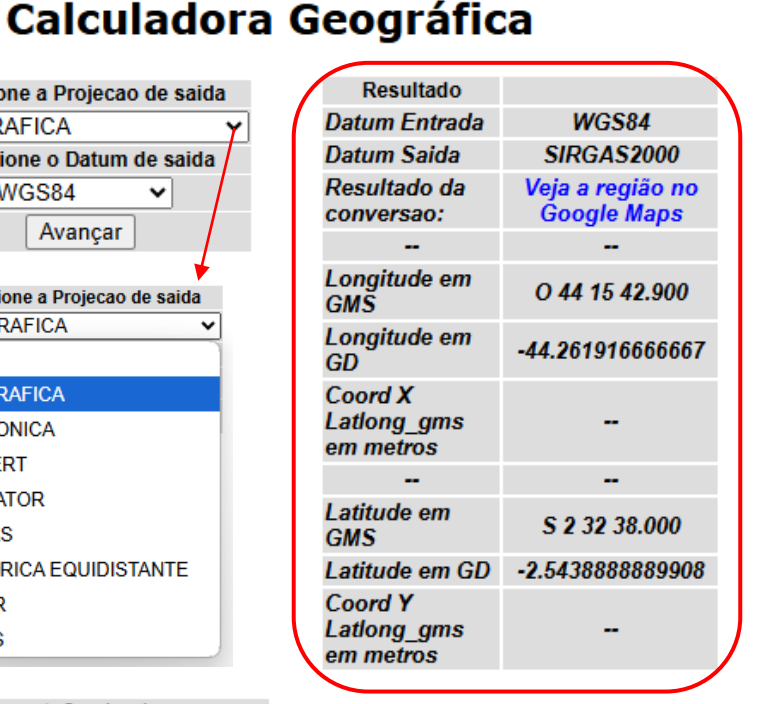
hddd.dddddo - hdc





Presidente Prudente) aqui

Selecione a Projecao de saida GEOGRAFICA Selecione o Datum de saida WGS84 Avancar Selecione a Projecao de saida **GEOGRAFICA** UTM **GEOGRAFICA** POLICONICA LAMBERT MERCATOR ALBERS CILINDRICA EQUIDISTANTE MILLER **GAUSS** Converte Coordenadas Sua coordenada esta em: GEOGRAFICA (Grau Minuto Segundo) > GEOGRAFICA (Grau Minuto Segundo) GEOGRAFICA (Grau Decimal) UTM (metros) POLICONICA (metros) LAMBERT (metros) MERCATOR (metros) ALBERS (metros) CILIN. EQUIDISTANTE (metros) MILLER (metros) GAUSS (metros)







Geoprocessamento (Trabalho de Campo)



DJI Mini 2

AERONAVE

| Peso de decolagem ^[1] | <249 g |
|--|--|
| Dimensões | Dobrado: 138 × 81 × 58 mm (C×L×A) Desdobrado: 159 × 203 × 56 mm (C×L×A) Desdobrado (com hélices): 245 × 289 × 56 mm (C×L×A) |
| Altura máx. de serviço acima do nível do mar | 4000 m |
| Duração máx. de voo | 31 minutos (medidos durante o voo a 4,7 m/s em condições sem vento) |
| Global Navigation Satellite System (GNSS) | GPS+GLONASS+GALILEO |
| GPS + GLONASSAlcance de precisão em voo estacionário | Vertical: ±0,1 m (com posicionamento de visão), ±0,5 m (com posicionamento de GPS) Horizontal: ±0,3 m (com posicionamento de visão), ±1,5 m (com posicionamento de GPS) |



Distribuição Espacial (GNSS)



Revised: 6 November 2018 | Accepted: 6 December 2018

DOI: 10.1002/jmv.25395

RESEARCH ARTICLE

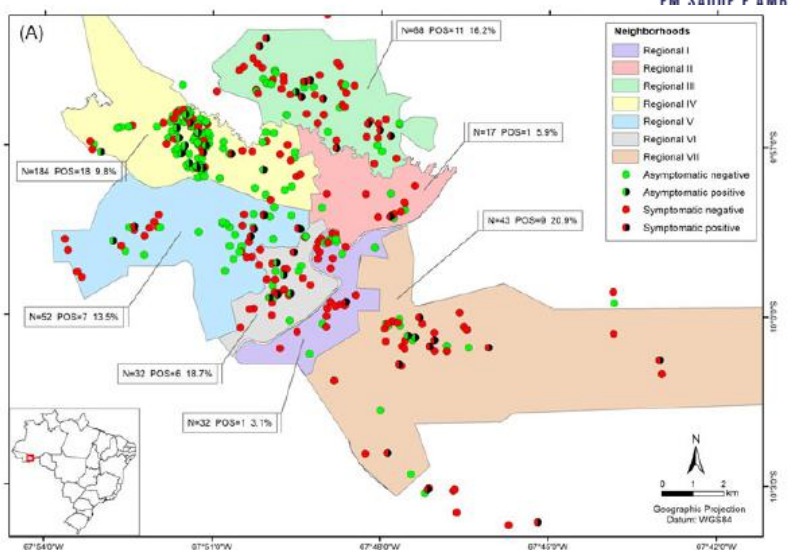
WILEY MEDICAL VIROLO

Epidemiological and molecular investigation of norovirus and astrovirus infections in Rio Branco, Acre, Northern Brazil: A retrospective study

Evandro Leite Rodrigues Bitencurt | Jones Anderson Monteiro Siqueira | Tallyta Barros Medeiros² | Renato da Silva Bandeira² | Darleise de Souza Oliveira² | Ricardo José de Paula Souza e Guimarães² | Luana da Silva Soares² | Joana D'Arc Pereira Macarenhas² | Dielle Monteiro Teixeira² | Rita S.U. Silva³ | Edvaldo Carlos Brito Loureiro² Mônica Cristina de Moraes Silva² Luciana Damascena da Silva² | Yvone Benchimol Gabbay² ©

J Med Virol. 2019. DOI:10.1002/jmv.25395





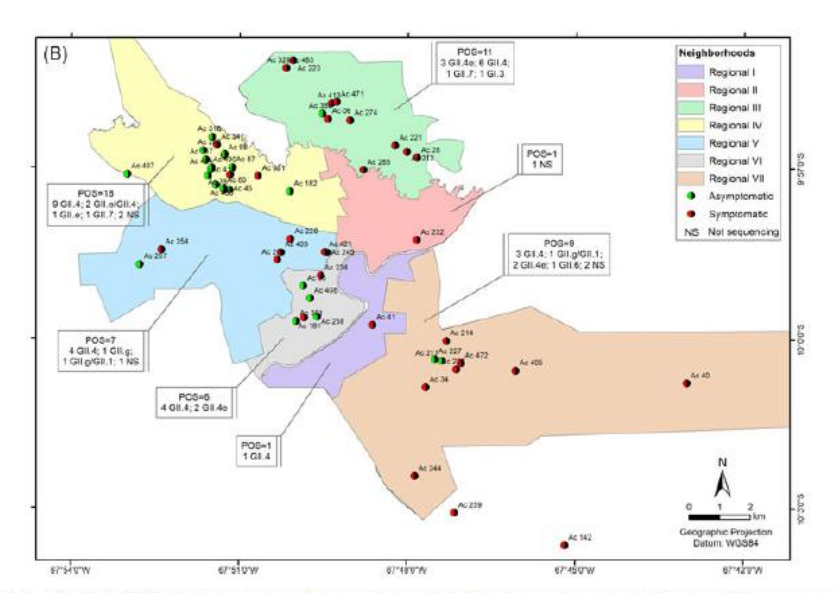


FIGURE 5 Map of the Rio Branco, Acre area demonstrating the spatial distribution of the norovirus-positive cases (A) and genotypes (B) in the seven neighborhoods in 2012

Distribuição Espacial (GNSS)

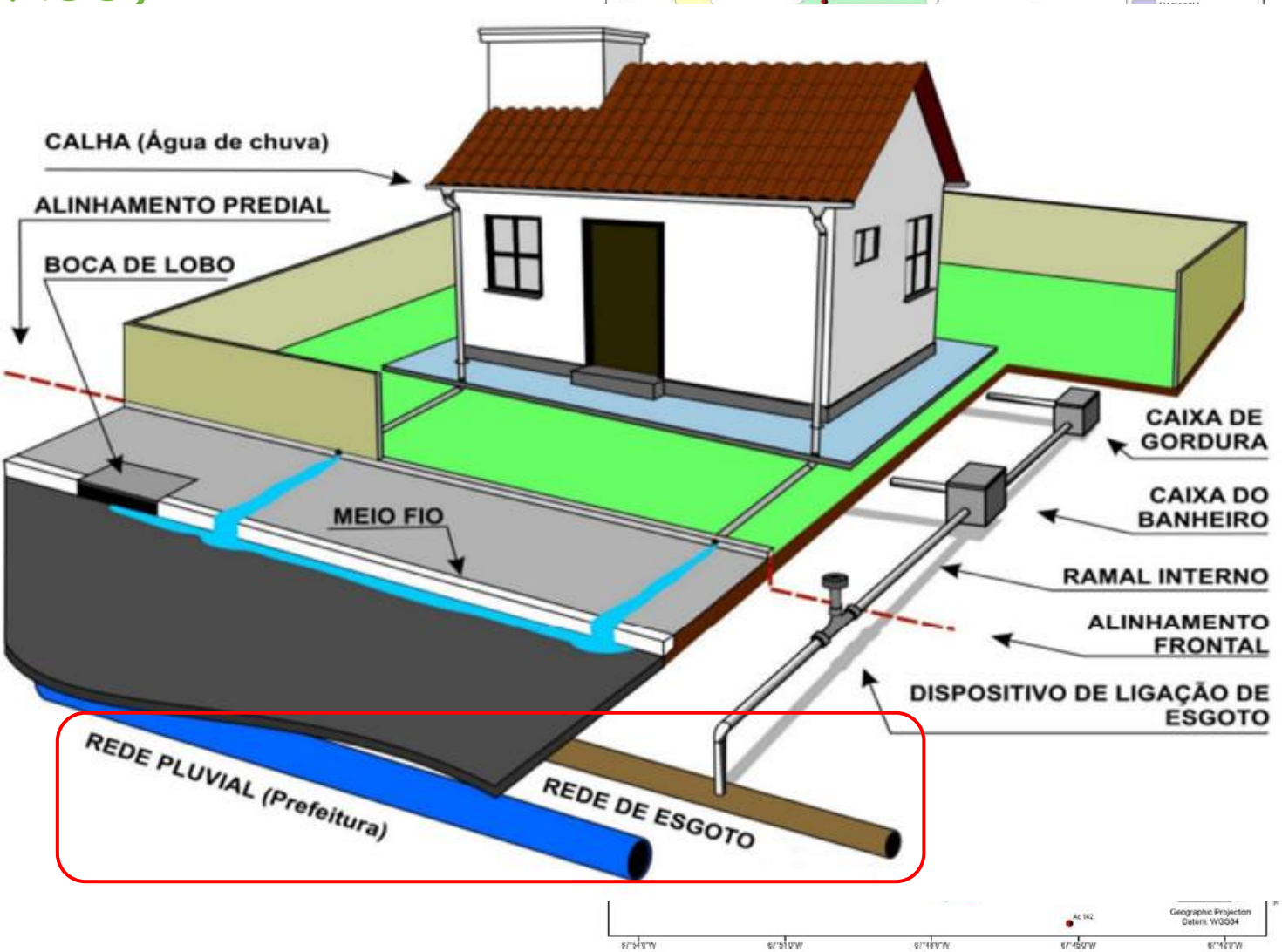


Received: 6 September 2018 | Revi DOI: 10.1002/jmv.25395

RESEARCH ARTICLE

Epidemiological a astrovirus infection retrospective studential

Evandro Leite Rodrigues I Tallyta Barros Medeiros² Ricardo José de Paula Sou Joana D'Arc Pereira Maca Edvaldo Carlos Brito Lour Luciana Damascena da Sil



J Med Virol. 2019. DOI:10.1002/jmv.25395

FIGURE 5 Map of the Rio Branco, Acre area demonstrating the spatial distribution of the norovirus-positive cases (A) and genotypes (B) in the seven neighborhoods in 2012

N=88 POS=11 16.2%

Distribuição Espacial (Smartphone)







GPS Test

Acta Tropica 164 (2016) 208-215

Contents lists available at ScienceDirect



Acta Tropica

journal homepage: www.elsevier.com/locate/actatropica



Schistosoma mansoni infection and related knowledge among schoolchildren in an endemic area of Minas Gerais, Brazil, prior to educational actions



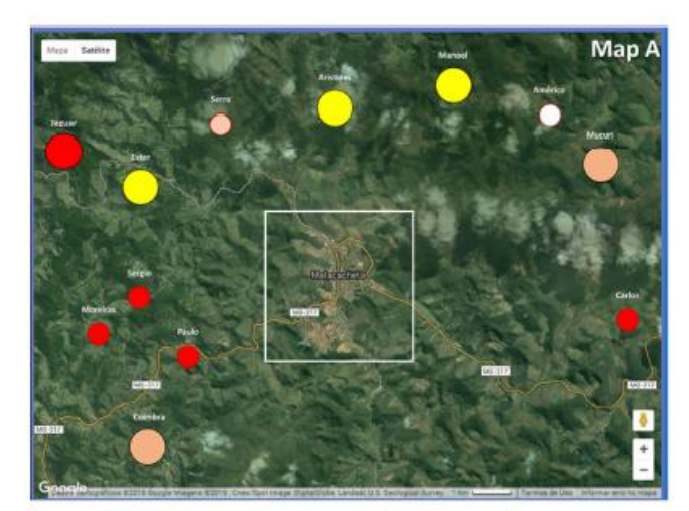
Rocio Karina S.A.A. Cabello a, Lilian C.N.H. Beck a, Cristiano L. Massara b, Felipe L.G. Murta a, Ricardo J.P.S. Guimarães c, Otávio S. Pieri a,*, Virginia T. Schall d,1, Tereza C. Favre a

- ^a Laboratory of Environmental and Health Education, Oswaldo Cruz Institute, Fiocruz, Rio de Janeiro, Brazil
- ^b Research Group on Helminthology and Medical Malacology, René Rachou Research Centre, Fiocruz, Minas Gerais, Brazil
- ^c Laboratory of Geoprocessing, Evandro Chagas Institute, Ministry of Health, Pará, Brazil

d Group of Transdisciplinary Studies in Education on Health and Environment, René Rachou Research Centre, Fiocruz, Minas Gerais, Brazil



Acta Tropica 2016. DOI:10.1016/j.actatropica.2016.09.015



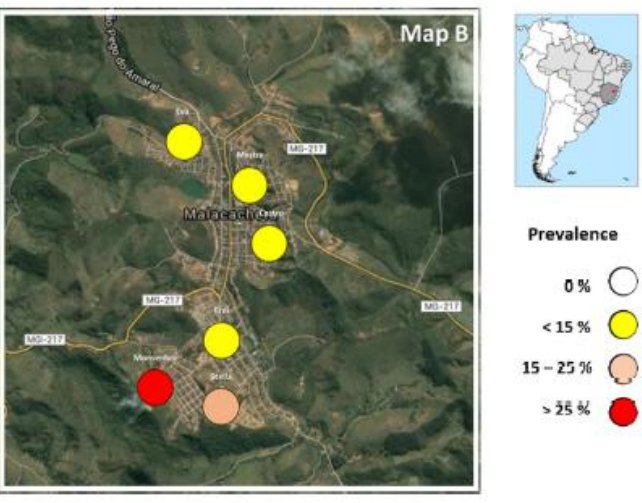


Fig. 1. Spatial distribution of public schools of fundamental education in Malacacheta, Minas Gerais, Brazil. Map A – rural schools; Map B – urban schools. Coloured circles indicate classes of Schistosoma mansoni prevalence according to 2014 Brazilian MoH guidelines. Small circles indicate schools with fewer than 50 students enrolled/tested.

Distribuição Espacial





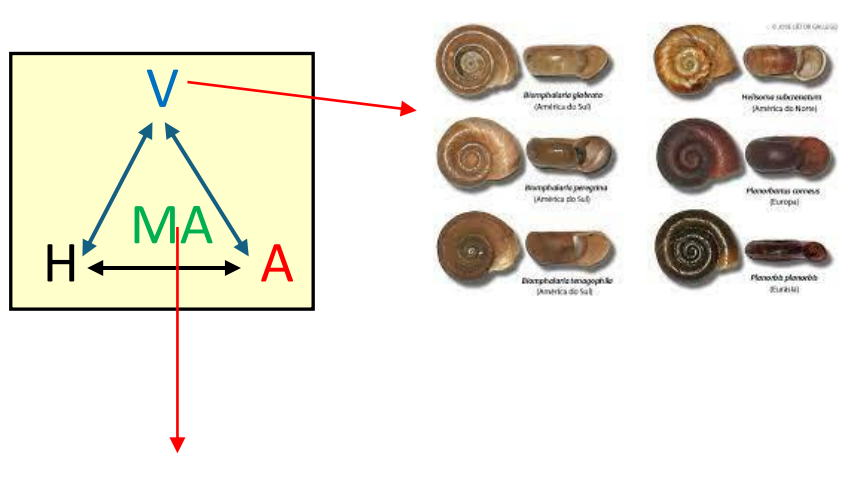
Short Communication

Revista da Sociedade Brasileira de Medicina Tropical 49(2):252-257, Mar-Apr, 2016 http://dx.doi.org/10.1590/0037-8682-0243-2015



Assessment of schistosomiasis in the semi-arid Northeast region of Brazil: the São Francisco River large-scale water transposition project

Tereza Cristina Favre^[1], Monica Ammon Fernandez^[2], Lilian Christina Nóbrega Holsbach Beck^[1], Ricardo José de Paula Souza Guimarães^[3], Otávio Sarmento Pieri^[1] and Silvana Aparecida Carvalho Thiengo^[2]



Hidrografia (rios, valas, lagos, etc.)

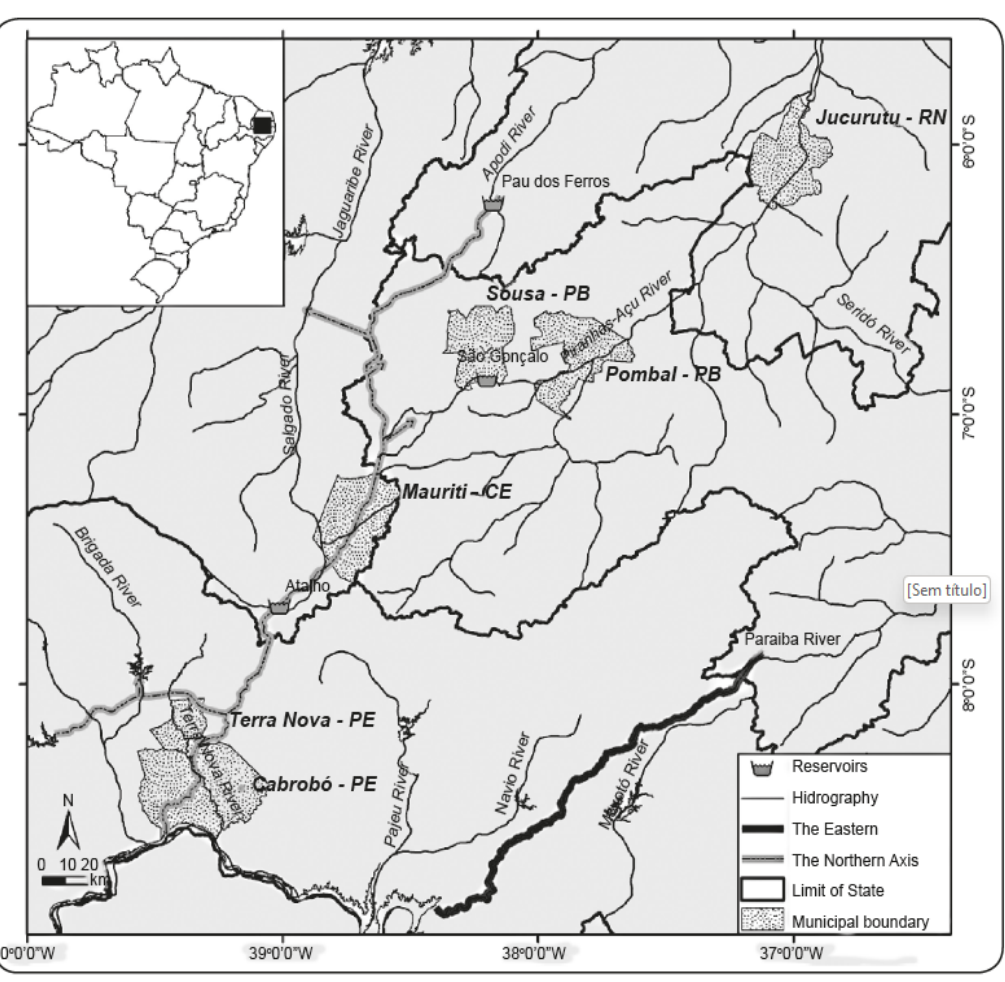


FIGURE 1 - Sketched map of the study area. The Northern and Eastern Axes of the Integration Project of the São Francisco River are shown as thick light or dark gray lines, respectively.

RSBMT 2016. DOI:10.1590/0037-8682-0243-2015

Distribuição Espacial (GPS+Smartphone+Epi Info)







Revista da Sociedade Brasileira de Medicina Tropical

Journal of the Brazilian Society of Tropical Medicine Vol.:56 | (e0238-2022) | 2023



Short Communication

Accuracy of the urine point-of-care circulating cathodic antigen assay for diagnosing Schistosomiasis mansoni infection in **Brazil: A multicenter study**

Otavio Sarmento Pieri^[1], Fernando Schemelzer Moraes Bezerra^[2], Paulo Marcos Zech Coelho^[3] Martin Johannes Enk[4] , Tereza Cristina Favre[1] , Carlos Graeff-Teixeira[5],[6] , Ricardo Riccio Oliveira [7] . Mitermaver Galvão dos Reis [7], [8], [9] . Vivian Favero^[6] ●, Thainá Rodrigues de Souza Fialho^[7] ●, Ricardo José de Paula Souza e Guimarães^[4] ●, Bruna Souza Santos Oliveira [7] . Vanessa Fey Pascoal [6] . Marta Cristhiany Cunha Pinheiro [2] . Ronald Alves dos Santos^[7] ●, Luciano Kalabric Silva^[7] ●, Isadora Cristina de Siqueira^[7] ●, Renata Perotto de Souza^{[6] ®} and Naftale Katz^{[3] ®}

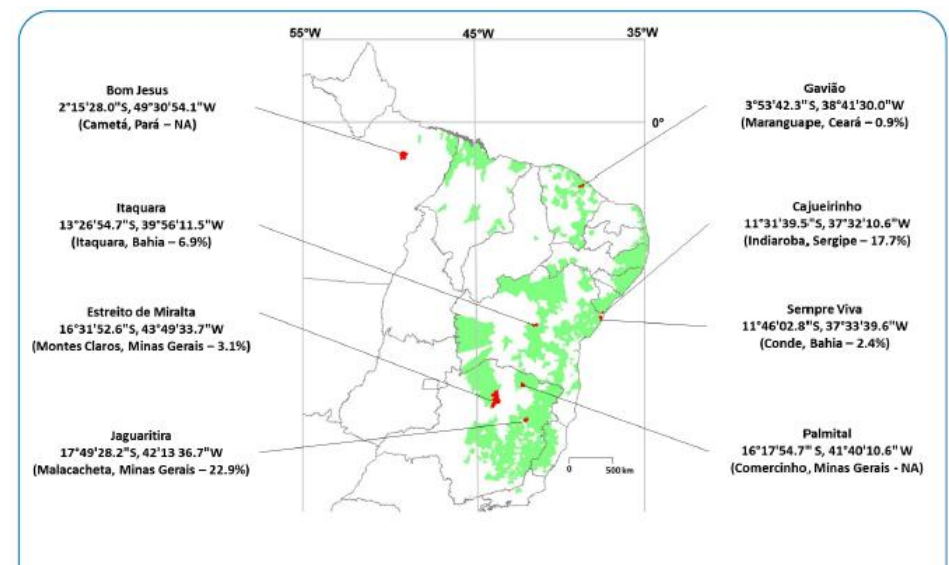


FIGURE 1: Geographic distribution and DMS coordinates of study sites, Municipalities (in red) and states are indicated in parentheses. The area served by the Brazilian Schistosomiasis Control Program in 2008-2017 is shown in green. The prevalence of Schistosoma mansoni infection based on the total number of Kato-Katz exams recorded at the municipality level during this period is shown as percentage (%). Source: http://tabnet.datasus.gov.br/cgi/deftohtm.exe?sinan/pce/cnv/pcebr.def Assessed March 24, 2022), NA, not available,

RSBMT 2023. DOI:10.1590/0037-8682-0238-2022

Distribuição Espacial (Arruamento Inteligente)





VII-034 – ANÁLISE ESPACIAL DA HEPATITE A NO MUNICÍPIO DE BREVES/PA, NO PERÍODO DE 2007 A 2015

Ricardo José de Paula e Souza Guimarães (1)

Doutor em Biomedicina pelo Instituto de Ensino e Pesquisa da Santa Casa de Belo Horizonte. T (Pesquisa e Investigação Biomédica em Saúde Publica) no Laboratório de Geoprocessamento do Evandro Chagas / SVS / MS

Brenda Caroline Sampaio da Silva (2)

Discente de Engenharia Ambiental da Faculdade Estácio de Belém – IESAM Bolsista do Programa Institucional de Bolsas de Iniciação Cientifica. PIBIC/CNPq do Instituto I Chagas - Laboratório de Geoprocessamento, processo nº 104582/2017-0

Luís Henrique Rocha Guimarães (3)

Mestre em Saúde, Ambiente e Sociedade na Amazônia pela Universidade Federal do Pará (UFP Geoprocessamento do Instituto Brasileiro de Geografia e Estatística (IBGE)

Sara Midiã Silva da Silva⁽⁴⁾

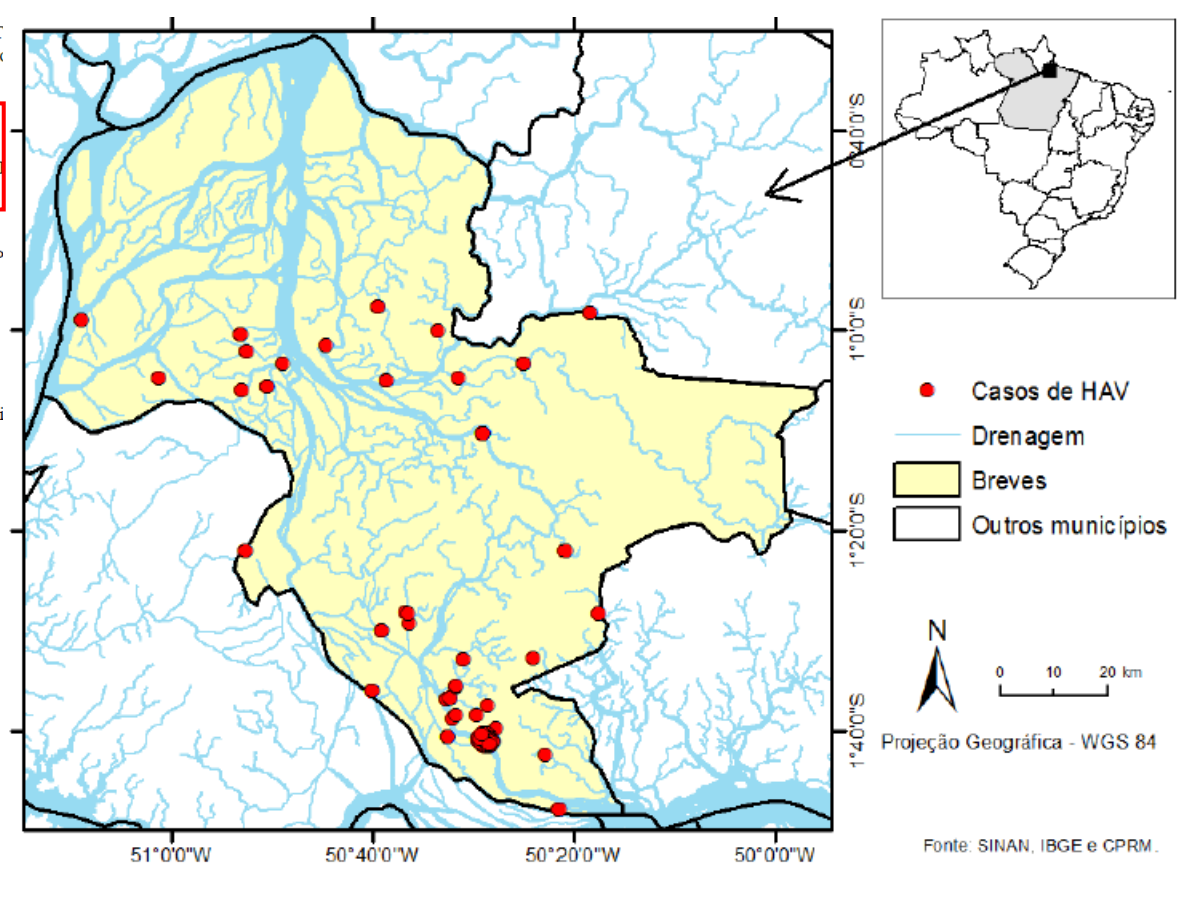
Engenheira Ambiental pela Faculdade Estácio de Belém - IESAM

Clistenes Pamplona Catete⁽⁵⁾

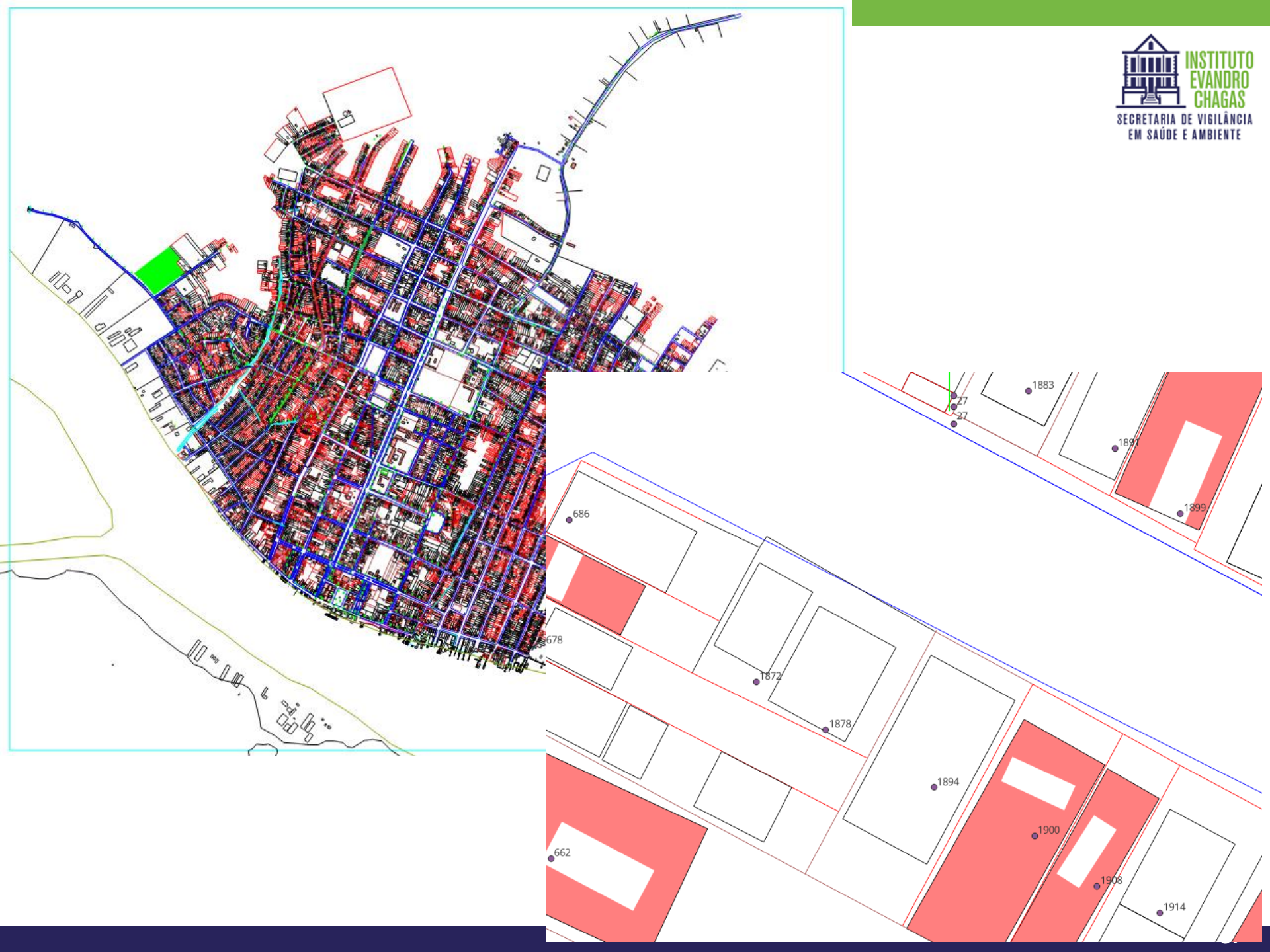
Mestre em Geofísica pela Universidade Federal do Pará (UFPA). Técnico em Pesquisa e Investi Biomédica no Laboratório de Geoprocessamento do Instituto Evandro Chagas / SVS / MS



Figura 4: Esquema mostrando a conexão do lencol freático entre cacimba com rede de drenagem.



Congresso ABES 2017. https://tratamentodeagua.com.br/artigo/analise-hepatite-breves-pa/





Definição (Kirby et al., 2017)

✓ Epidemiologia espacial refere-se a investigações que usam desenhos de estudos epidemiológicos que envolvem dados/informações espaciais sobre sujeitos de estudo, <u>unidades de saúde</u> ou fontes de exposição.

* Georreferenciamento/Geocodificação

*Sistema de Informação Geográfica (SIG)

✓ O SIG tem sido usado em muitas aplicações epidemiológicas, incluindo mapeamento de doenças, suavização de taxas, análise de aglomerados ou pontos quentes, modelagem espacial, etc.

* Linguagem de Programação (R ou Python)

* Análise Espacial (John Snow https://youtu.be/INjrAXGRda4)

- √ Mapeamento de doenças;
- ✓ Estudos de correlação geográfica;
- ✓ Avaliação de risco em relação a fontes pontuais ou lineares; e
- ✓ Detecção de agrupamento e agrupamento de doenças.

Georreferenciamento/Geocodificação



64 Apresentação clínica

| | SINAN | Inde | 2.X | (| XFIRFIA |
|------------------------|--|-----------------------------|------------|---|---|
| C tr | ública Federativa do Brasil SISTEMA DE INFORMAÇÃO DE AGRAVOS DE NOTIFICAÇÃO Ministério da Saúde FICHA DE INVESTIGAÇÃO DE NOSUE E FEBRE DE CHIKUNGUNYA Nº asso suspeito de dengue: pessoa que viva ou tenha viajado nos últimos 14 días para área onde esteja ocorrendo ansmissão de dengue ou tenha presença de Ae.aegypti² que apresente febre, usualmente entre 2 e 7 días, e resente duas ou mais das seguintes manifestações: náuseas, vômitos, exantema, mialgias, cefaléía, dor troorbital, petéquias ou prova do laço positiva e leucopenia. | | tellização | 50 Ocorreu Hospitalização? 51 Data da Internação 52 UF | S Município do Hospital Código (IBGE) |
| C | aso suspeito de Chikungunya: febre de início súbito e artralgia ou artrite intensa com inicio agudo, não explicado or outras condições, que resida ou tenha viajado para áreas endêmicas ou epidêmicas até 14 dias antes do ício dos sintomas, ou que tenha vínculo epidemiológico com um caso importado confirmado. | | Ŀ | 1-Sim 2-Não 3-Indeterminado | 57 UF 58 País |
| | Tipo de Notificação 2 - Individual | 4 | 08.80 | Município Código (IBGE) | |
| os Gerais | [2] Agravoldoença 1- DENGUE 2- CHIKUNGUNYA Código (CID10) 3 Data da Notificação A 90 A 92 Código (BGE) | 3 | | 5- Descartado 10- Dengue 11- Dengue com Sinais de Alarme 1 - Labora | rio de |
| Dados | 6 Unidade de Saúde (ou outra fonte notificadora) Código 7 Data dos Primeiros Sintomas | | 1 | SS Evolução do Caso [] 1-Cura 2- Óbito pelo agravo 3- Óbito por outras causas 4-Óbito em investigação 9-Ignorado [] | ita do Óbito 67 Data do Encerramento |
| | 8 Nome do Paciente 9 Data de Nascimento | | | Preencher os sinais clínicos para Dengue com 9 | |
| Notificação Individual | [10] (ou) (dade 1-horse 1-hors | m Sinais de Alarme e Dengue | | Nomitos persistentes Nomitos persistentes | Aumento progressivo do hematócrito dos materials de alarme: Acúmulo de líquidos ultras hemorragias sangramento grave: Hematêmese Metrorragia volumosa Melena Sangramento do SNC |
| Dados de Residência | 17 UF 18 Municipio de Residência Código (IBGE) 19 Distrito | Dados Clinicos - Dengue con | j [| PA convergente <= 20 mmHg | Compromentimento grave de órgãos: AST/ALT > 1.000 Micoardite Consciência Outros órgãos, especificar |
| _ | 3-Periurbana 9-Ignorado | 0 | bse | Informações complementares ervações Adicionais | e observações |
| Inv. | Dados clínicos e laboratoriais ☐ 31 Data da Investigação ☐ ②Coupação ☐ ☐ ☐ ☐ ☐ ☐ ☐ ☐ ☐ ☐ ☐ ☐ ☐ ☐ ☐ ☐ ☐ ☐ ☐ | | | | tabyin |
| Dados clínicos | 33 Sinais clínicos 1-Sim 2-Não | | | | X |
| Dades laboratoriais | Sorologia (IgM) Chikungunya Exame PRNT Sorologia (IgM) Dengue Sorologia (Ig | | igador | Município/Unidade de Saúde Nome | Cód. da Unid. de Saúde |
| | 1 - DEWY 1 2 - DEWY 2 1 - Comparise 2 - Incompatise 3 - DEWY 3 4 - DEWY 4 3 - Incombusivo 4 - Não realizado | | | Chikungunya/Dengue Sinan Online | SVS 14/03/2016 |
| | Sinan Online SVS 14/03/2016 | | | | |

Georreferenciamento/Go



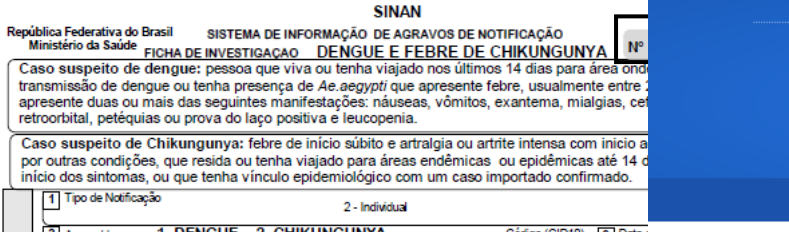
Área Restrita











2 Agravo/doença 1- DENGUE 2- CHIKUNGUNYA Código (CID10) 3 Data o A 90 A 92 4 UF | 5 Município de Notificação 6 Unidade de Saúde (ou outra fonte notificadora) Código 7 Data 9 Data 8 Nome do Paciente 13 Rag | Scolaridade | Charlated | -1-1 a 2º sinfe incompleta do EF (artigo primário ou 1º grau) | 2-4º sinfe completa do EF (artigo primário ou 1º grau) | 3-2º sinfe incompleta do EF (artigo primário ou 1º grau) | 3-2º sinfe incompleta do EF (artigo primário ou 1º grau) | 3-2º sinfe incompleta (artigo primário ou 1º grau) | 3-2º sinfe incompleta (artigo primário ou 1º grau) | 3-2º sinfe incompleta | 3-2º sinfe incomp 16 Nome da mãe 15 Número do Cartão SUS 17 UF 18 Município de Residência Código (IBGE) 19 Distrito # 20 Bairro 21 Logradouro (rua, avenida,...) 24 Geo campo 1 22 Número 23 Complemento (apto., casa, ...) 25 Geo campo 2 26 Ponto de Referência

https://cnes.datasus.gov.br/

28 (DDD) Telefone

4 - DENV 4

Chikungunya/Dengue

| | - |
|--|----|
| Dados clínicos e laboratoriais | _ |
| 31 Data da Investigação 32 Ocupação | _ |
| | _ |
| 33 Sinais clínicos 1-Sim 2-Não | |
| Febre Cefaleia Vômito Dor nas costas Artrite Petéquias | [|
| Mialgia Exantema Náuseas Conjuntivite Artralgia intensa Leucopenia | [|
| 34 Doenças pré-existentes 1-Sim 2-Não | |
| Diabetes Hepatopatias Hipertensão arterial Doenç | а |
| Doenças hematológicas Doença renal crônica Doença ácido-péptica | |
| Sorologia (IgM) Chikungunya Exame PRNT 38 Result | a |
| S5 Data da Coleta da 1º Amostra 36 Data da Coleta da 2º Amostra 37 Data da Coleta da Coleta S1 S2 | _ |
| 1 - Reagent Inconclusiv | |
| Sorologia (IgM) Dengue Exame NS1 | _ |
| 39 Data da Coleta 40 Resultado 1- Positivo 2- Negativo 1- Positivo 2- Negativo 1- Positivo 2- Negativo 1- Positivo 1- Positivo 2- Negativo 1- Positivo | |
| 1- Positivo 2- Negativo 1- Positivo 2- Pos | |
| 43 Isolamento 44 Resultado 45 RT-PCR 46 R | e: |
| Data da Coleta 1- Positivo 2 - Negativo 3 Data da Coleta 1- Posi | |
| - Inconclusivo 4 - Não Realizado | 21 |
| 47 Sorotipo 48 Histopatologia 49 Imunohistoquímica 1- DENV 1 2- DENV 2 1- Compatíve 2-Incompatíve 11- Positivo 2- Negativo 11- Positivo 11- Positivo 2- Negativo 11- Positivo 2- Negativo 11- Positivo 11- Posit | |

Sinan Online

29 Zona 1 - Urbana 2 - Rural

3 - Periurbana 9 - Ignorado

30 País (se residente fora do Bras

ACESSIBILIDADE ALTO CONTRASTE MAPA DO SITE CNES Cadastro Nacional de Estabelecimentos de Saúde

Buscar no Portal

Bem vindo ao nosso novo site! As funcionalidades que ainda não foram implementadas neste site, estão

Perguntas Frequentes

I■ MENU

Contato



disponíveis aqui.

PROGRAMA SAÚDE NA HORA

Conheça mais sobre o Programa que amplia o atendimento da Atenção Primária.

Consulta Estabelecimento

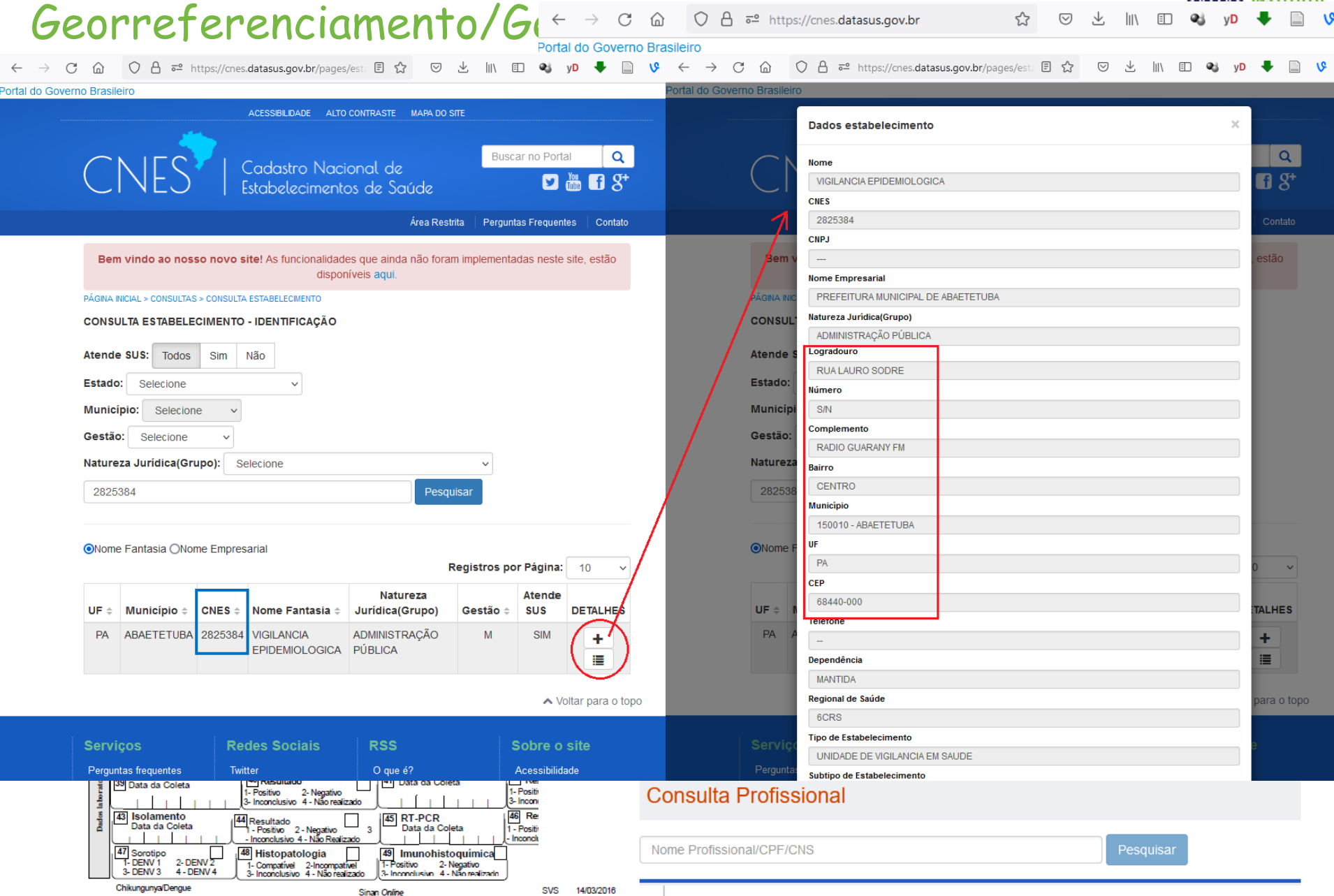
Nome Fantasia/Nome Empresarial/CNES/CNPJ/CPF

Consulta Profissional

Nome Profissional/CPF/CNS

14/03/2016





Distribuição Espacial (CNES)



| Notifying unit | P-value ⁽¹⁾ | | |
|--------------------------------------|------------------------|-------|---|
| Belém | 13 | 6.37 | |
| <u>Ananindeua</u> | 9 | 4.41 | |
| Abaetetuba | 182 | 89.21 | |
| Santa Rosa Municipal Hospital | 5 | 2.45 | |
| Julia Seffer Hospital | 6 | 2.94 | -0.0001*** |
| Abaetetuba General Hospital | 16 | 7.84 | <0.0001*** |
| Abaetetuba Health Center | 2 | 0.98 | |
| Epidemiological Surveillance Service | 151 | 74.02 | $\qquad \qquad $ |
| Algodoal Family Health Unit | 1 | 0.49 | |
| Aviação Family Health Unit | 1 | 0.49 | |
| Total | 204 | | |

Sources: National Register of Health Facilities (CNES). Health Notification Information System (SINAN), 2018. (1) Pearson's chi-square test for independence (p-value <0.05).***Highly significant values. H₁: The incidence rate depends on categorical variables (p<0.05).

Rev. Esc. Enf. USP 2020.

DOI:10.1590/S1980-220X2018058603565





ORIGINAL ARTICLE

doi: https://doi.org/10.1590/S1980-220X2018058603565

Spatial distribution of Chagas disease and its correlation with health services*

Distribuição espacial da doença de Chagas e sua correlação com os serviços de saúde Distribución espacial de la enfermedad de Chagas y su correlación con los servicios sanitarios

How to cite this article:

Cardoso LP, Paiva TR, Nogueira LMV, Guimarães RJPS, Rodrigues ILA, André SR. Spatial distribution of Chagas disease and its correlation with health services. Rev Esc Enferm USP. 2020;54:e03565. doi: https://doi.org/10.1590/S1980-220X2018058603565

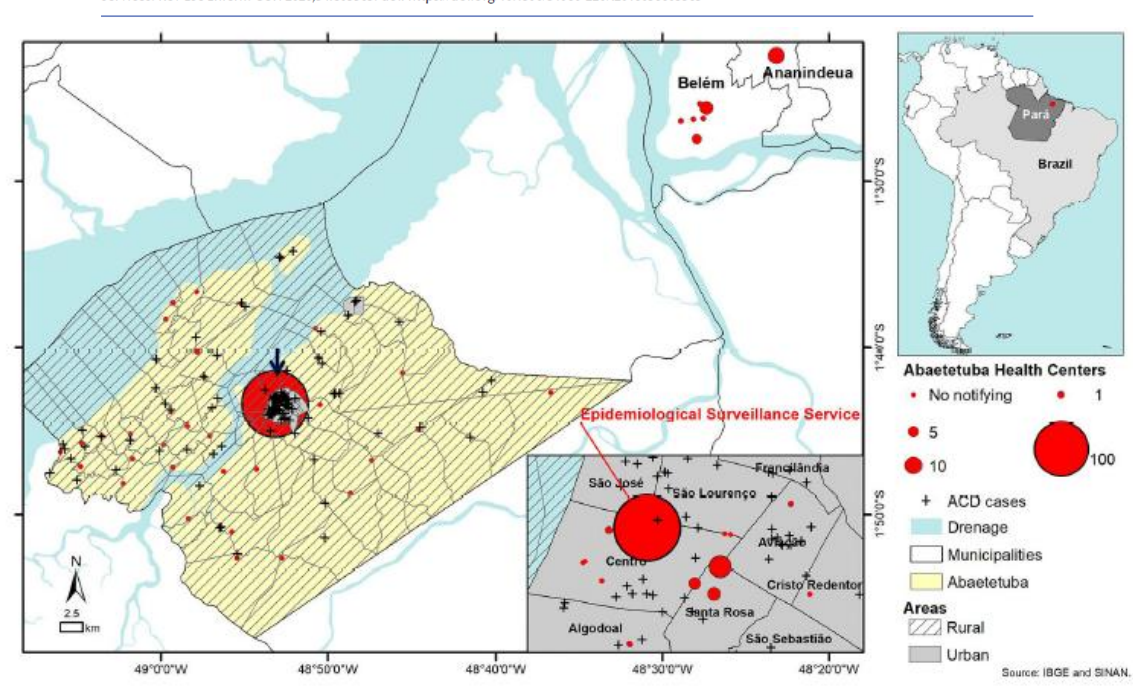
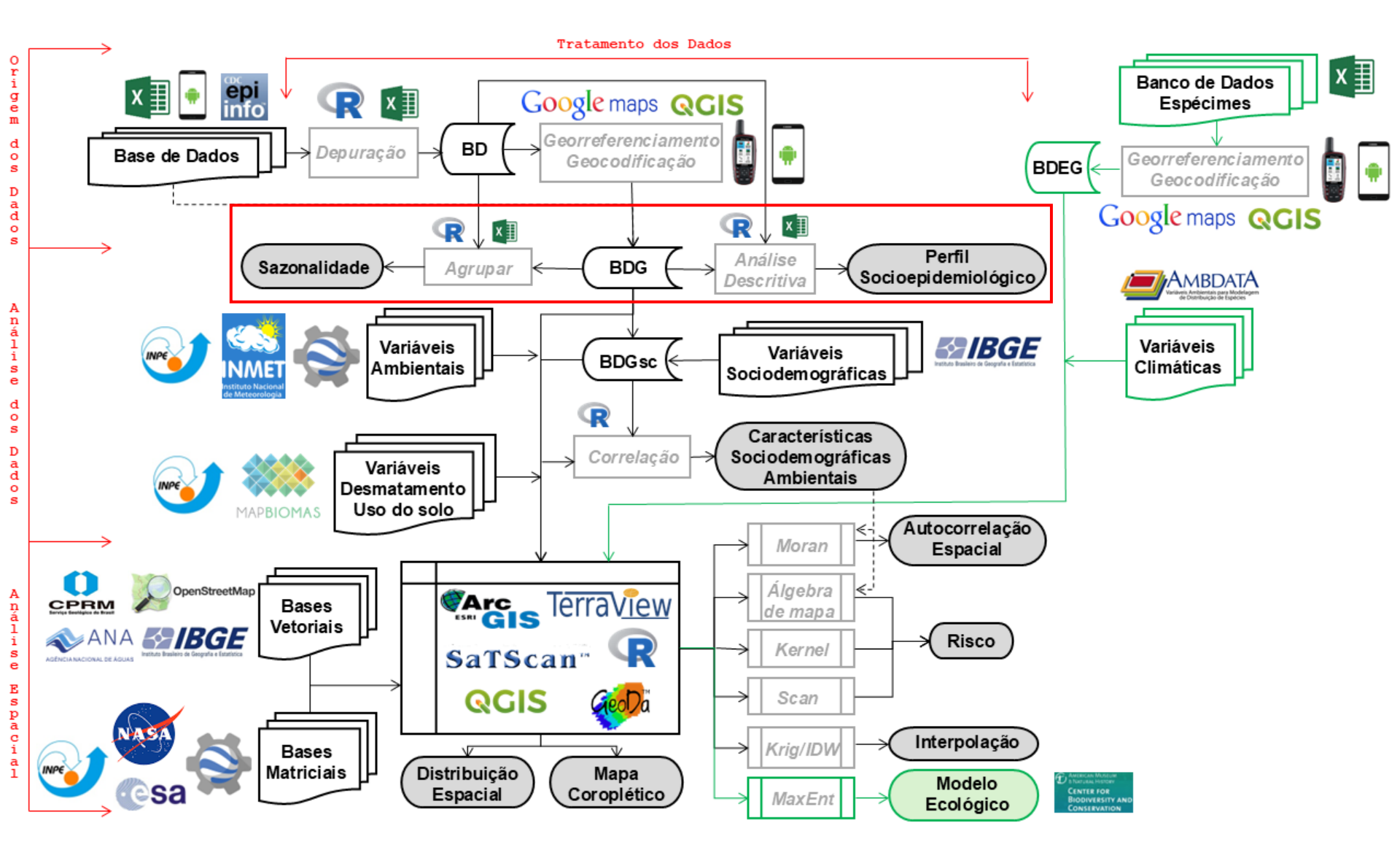


Figure 1 - Spatial dimension of rural and urban areas, spatial location of ACD cases and Abaetetuba Health Centers.

Sazonalidade/Perfil





Perfil epidemiológico

Sazonalidade/Perfil



| Ministerio da Saulio SISTEMA DE NECROMAÇÃO DE NOTIFICAÇÃO PICHA DE NECROMAÇÃO DE NOTIFICAÇÃO MINISTERIO (NICHORA) CASO CONFIRMADO Heartite & Individuo que aprecente ant-HAV (gM reagente) Individuo que aprecente ant-CHAV (gM reagente) Individuo que aprecente ant-C | | | _ | |
|--|--|--------------------------|------------------------------|--------------|
| Hesatte A: Individuo que apresente anti-HAV igM reagente Individuo que presencha as condigées de caso suspeilo e que apresente vinculo epidemiológico com caso confirmado (anti-HAV igM reagente) de hepatite A em qualquer um dos campos da declaração de óbto u após investigação do óbto por hepatite sem etiologia especificada. Hesatite B: Individuo que apresente um ou mais dos marcados resigentes ou exame de biologia molecular para hepatite B a seguir. - Menção de hepatite B em qualquer um dos campos da declaração de óbto ou após investigação do óbto por hepatite sem etiologia especificada. Hesatite C: Individuo que apresente um ou mais dos marcados reagentes ou exame de biologia molecular para hepatite C a seguir. - Menção de hepatite C: Individuo que apresente um ou mais dos marcados exagentes ou exame de biologia molecular para hepatite C a seguir. - Menção de hepatite C: Individuo que apresente um ou mais dos marcados exagentes ou exame de biologia molecular para hepatite C a seguir. - Menção de hepatite C: - Individuo que apresente um ou mais dos marcados exagentes que acumente que lo de óbto ou após investigação do óbto por hepatite sem etiologia especificada. Hepatite D: - Caso confirmado de Hepatite B: - Caso confirmado de Hepatite B: - Unidos de superior de campos da declaração de óbto ou após investigação do óbto por hepatite sem etiologia especificada. Hepatite D: - Caso confirmado de magnitura de campos da declaração de óbto ou após investigação do óbto por hepatite sem etiologia especificada. Hepatite D: - Caso confirmado de magnitura de campos da declaração de óbto ou após investigação do óbto por hepatite sem etiologia especificada. Hepatite D: - Caso confirmado de magnitura de apos de obto ou após investigação do óbto por hepatite sem etiologia especificada. Hepatite D: - Caso de magnitura de apos de obto ou após investigação do óbto por hepatite sem etiologia especificada. Hepatite D: - Caso de obto de confirmado de apos de campos de apos de obto de obto de obto de obto de obto de la campo de a | | | |][|
| Till (out) Idade 1-bys Till Section Till Se | especificada. r. especificada. r. especificada. especificada. | da. la. la. da. | Antecedentes Epidemiológicos | |
| Till (out) Idade 1-bys Till Section Till Se | | +1 <u>e</u> | 2 2 | |
| Till (out) Idade 1-bys Till Section Till Se | BGE) | ∵ † Tonalic | 2 | |
| ZB (DDD) Telefone ZB Zona - Urbana 2 - Rural 30 País (se residente fora do Brasil) 3 - Periurbana 9 - Ignorado | 9-Amarela 9- Ignorado | 5 | Dados Labora toriais | |
| Dados Complementares do Caso Sal Data da Investigação 32 Ocupação 33 Suspeita de: 34 Tomou vacina para: Hepatite A 2 - Hepatite BC 3 - Não especificada 1 - Completa 2 - Incompleta 3 - Não vacinado 9 - Ignorado Hepatite B 3 - Não especificada 1 - Creche 2 - Escola 3 - Asilo 4 - Empresa 5 - Penitenciária 6 - Hospital/clínica 7 - Outras 8 - Não institucionalizado 9 - Ignorado 38 Agravos associados HIV/AIDS 37 Contato com paciente portador de HBV ou HBC Sexual Domicilar (não sexual) | | | Conclusão | |
| 32 Coupação 32 Coupação 32 Coupação 33 Suspeita de: 34 Tomou vacina para: Hepatite A 2 - Hepatite B 3 - Não especificada 1 - Completa 2 - Incompleta 3 - Não vacinado 9 - Ignorado Hepatite B 3 - Não especificada 3 - Não especificada 1 - Coreche 2 - Escola 3 - Asilo 4 - Empresa 5 - Penitenciária 6 - Hospital/clínica 7 - Outras 8 - Não institucionalizado 9 - Ignorado 38 Agravos associados HIV/AIDS 37 Contato com paciente portador de HBV ou HBC Sexual Domiciliar (não sexual) | | | | È |
| 1 - Creche 2 - Escola 3 - Asilo 4 - Empresa 5 - Penitenciária 6 - Hospital/clínica 7 - Outras 8 - Não institucionalizado 9 - Ignorado 37 Contato com paciente portador de HBV ou HBC Sexual HIV/AIDS Domicillar (não sexual) | | | Obs | 1 |
| 1-Sim 2-Não 9-Ignorado Outras DSTs 1-Sim, há menos de seis meses 3-Não Ocupacional 2-Sim, há mais de seis meses 9-Ignorado Ocupacional Sinan NET SVS 29/09//2006 | não sexual) al | | | Investigador |

| | ı | | | | | | | |
|------------------------------|--|---------------------------------------|--|---|---|--|--|---|
| | O paciente foi si | ubmetido | ou exposto a 1 - Si | | | | seis meses 3 - Nã | _ |
| | Medicamentos Injetáveis | | | Tatuagen/Piercing | | Acidente com Mate | | |
| | Drogas inaláve | | ok . | _ | puntura | | Transfusão de san | gue /derivados |
| | Drogas injetáv | | | | amento Cirúrgico | | | |
| | Agua/Alimento | | | | tamento Dentário nodiálise | 39 Dat | ta do acidente ou tra | ansfusão ou transplante |
| | Transplante | Jaroeros : | sexuals | Outr | | | | |
| gicos | 40 Local/ Município | da Exposi | ção (para caso de Her (para caso de He | patite A - local | referenciado no c | ampo 35) | | |
| antecedentes Epidemiológicos | UF Município d | | | Local de e | | , tránsfusão de sa | ingue e derivados, t | ransplante, etc.) Fone |
| | | | • | | | | | |
| | | | | | | | | |
| ceden | 41 Dados dos como | unicantes | | | | | | |
| Ante | Nome | ldade | Tipo de contato 1-Não sexual/domicilar | HBsAg 1-Reagente | Anti-HBc total 1-Reagente | Anti-HCV 1-Reagente | Indicado vacina | Indicado Imunoglobuli humana anti hepatite |
| | | D-Dias M-Meses A-Anos | 2-Sexual/domidilar 3-Sexual/não domidilar 4-Uso de drogas 5-Outro 9-Ignorado | 2-Não reagente 3-inconclusivo 4-Não realizado 9-ignorado | 2-Não reagente 3-Inconclusivo 4-Não realizado 9-Ignorado | 2-Não reagente 3-inconclusivo 4-Não realizado 9-ignorado | 1-Sim 2-Não 3-Individuo já Imune 9-Ignorado | 1-Sim 2-Não 9-Ignorado |
| | | | | | | | | |
| | | | | | | | | |
| | | | | | | | | |
| | 42 Paciente encami | nhado de | □ 4 3 | Data da Colet | a da Amostra | 44 Resultado da | Sorologia do Bano | o de Sangue ou CTA |
| Laboratoriais | 1- Banco de sangue 2- Centro de Testag (CTA) 3- Não se antica 45 Data da Coleta d | em e acor | nselhamento | Realizada em Sangue ou C1 | Banco de A | 3-Inconclusivo | | HBsAg Anti HBc (Total |
| Dados Labo | 47 Genótipo para H 1-Genótipo 1 4 2-Genótipo 2 | آبلت | o 4 7-Não se aplica o 5 9-Ignorado | 1 - Reagente 2 - Não Reag 3 - Inconclus | /Positivo gente/Negativo ivo | rológicos/Teste ráj] Anti-HAV - IgM] HBsAg]Anti-HBc IgM] Anti -HBc (Total) | Anti-HBs HBeAg Anti-HBe | Anti -HDV - IgM Anti -HEV - IgM Anti-HCV Anti-HCV |
| | 48 Classificação fina 1 - Confirmaçã 2 - Confirmaçã 3 - Descartado 4 - Cicatriz Sor 8 - Inconclusiv | o laborato o clínico-e rológica | rial | assintomáti | Aguda Cronica/Portador co Fulminante | 01- Vi r 02- Vi 03- Vi | írus B 07-Vin írus C 08-Vin írus Be D 09-Não | se aplica |
| onclusão | 51 Provável Fonte / | Mecanisn | no de Infecção | | | | nus E congri | |
| Come | 01-Sexua 02-Transi | 31 | 05-Acidente 06-Hemodi | e de trabalho | | mento cirúrgico | | igua contaminada |
| | 03-Uso d | e drogas | 07-Domicili | | 09-Tratan 10-Pesso | nento dentário a/nessna | 12-Outros 99- Ignorado | |
| | 04-Vertic | | _ | | | -, | oo igiiolado | |
| | Jaz Jaka do Enterral | | J | | | | | |
| Obse | rvações: | | | | | | | |
| | | | | | | | | |
| | | | | | | | | |
| | | | | | | | | |
| | | | | | | | | |
| | | | | | | | | |
| | Município/Unidade | e de Saúd | e | | | | Códig | o da Unid. de Saúde |
| opea | | | | | | | | |
| Investigados | Nome | | | Função | | | | natura |
| | Hepatites Virais | | | Sin | an NET | | SV | 3 29/09/2006 |

http://portalsinan.saude.gov.br/hepatites-virais

Distribuição Temporal







ARTICLE https://doi.org/10.22239/2317-269X.01216

Profile of hepatitis the municipality of Belém, Pará, Brazil

Perfil da hepatite A no município de Belém, Pará, Brasil

Karla de Souza Santos^{i,*} (1)
Ricardo José de Paula Souza e
Guimarãesⁱⁱⁱ (1)
Priscila Sanjuan de Medeiros
Sarmentoⁱⁱⁱ (1)
Gundisalvo Piratoba Moralesⁱⁱ (1)

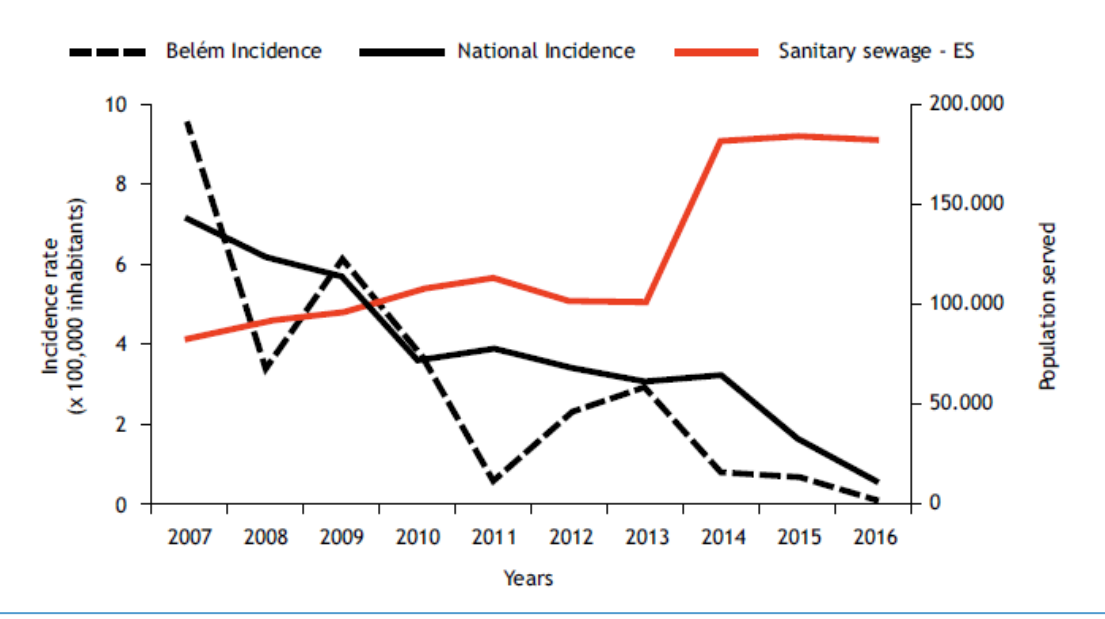


Chart. Ratio of the incidence of hepatitis A Brazilwide and in the municipality of Belém, associated with the population served by sewage collection from 2007 to 2016.

Rev. Visa em Debate 2019.

DOI: 10.22239/2317-269X.01216

Distribuição Temporal e Perfil





Revista Eletrônica Acervo Saúde / Electronic Journal Collection Health | ISSN 2178-2091

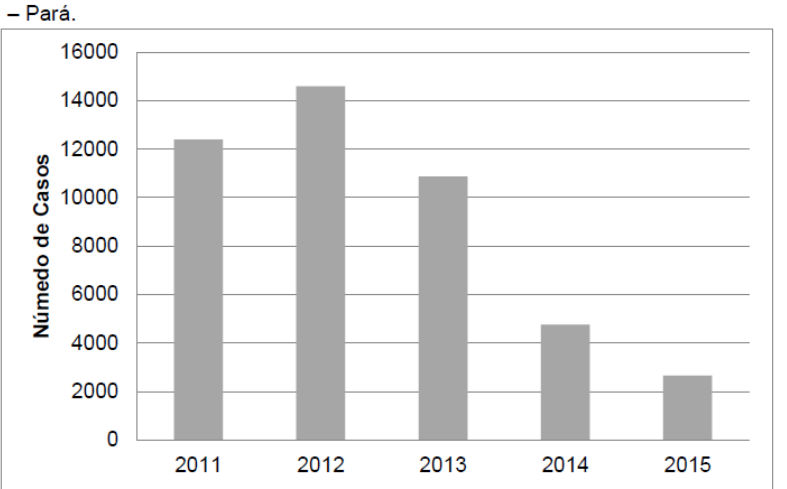
Situação epidemiológica da malária em uma região de Garimpo, na região da Amazônia brasileira, no período de 2011 a 2015

Epidemiological situation of malaria in a Garimpo region, in the Brazilian Amazon region, from 2011 to 2015

Situación epidemiológica de la malaria en una región de Garimpo, en la región de la Amazonia brasileña, en el período de 2011 a 2015

Thalyta Mariany Rêgo Lopes^{1*}, Ana Maria Revorêdo da Silva Ventura², Ricardo José de Paula Souza e Guimarães², Luis Henrique Rocha Guimarães³.

Gráfico 1: Número de casos no período de 2011 a 2015, no município de Itaituba



Fonte: Sistema de Informações de Vigilância Epidemiológica - Malária (2018).

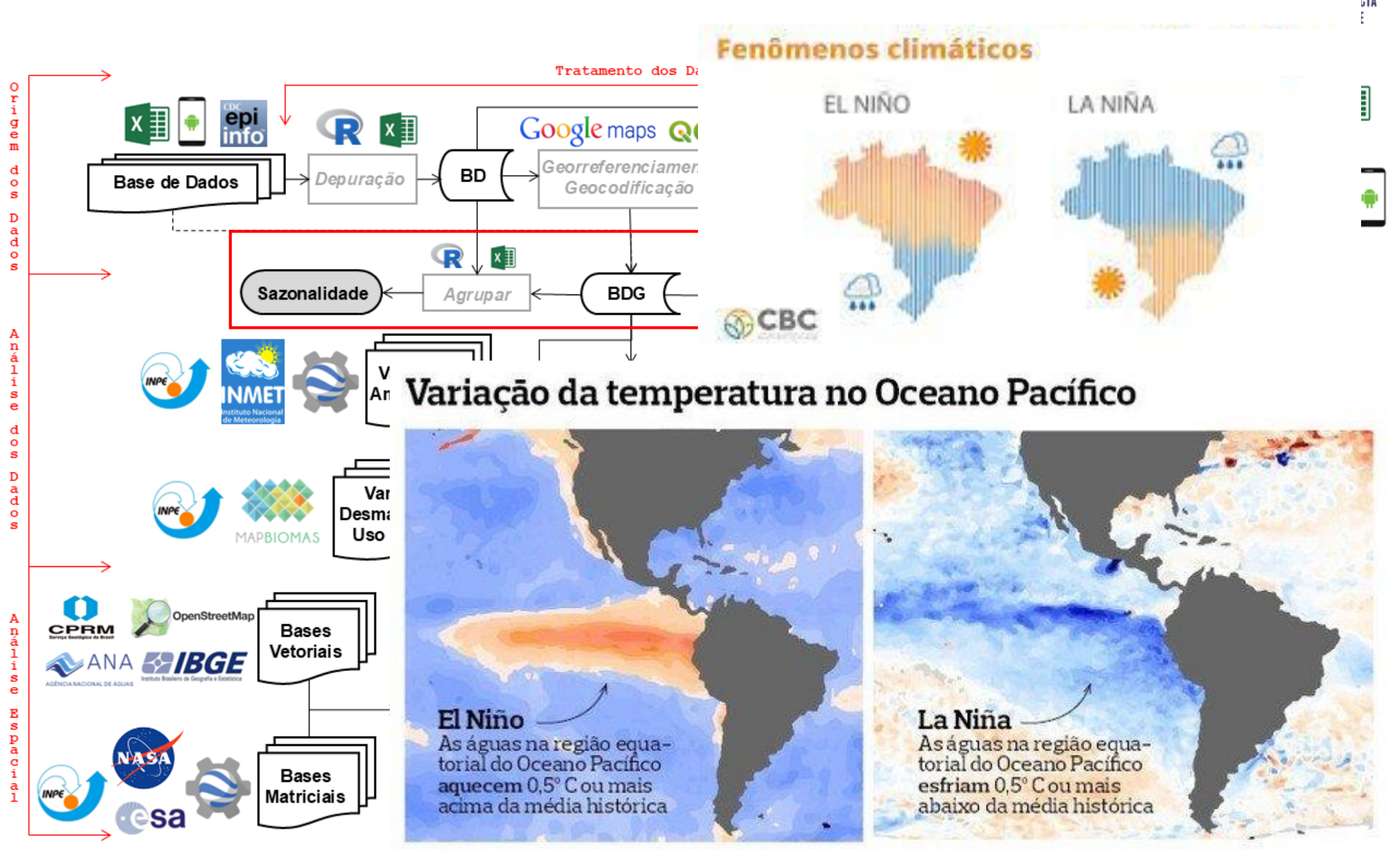
Tabela 1: Dados sociodemográfico dos casos de malária no município de Itaituba- Pará, no período no 2011 a 2015

| | a 2015. | | | | | |
|---|-------------------|----------|----------|----------|----------|----------|
| ſ | VARIÁVEIS | N (2011) | N (2012) | N (2013) | N (2014) | N (2015) |
| ı | Número de | 12.395 | 14.589 | 10.867 | 4.757 | 2.656 |
| | casos | | | | | |
| ı | Sexo | | | | | |
| | Masculino | 8.623 | 10.869 | 7.789 | 3.352 | 1.928 |
| | Feminino | 3.772 | 3.720 | 3.078 | 1.405 | 728 |
| | ldade | | | | | |
| | >60 | 176 | 240 | 187 | 67 | 28 |
| a | 40-59 | 2.737 | 3.254 | 2.338 | 957 | 571 |
| ı | 20-39 | 6.666 | 8.117 | 6.272 | 2.855 | 1.659 |
| ľ | 10-19 | 1.852 | 2.073 | 1.593 | 633 | 286 |
| | <1-9 | 964 | 905 | 477 | 245 | 112 |
| | Espécie de | | | | | |
| ı | Plasmódio | = == : | | - | | |
| | P. vivax | 7.524 | 8.837 | 7.124 | 3.720 | 2.008 |
| | P.falciparum | 3.872 | 4.470 | 2.945 | 869 | 567 |
| | P.vivax+ | 952 | 1.111 | 676 | 122 | 74 |
| | P.falciparum - | | | | | |
| | Raça | | | | | |
| | Branca | 1.323 | 846 | 553 | 261 | 153 |
| | Preta | 1.750 | 986 | 800 | 560 | 306 |
| | Amarela | 253 | 140 | 115 | 27 | 19 |
| | Parda | 6.939 | 12.457 | 9.282 | 3.893 | 2.165 |
| | Indígena | 237 | 153 | 117 | 16 | 13 |
| | Vazias | 1.893 | 7 | 0 | 0 | 0 |
| | Grau de | | | | | |
| | escolaridade | | | | | |
| | Analfabeto | 852 | 790 | 477 | 175 | 87 |
| | 1ª a 4ª série | 3.123 | 2.478 | 1.781 | 859 | 469 |
| | incompleto | | | | | |
| | | | | | | |

REAS/EJCH 2019. DOI:10.25248/reas.e759.2019

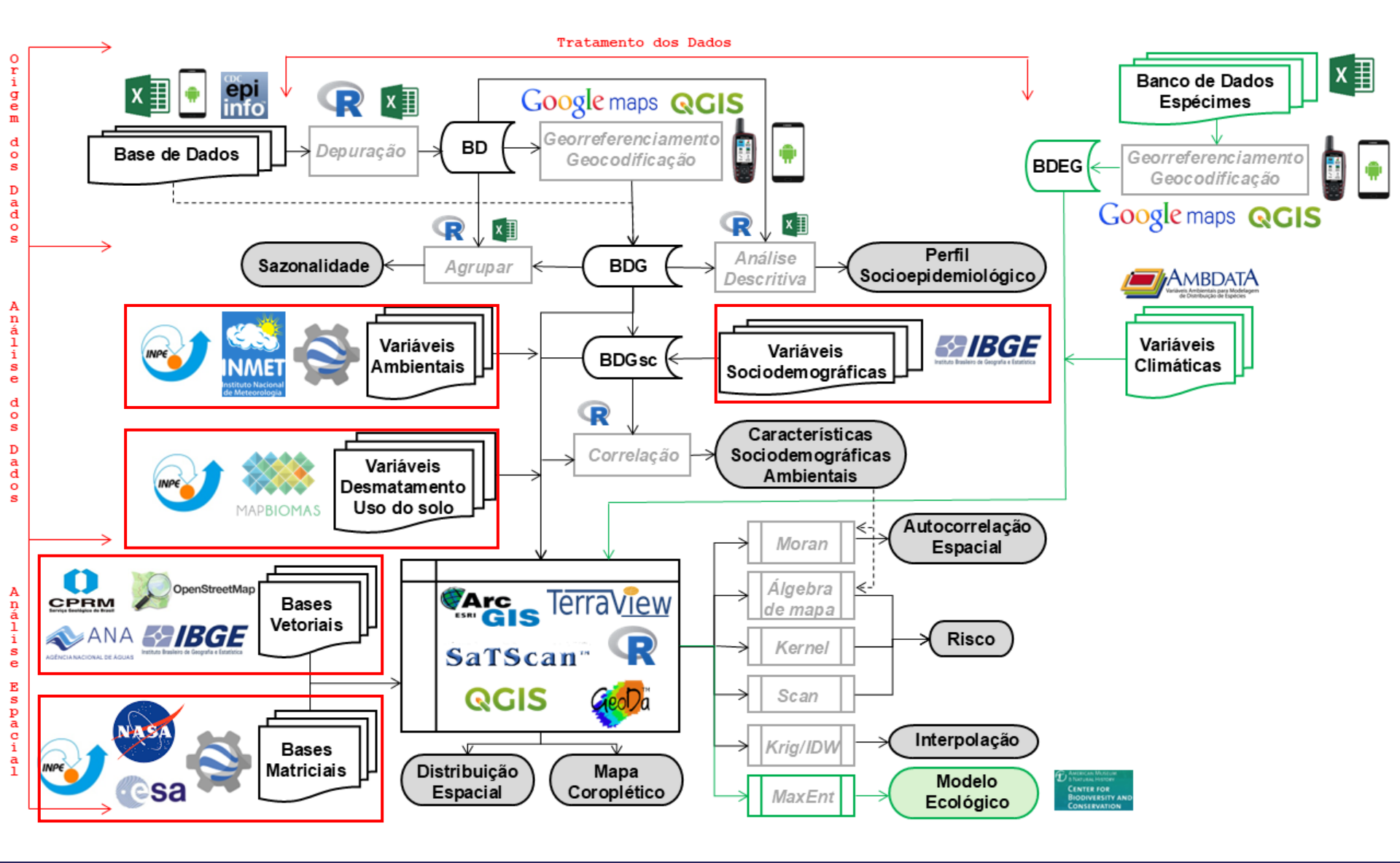
Sazonalidade/Perfil





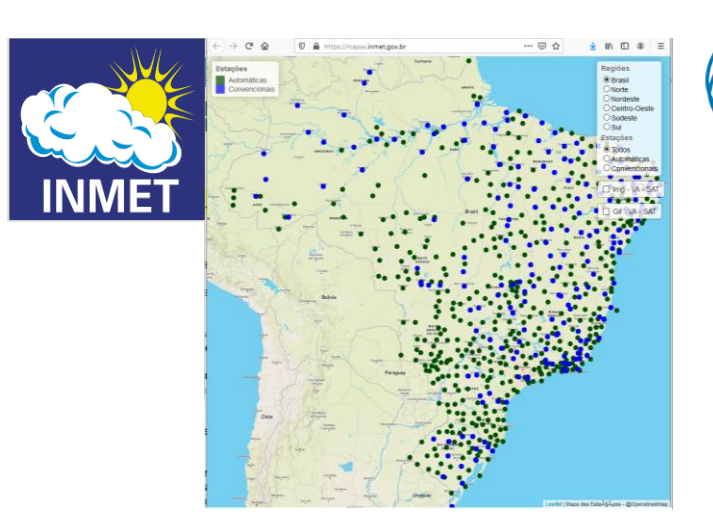
Variáveis/Bases

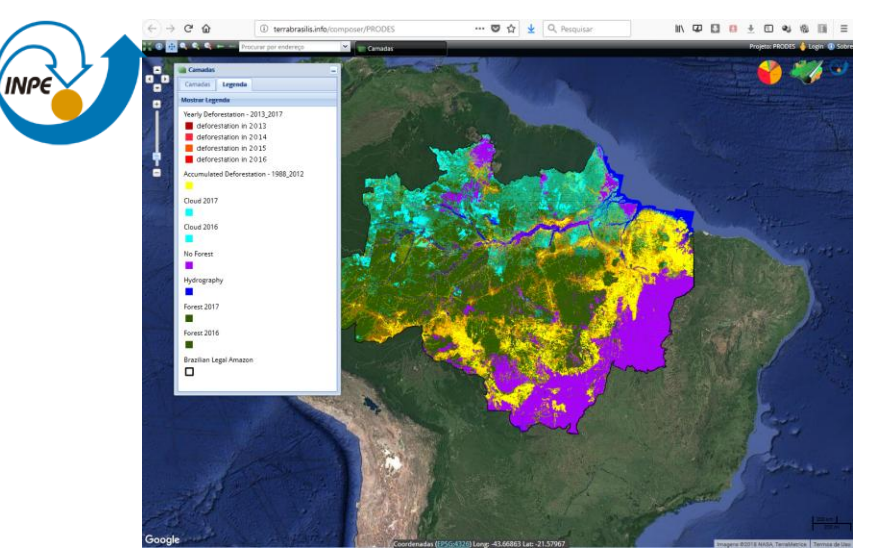




Variáveis/Bases

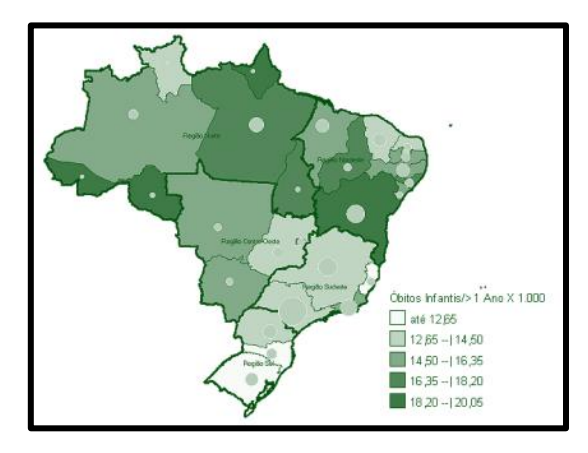














Distribuição Espacial (Imagem Landsat - Classificação)





Mem Inst Oswaldo Cruz, Rio de Janeiro, Vol. 112(11): 760-768, November 2017

Chagas disease ecoepidemiology and environmental changes in northern Minas Gerais state, Brazil

Elisa Neves Vianna^{1/+}, Ricardo José de Paula Souza e Guimarães², Christian Rezende Souza³, David Gorla⁴, Liléia Diotaiuti⁵

¹Universidade de Brasília, Faculdade de Medicina, Departamento de Patologia, Brasília, DF, Brasil

²Instituto Evandro Chagas, Direção Geral, Laboratório de Ceoprocessamento, Ananinideua, PA, Brasil

³Alô Meio Ambiente e Ceoprocessamento Lada, Belo Horizonte, MC, Brasil

⁴Universidad Nacional de Córdoba, Instituto de Altos Estudios Espaciales Mario Gulich, CONICET, Córdoba, Argentina

⁵Fundação Oswaldo Cruz-Fiocruz, Centro de Pesquisas René Rachou, Laboratório de Triatomineos e Epidemiologia da Doença de

Belo Horizonte, MC, Brasil

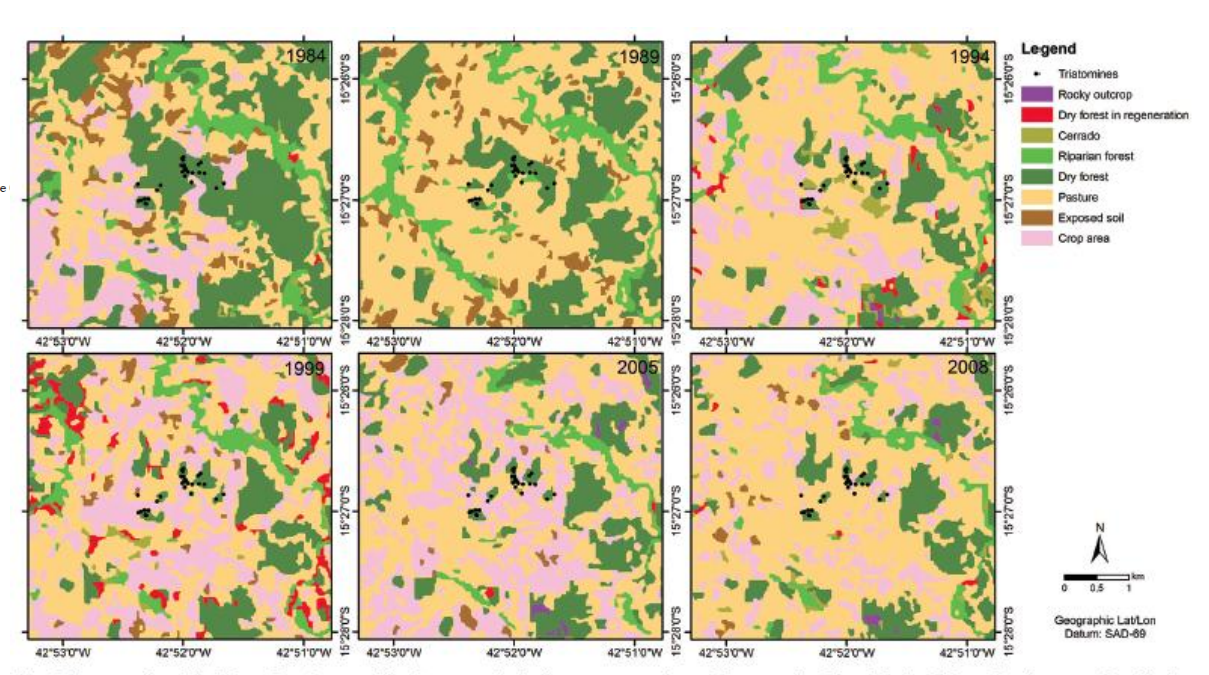


Fig. 2: images classified from Landsat satellite imagery, including retrospectives of Jurema, in Mato Verde, Minas Gerais state, Brazil, that represent land use and land cover and breeding sites of insects collected in 2007/2008. (A) 1984; (B) 1989; (C) 1994; (D) 1999; (E) 2005; (F) 2008. For the matches between colours and classes, see Fig. 3.

Mem Inst Oswaldo Cruz 2017. DOI: 10.1590/0074-02760170061

triatomíneos

Drones

















Google Earth Engine (GEE)

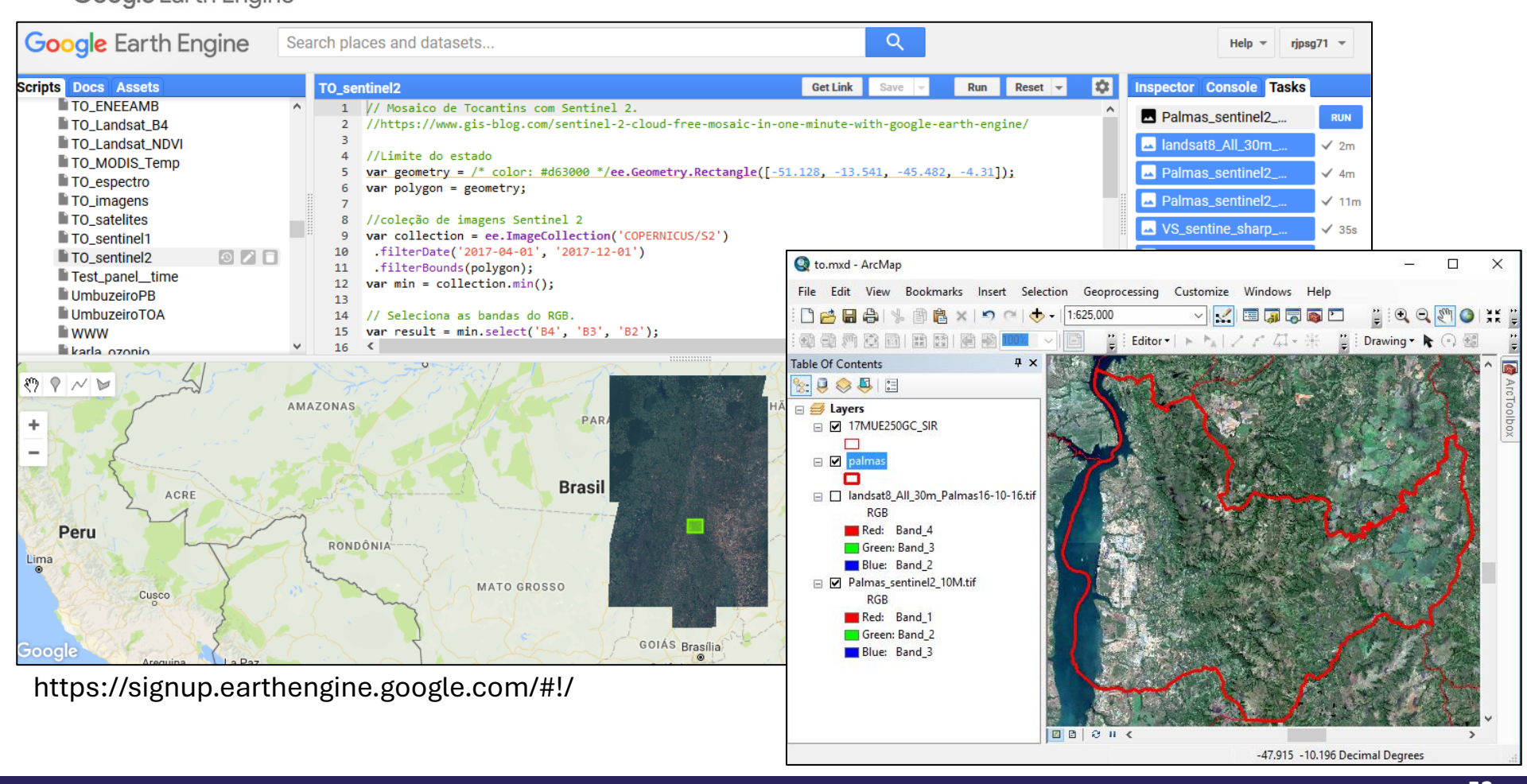


















REVISTA GEONORTE



Artigo de Pesquisa

USO DO GOOGLE EARTH ENGINE PARA DETERMINAÇÃO DE ILHAS DE CALOR NO MUNICÍPIO DE VILHENA/RO

Use of google earth engine to determine heat islands in the municipality of Vilhena / RO

Robson Campos Schulz 1, Laise Santos Azevedo2, Ricardo José de Paula Souza e Guimarães3

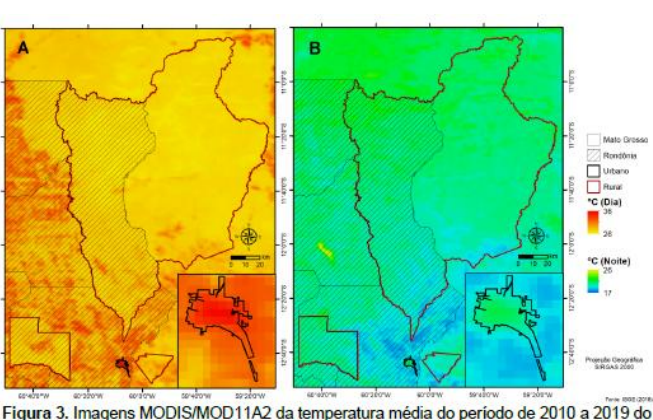


Figura 3. Imagens MODIS/MOD11A2 da temperatura média do período de 2010 a 2019 do dia (A) e noite (B). Fonte: Criado pelo autor.



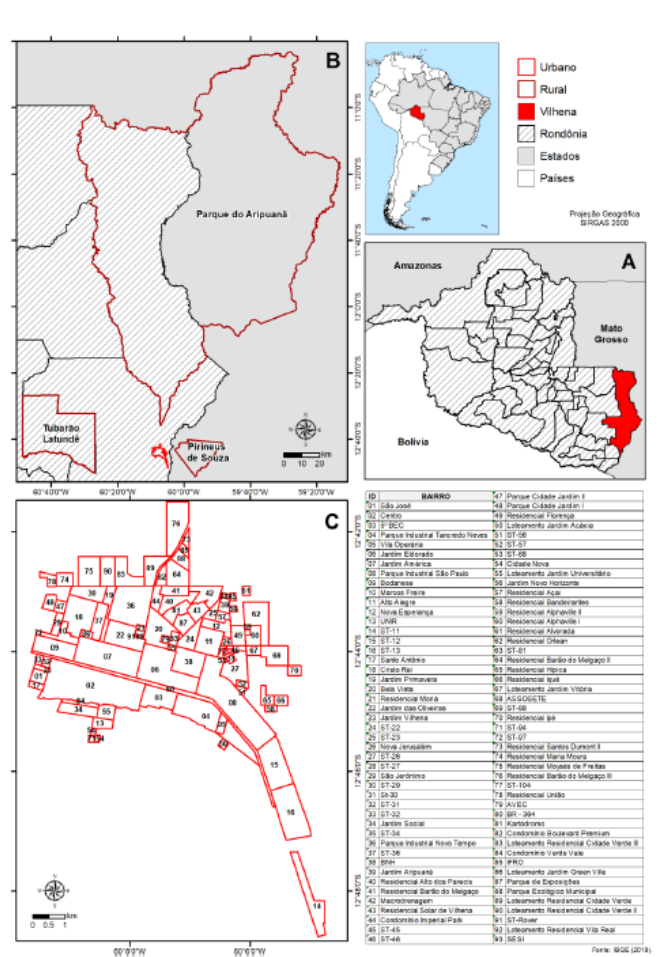


Figura 2. Temperatura média do dia (azul) e noite (vermelho) para cada bairro de Vilhena e Figura 1. Mapa de localização: (A) Rondônia, com destaque para o município de Vilhena; nas áreas indigenas entre os anos de 2010 a 2019. Fonte: Criado pelo autor.

(B) área rural; (C) área urbana. Fonte: Criado pelo autor.

Revista Geonorte 2023.

DOI:10.21170/geonorte.2023.v.14.n.44.203.215

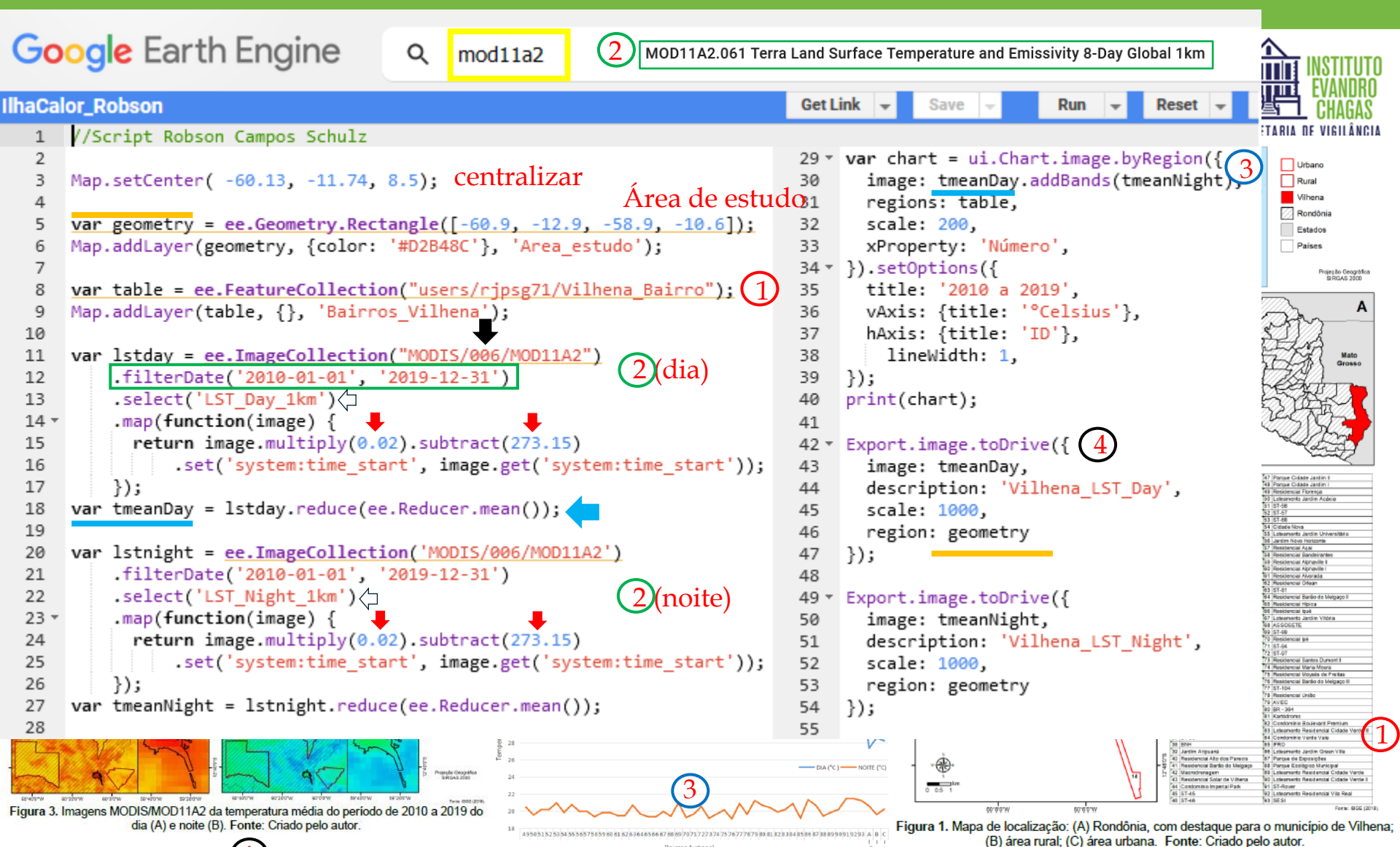


Figura 2. Temperatura média do dia (azul) e noite (vermelho) para cada bairro de Vilhena e nas áreas indigenas entre os anos de 2010 a 2019. Fonte: Criado pelo autor.

2



Scale

0.02

0.02

0

CITATIONS DOIS

Offset

0

0

0.49

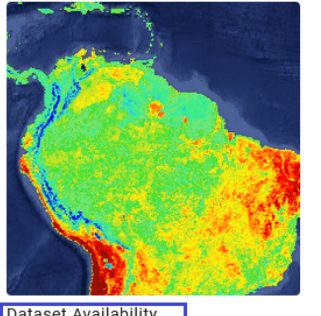
0.49



RASTERS

MOD11A2.061 Tern OpenLandMap Long OpenLandMap Long OpenLandMap Long Oxford MAP LST: M Oxford MAP LST: M MOD11A2.005 Land MOD11A2,006 Terra

MOD11A2.061 Terra Land Surface Temperature and Emissivity 8-Day Global 1km



Dataset Availability 2000-02-18T00:00:00 -

Dataset Provider

NASA LP DAAC at the USGS EROS Center

Collection Snippet I

ee.ImageCollection("MODIS/061 /MOD11A2")

See example

Tags

| 8-day | emissivity | global | Ist |
|----------|-------------|--------|------|
| mod11a | 2 modis | nasa | |
| surface- | temperature | terra | usgs |

BANDS DESCRIPTION TERMS OF USE CITATIONS DOIS

The MOD11A2 V6.1 product provides an average 8-day land surface temperature (LST) in a 1200 x 1200 kilometer grid. Each pixel value in MOD11A2 is a simple average of all the corresponding MOD11A1 LST pixels collected within that 8 day period. The 8 day compositing period was chosen because twice that period is the exact ground track repeat period of the Terra and Aqua platforms. In this product, along with both the day- and nighttime surface temperature bands and their quality indicator (QC) layers, are also MODIS bands 31 and 32 and eight observation layers.

Documentation:

- · User's Guide
- · Algorithm Theoretical Basis Document (ATBD)
- · General Documentation

1000 meters Bands Table Name LST_Day_1km QC_Day LST_Night_1km QC_Night

Ø

Resolution

CLOSE

IMPORT

Bitmask

- Band 31 Emis_31 255 0.002 emissivity Band 32 Emis_32 255 0.002 emissivity Days in clear-sky Clear_sky_days conditions
- Clear_sky_days · Bit 0: Day 1 clear sky flag o 0: Day 1 is not clear-sky
 - o 1: Day 1 is clear-sky

DESCRIPTION

Description

Day land surface

temperature

Daytime LST

Night land

temperature

Nighttime LST

quality indicators

surface

quality indicators

BANDS

Max

65535

65635

Min

7500

7500

TERMS OF USE

Units

- . Bit 1: Day 2 clear sky flag
 - o 0: Day 2 is not clear-sky
 - o 1: Day 2 is clear-sky

GEE

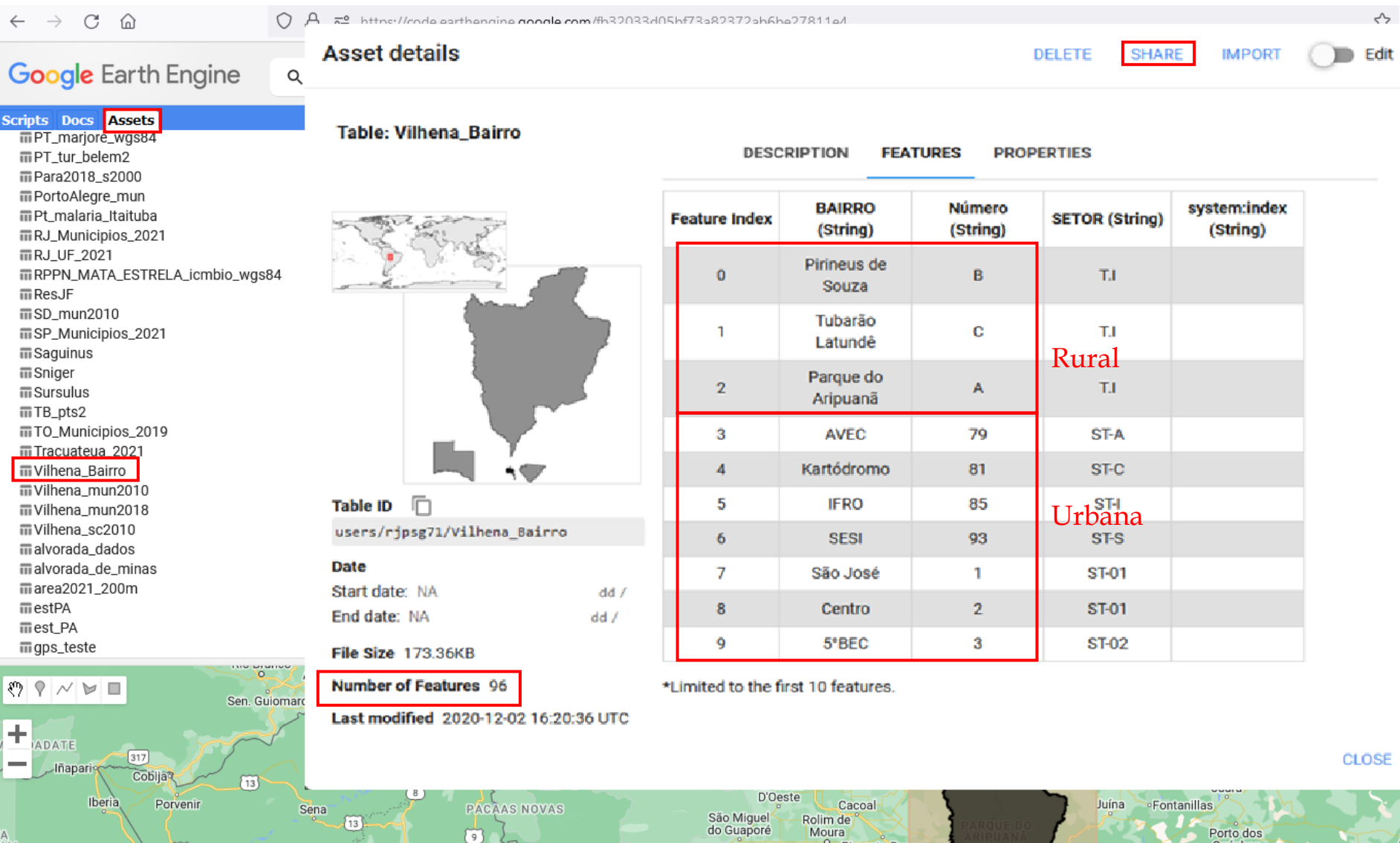




GEE

(16)



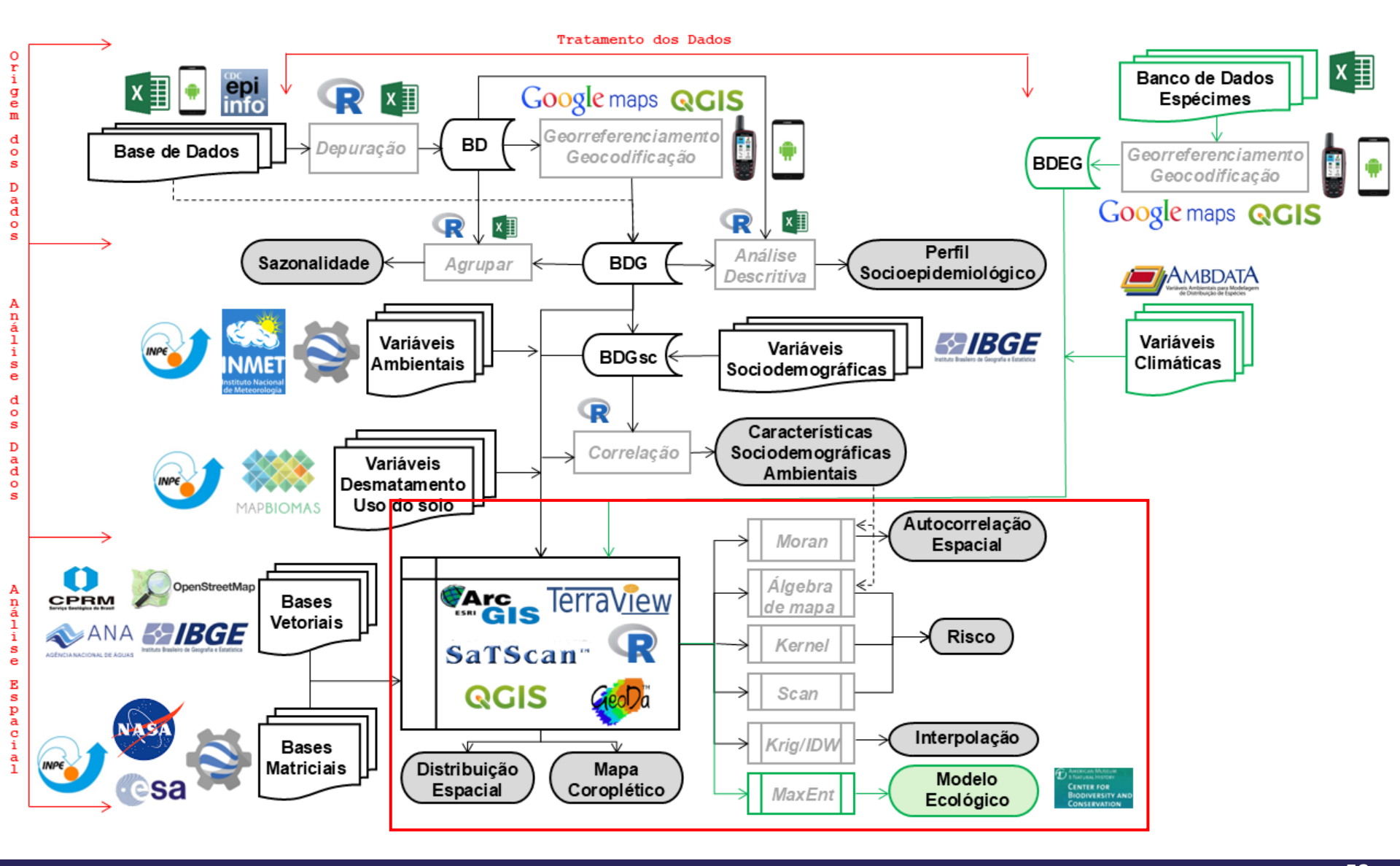


São Francisco do Guaporé Pimenta Bueno

Gaúchos

Analise Espacial/Geoestatística







- * Definição (Kirby et al., 2017)
 - ✓ Epidemiologia espacial refere-se a investigações que usam desenhos de estudos epidemiológicos que envolvem dados/informações espaciais sobre sujeitos de estudo, unidades de saúde ou fontes de exposição.
- * Georreferenciamento/Geocodificação

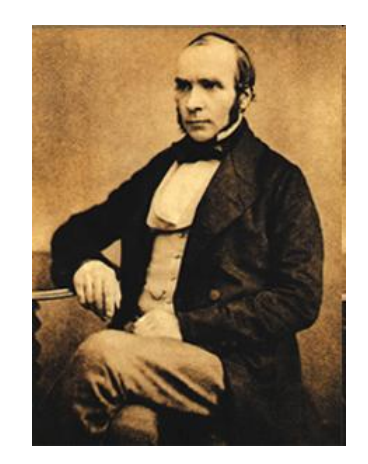
*Sistema de Informação Geográfica (SIG)

- ✓ O SIG tem sido usado em muitas aplicações epidemiológicas, incluindo mapeamento de doenças, suavização de taxas, análise de aglomerados ou pontos quentes, modelagem espacial, etc.
- Linguagem de Programação (R ou Python)
- Análise Espacial (John Snow https://youtu.be/lNjrAXGRda4)
 - √ Mapeamento de doenças;
 - ✓ Estudos de correlação geográfica;
 - ✓ Avaliação de risco em relação a fontes pontuais ou lineares; e
 - ✓ Detecção de agrupamento e agrupamento de doenças.

Analise Espacial

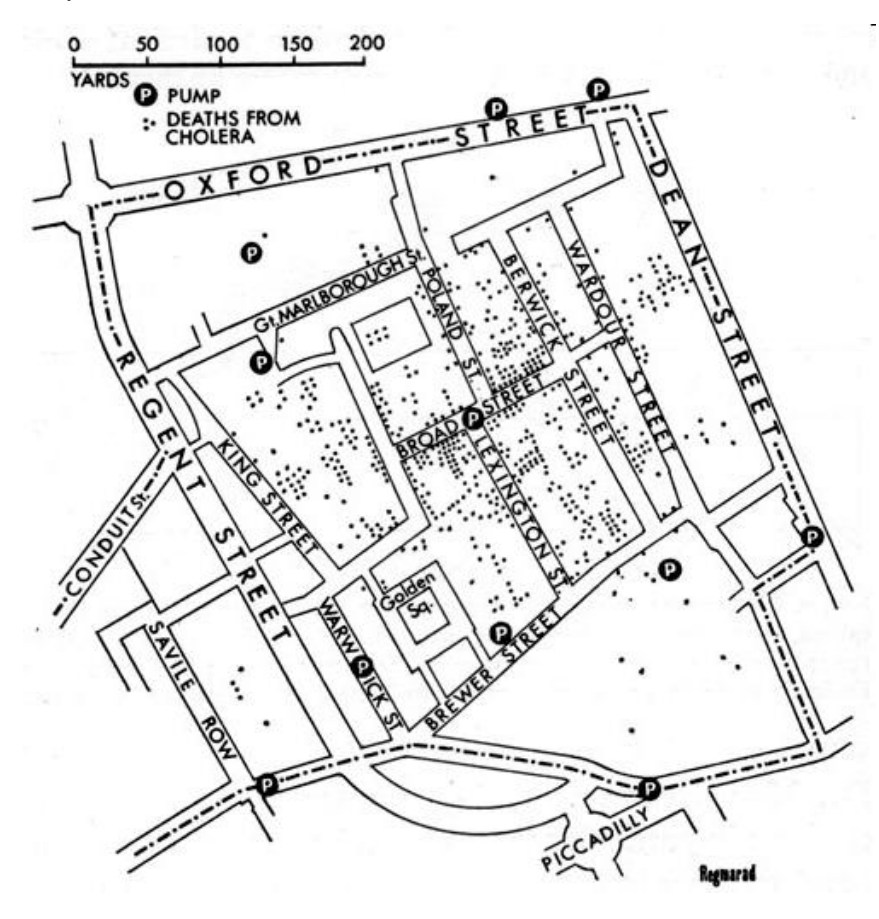


Dr. John Snow (1813 - 1858) em 1854 para situar a fonte causadora de um surto de cólera na zona do Soho em Londres.





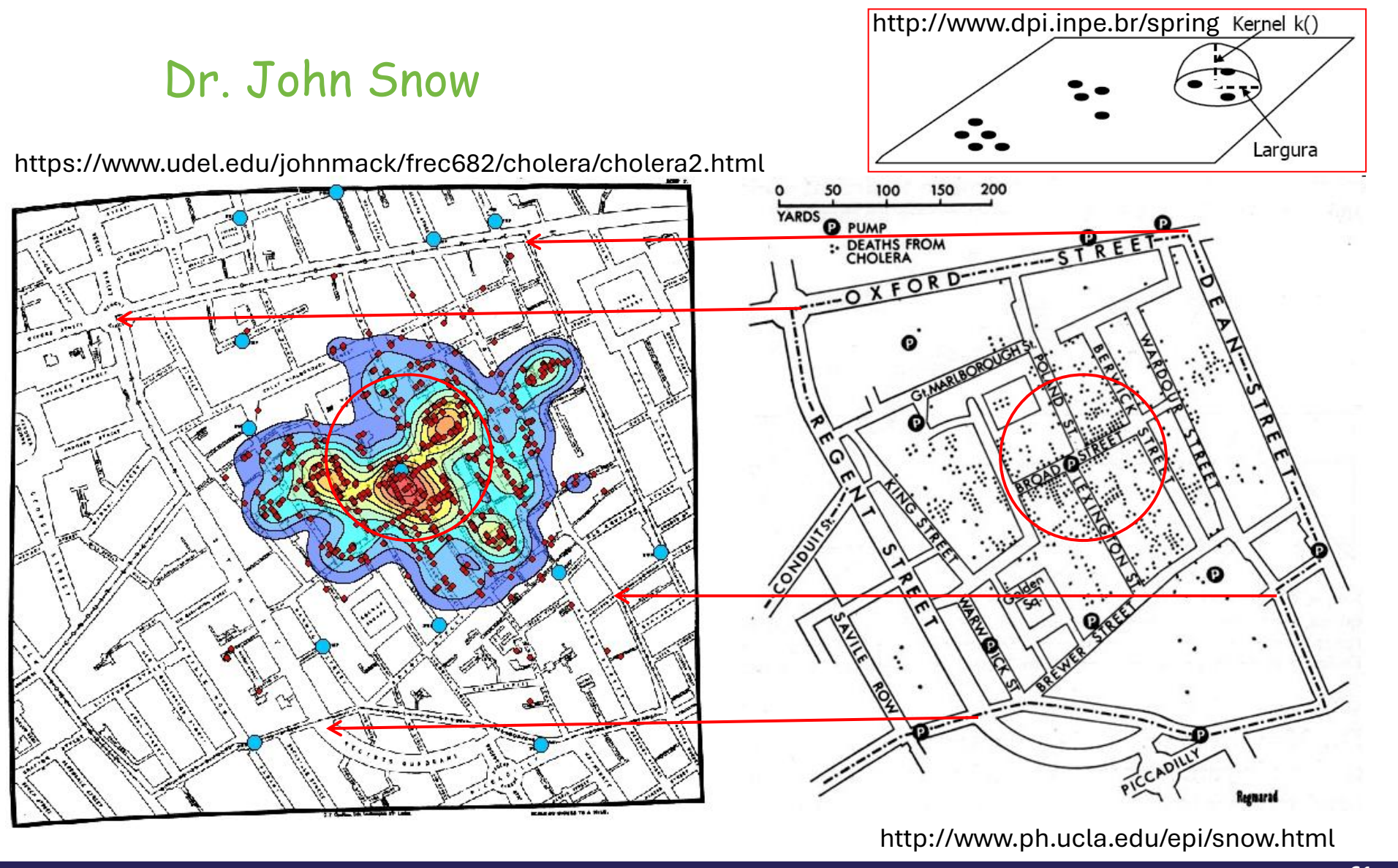




http://www.ph.ucla.edu/epi/snow.html

Analise Espacial





Distribuição Espacial (GNSS)



Acta Tropica 217 (2021) 105858



Contents lists available at ScienceDirect

Acta Tropica

journal homepage: www.elsevier.com/locate/actatropica





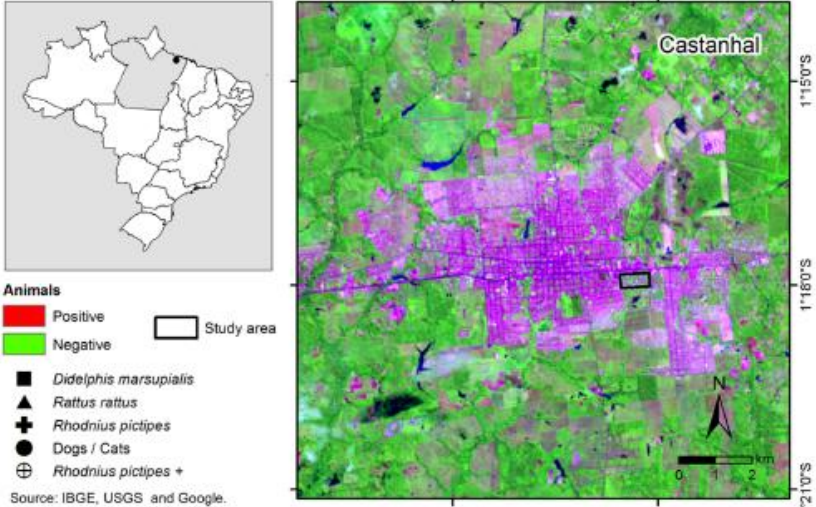
Chagas disease in urban and peri-urban environment in the Amazon: Sentinel hosts, vectors, and the environment

Helyanne de Sousa Pereira ^a, Alessandra Scofield ^a, Pedro Soares Bezerra Júnior ^a, Daniele Lira dos Santos ^a, Julyanne de Sousa Siqueira ^a, Jaeze Farias Chaves ^a, Rosekelly de Jesus Cardoso ^a, Adrielli Heloise dos Anjos Lima ^a, Natalia Maxine Ferreira Pinheiro Sarmento ^a, Francisco Dantas Júnior ^a, Flavia de Nazaré Barros ^a, Diana Maria de Farias ^a, Ricardo José de Paula Souza e Guimarães ^b, Ana Cristina Mendes-Oliveira ^c, Gabriela Riet-Correa ^a, Valiria Duarte Cerqueira ^a, ^{*}

- ^a Universidade Federal do Pará, Instituto de Medicina Veterinária, Avenida dos Universitários, s/n, Bairro Jaderlândia, 68746-360, Castanhal, Pará, Brazil
- b Instituto Evandro Chagas, Laboratóio de Geoprocessamento, Rodovia BR-316 km 7 s/n, Levilândia, 67030000, Ananindeua, PA, Brazil
- Cuniversidade Federal do Pará, Instituto de Ciências Biológicas, Laboratório de Ecologia e Zoología de Vertebrados LABEV, R. Augusto Corrêa, 01 Guamá, 66075-110, Pará, Brazil

Acta Tropica 2021. DOI:10.1016/j.actatropica.2021.105858





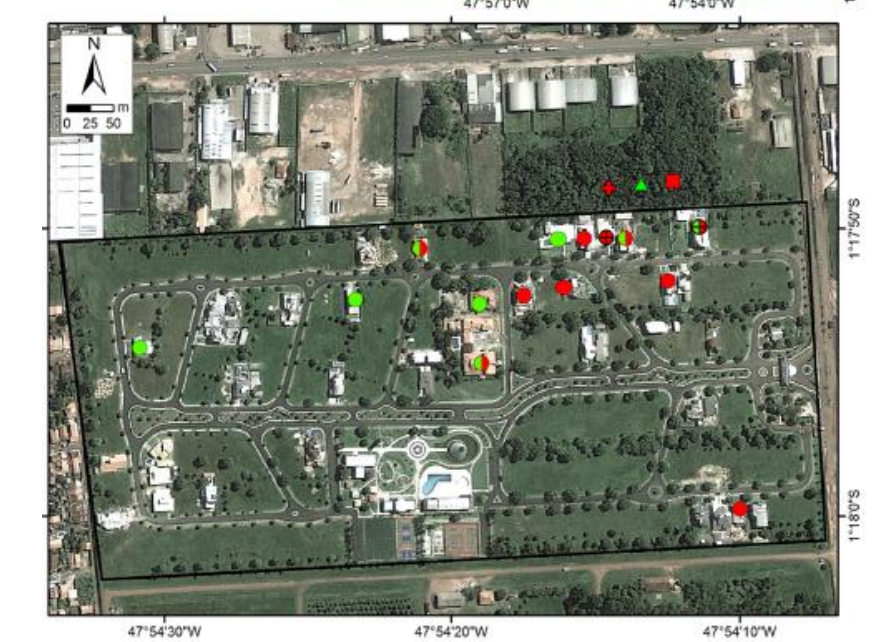


Fig. 4. The spatial location of Castanhal, Pará, Brazil, with highlight to Area 1.

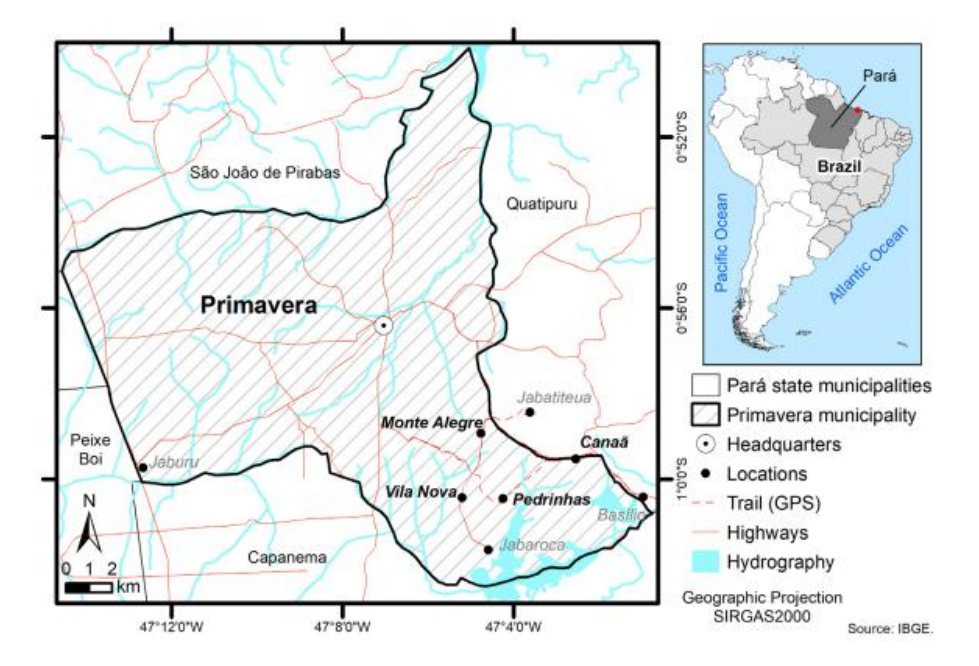
Distribuição Espacial



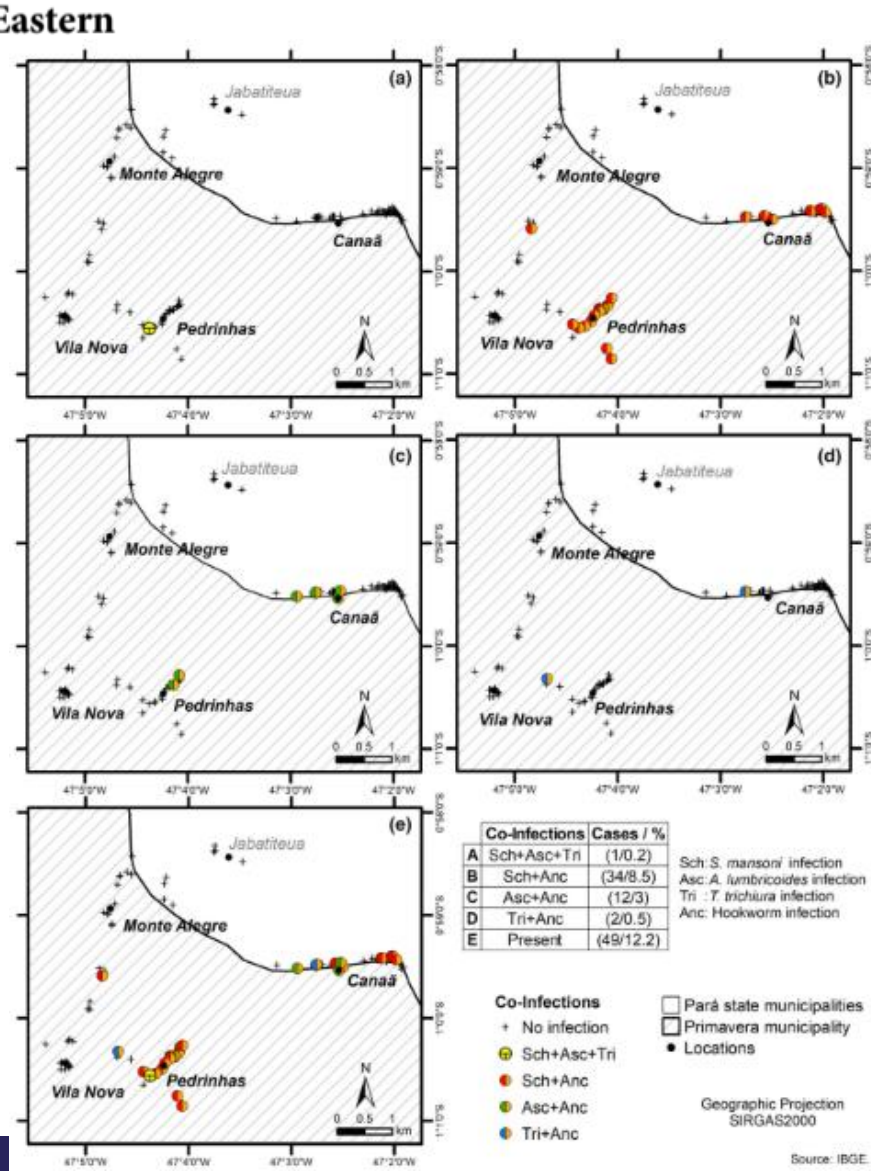


Geospatial analysis and prevalence of *Schistosoma mansoni* and soil-transmitted helminth infections in an endemic area in Eastern

Brazilian Amazon



Trop Med Int Health. 2024. DOI:10.1111/tmi.13993



Distribuição Espacial (Imagem - Sentinel)







RESEARCH ARTICL

Genotyping of *Mycobacterium leprae* for better understanding of leprosy transmission in Fortaleza, Northeastern Brazil

Amanda N. B. Fontes¹, Luana N. G. C. Lima², Rosa M. S. Mota³, Rosa L. F. Almeida⁴, Maria A. Pontes⁵, Heitor de S. Gonçalves⁵, Cristiane C. Frota⁵, Varalakshmi D. Vissa⁷, Patrick J. Brennan⁷, Ricardo J. P. S. Guimaraes⁸, Carl Kendall^{9,10}, Ligia R. F. S. Kerr¹⁰, Philip N. Suffvs^{1,11}*

PLOS Neglected Tropical Diseases | https://doi.org/10.1371/journal.pntd.0006117 December 15, 2017



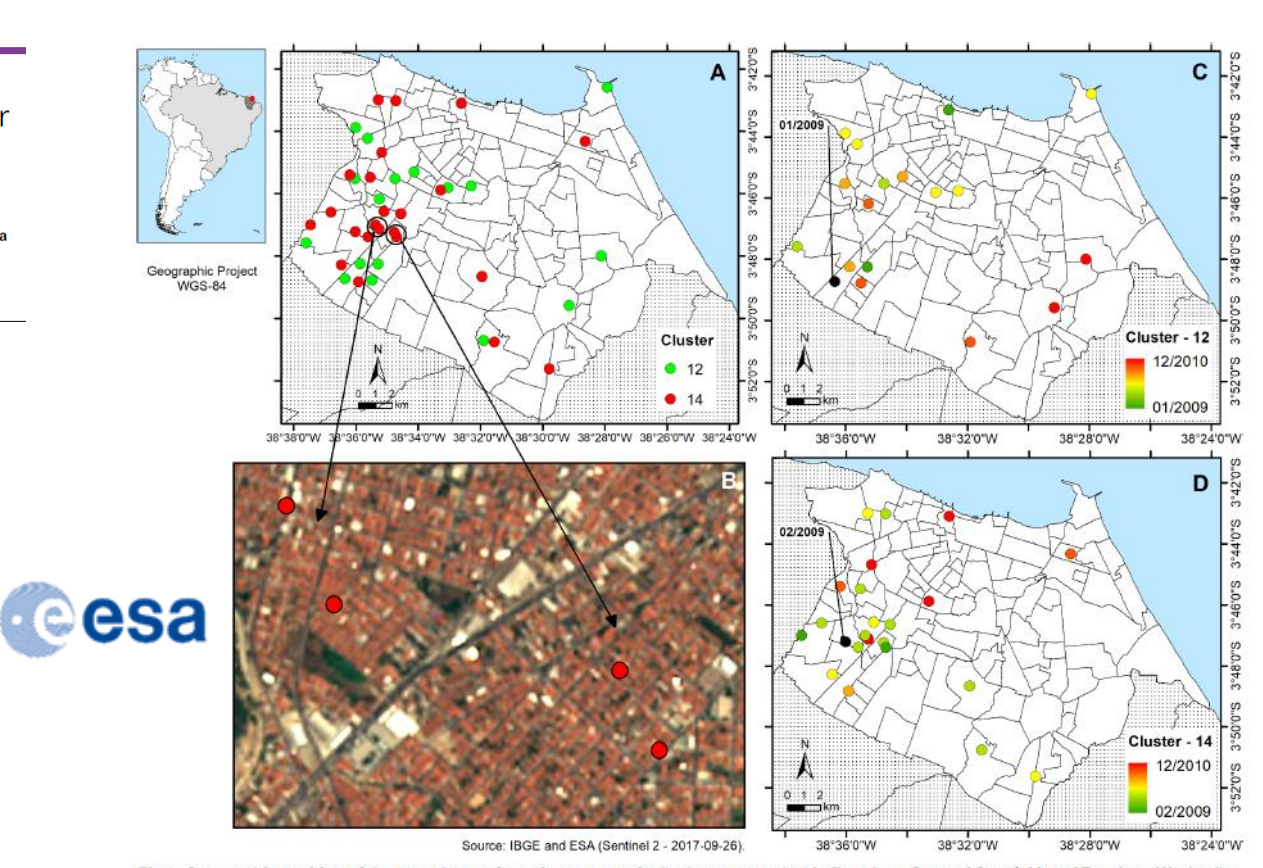


Fig 1. Geographic position of the 19 and 23 patients from respectively cluster 12 and 14 in Fortaleza, State of Ceará. Map of Fortaleza (A), details from the region with two clustered pairs (B), the upper pair is localized in Bonsucesso and the lower in Vila Peri. Space/time distribution of clusters 12 (C) and 14 (D); the highlight in black refers to the first case for each cluster.

PLOS Neglected Tropical Diseases 2017. DOI: 10.1371/journal.pntd.0006117

Distribuição Espacial (Prodes / TerraClass)







RESEARCH ARTICLE

Rotavirus A in wild and domestic animals from areas with environmental degradation in the Brazilian Amazon

Bruno de Cássio Veloso de Barroso, Elaine Nunes Chagaso, Luna Wanessa Bezerra, Laila Graziela Ribeiro, Jose Wandilson Barboza Duarte Júnior, Diego Pereira, Edvaldo Tavares da Penha Junior, Julia Rezende Silva, Delana Andreza Melo Bezerra, Renato Silva Bandeira, Helder Henrique Costa Pinheiro, Sylvia de Fátima dos Santos Guerra, Ricardo José de Paula Souza e Guimarães, Joana D'Arc Pereira Mascarenhas,

1 Evandro Chagas Institute, Ministry of Health, Ananindeua, Pará, Brazil, 2 Amazon Metropolitan University Center, Belém, Pará, Brazil, 3 University of the State of Pará, Belém, Pará, Brazil, 4 Federal University of Pará, Belém, Pará, Brazil.

Plos One2018. DOI: 10.1371/journal.pone.0209005

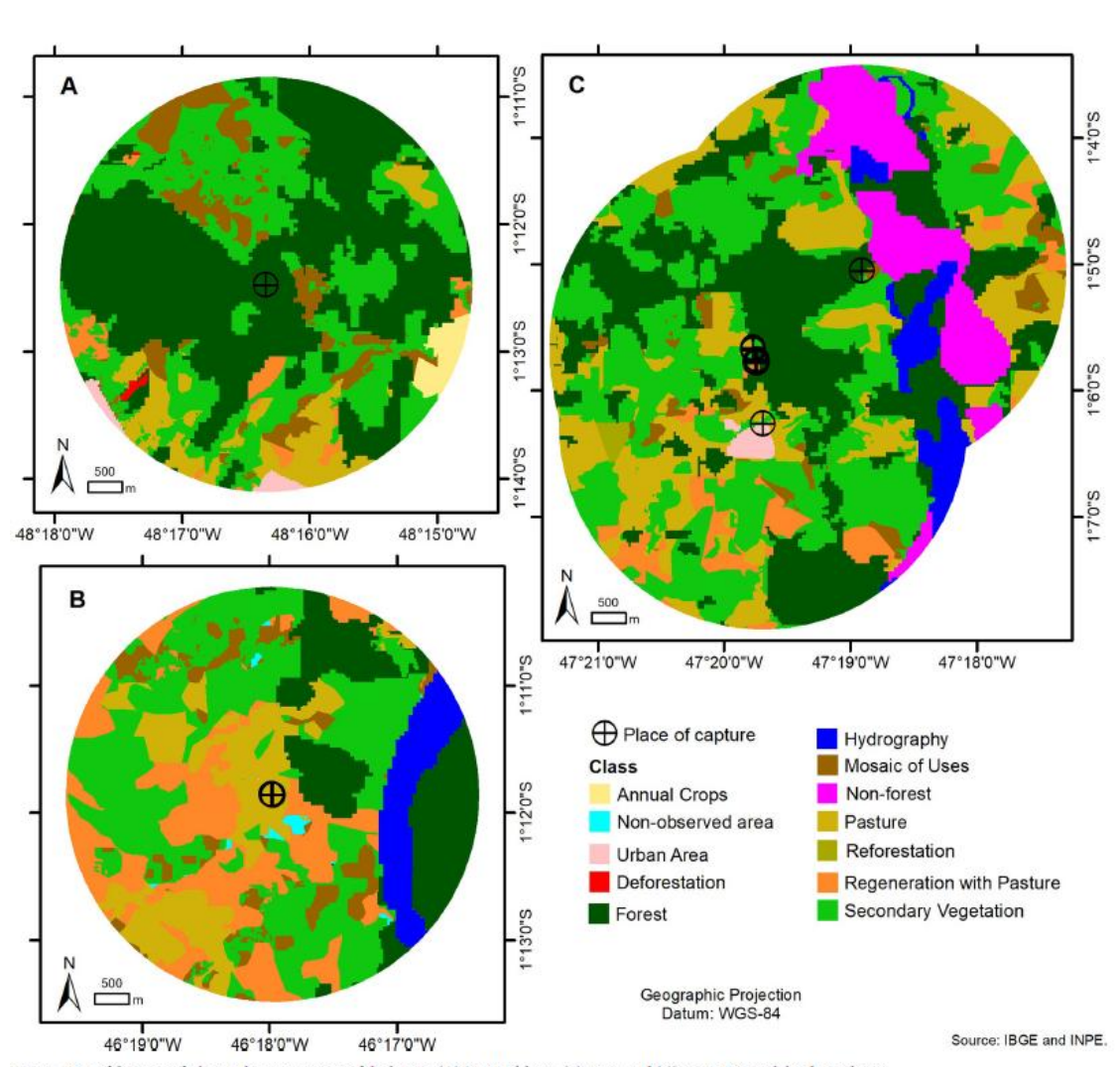


Fig 4. Map of distance of 3 km at the capture sites of the bats in (A) Santa Bárbara, (B) Viseu and (C) Peixe-Boi, with land use classes.

Distribuição Espacial (Imagem - Sentinel)







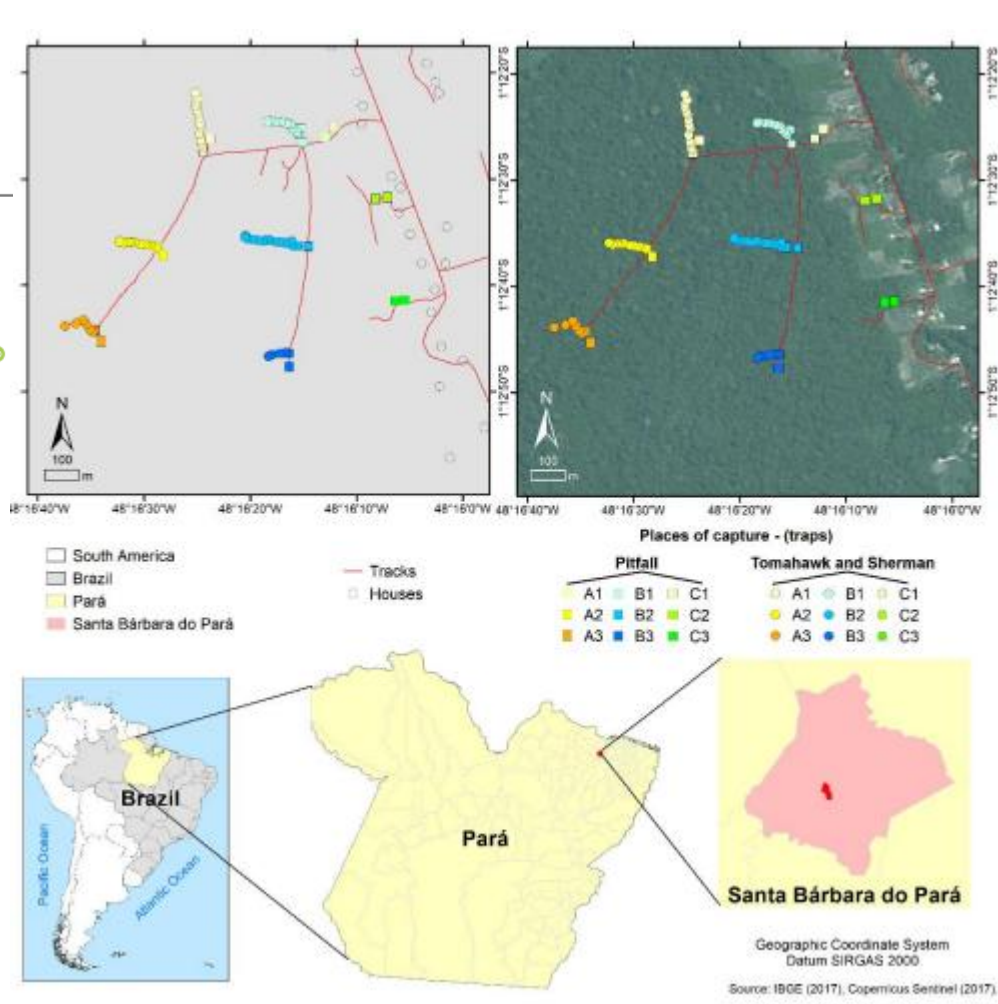
Communication

Novel Rodent Arterivirus Detected in the Brazilian Amazon

Thito Y. Bezerra da Paz ^{1,2}, Leonardo H. Almeida Hernández ², Sandro Patroca da Silva ², Fábio Silva da Silva ^{1,2}, Bruno C. Veloso de Barros ², Livia M. Neves Casseb ², Ricardo J. de Paula Souza e Guimarães ³, Pedro F. da Costa Vasconcelos ^{1,2} and Ana C. Ribeiro Cruz ^{1,2,*}



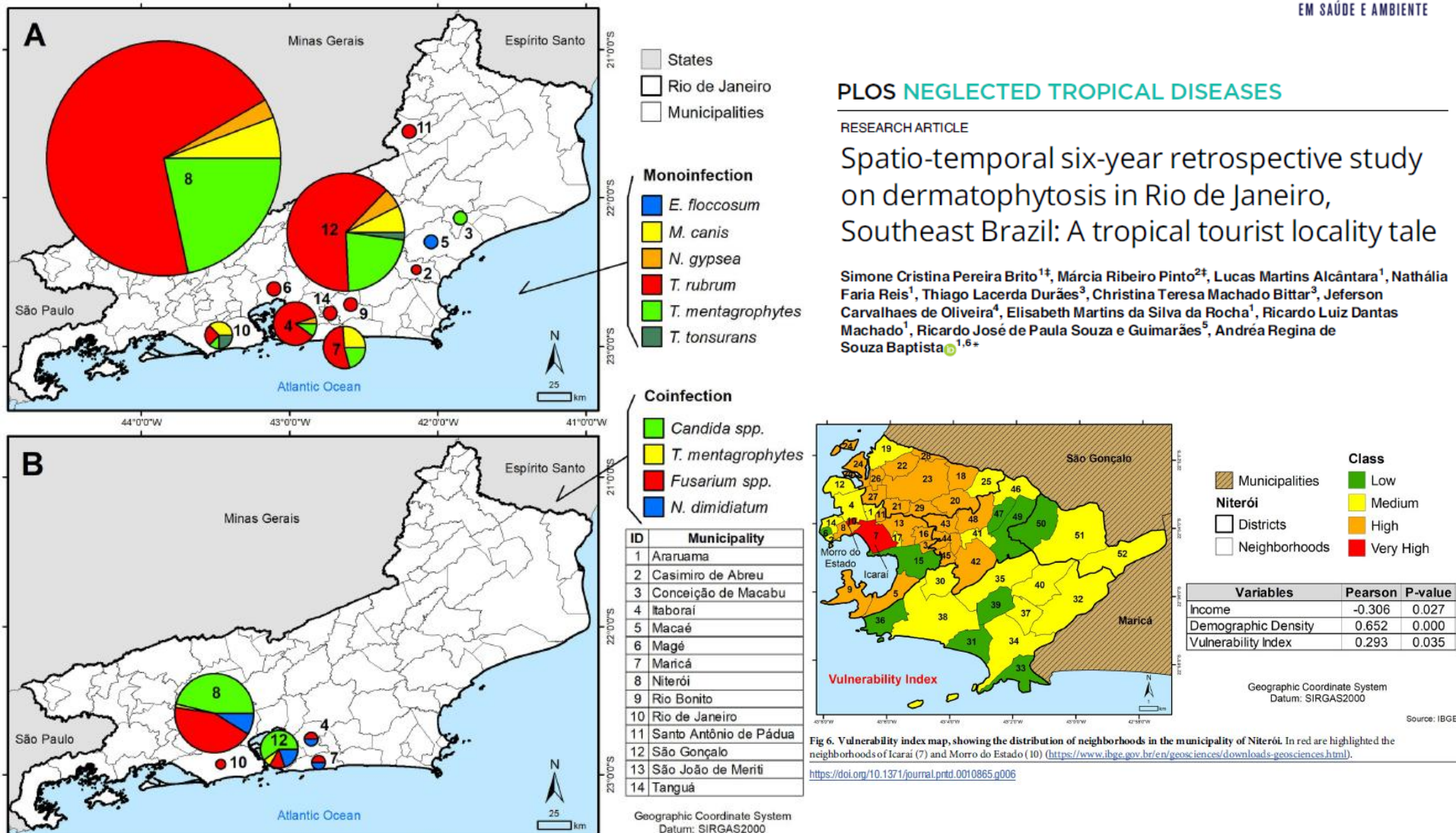
Viruses 2023. DOI:10.3390/v15051150



Distribuição espacial - Mapa Coroplético







Source: IBGE.

Fig 3. Spatial distribution of cases of dermatophytosis as: (A) monoinfection and (B) coinfection in Rio de Janeiro state municipalities (https://www.ibge.gov.br/en/geosciences/downloads-geosciences.html).

42°0'0"W

43°0'0"W

44°0'0"W

Plos NTD 2023.

DOI:10.1371/journal.pntd.0010865

Distribuição Espacial - Mapa Coroplético





TB Genomics research group



Comprehensive genomic surveillance reveals transmission profiles of extensively drug-resistant tuberculosis cases in Pará, Brazil

Davi Josué Marcon^{1,2*†}, Abhinav Sharma^{3†}, Alex Brito Souza^{1,2}, Rafaella Bonfim Barros⁴, Valnete das Graças Dantas Andrade⁴, Ricardo José de Paula Souza Guimarães⁵.

Luana Nepomuceno Gondim Lima^{1,2},

Lúcia Helena Martins Tavares Monteiro⁶,

Ana Judith Pires Garcia Quaresma^{1,2}, Layana Rufino Ribeiro^{2,7}, Philip Noel Suffys⁸, Robin Mark Warren³,

Carlos Augusto Abreu Alberio^{9‡}, Karla Valéria Batista Lima^{1,2*‡} and Emilyn Costa Conceição^{3*‡}

IEC1551 Cluster 1 Cluster 3 MDR-TB Pre-XDR-TB · XDR-TB Others Municipalities

Frontiers in Microbiology 2025. DOI:10.3389/fmicb.2024.1514862

(A) Transmission network prediction with circle internal colors based on clusters and border color representing drug resistance status based on Wholegenome sequencing (WGS). In addition, the figure shows the geographical distribution of 14 patients with Mycobacterium tuberculosis isolates with (B) clustered genomes as defined using MAGMA and of 14 patients with isolates and (C) drug susceptibility profiling for all 39 tuberculosis cases.

Mapa Coroplético (Área de Estudo)





PLOS NEGLECTED TROPICAL DISEASES

RESEARCH ARTICLE

Ocurrence of rotavirus and picobirnavirus in wild and exotic avian from amazon forest

José Wandilson Barboza Duarte Júnior 1, Elaine Hellen Nunes Chagas 1, Ana Carolina Silva Serra 1, Lizandra Caroline dos Santos Souto 1, Edvaldo Tavares da Penha Júnior 1, Renato da Silva Bandeira 1, Ricardo José de Paula Souza e Guimarães 1, Hanna Gabriela da Silva Oliveira 1, Thaymis Kiara Santos Sousa 2, Cinthia Távora de Albuquerque Lopes 2, Sheyla Farhayldes Souza Domingues 2, Helder Henrique Costa Pinheiro 3, Yashpal Singh Malik 4, Felipe Masiero Salvarani 2, Joana D'Arc Pereira Mascarenhas 1

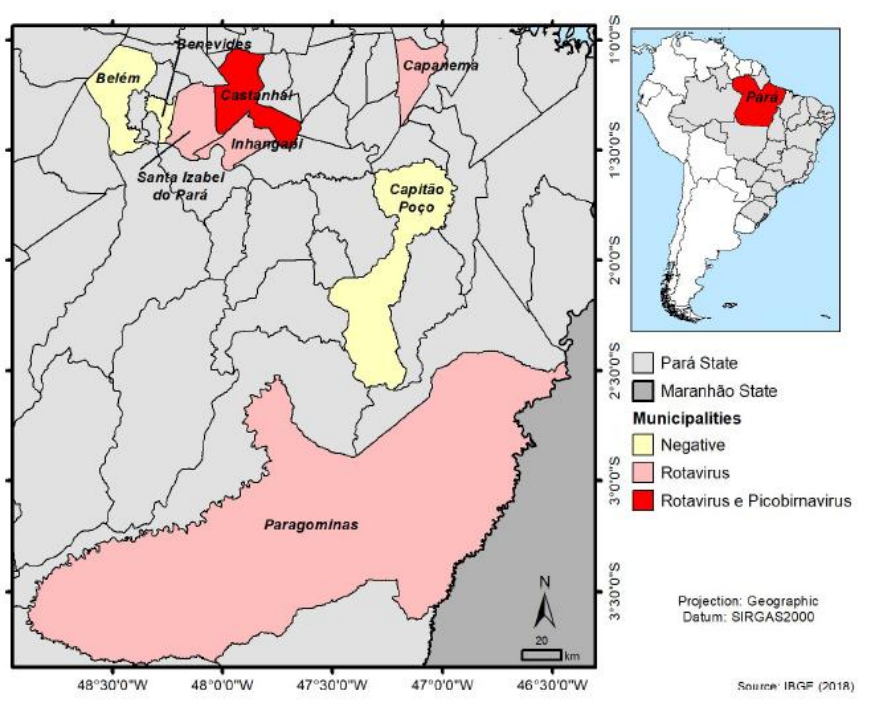


Fig 1. Geographic distribution of positive cases of RV and PBV in wild and exotic birds in the state of Pará. All data were built with public demographic data available on IBGE (Brazilian Institute of Geography and Statistics) with SIRGAS2000 (Geocentric Reference System for the Americas) obtaining coordinates from Pará state, Brazil and It can be found in https://www.ibge.gov.br/geociencias/organizacao-do-territorio/malhas-territoriais/15774-malhas.html? =&t=downloads.

https://doi.org/10.1371/journal.pntd.0008792.g001

Plos NTD 2021. DOI:10.1371/journal.pntd.0008792



REVIEW

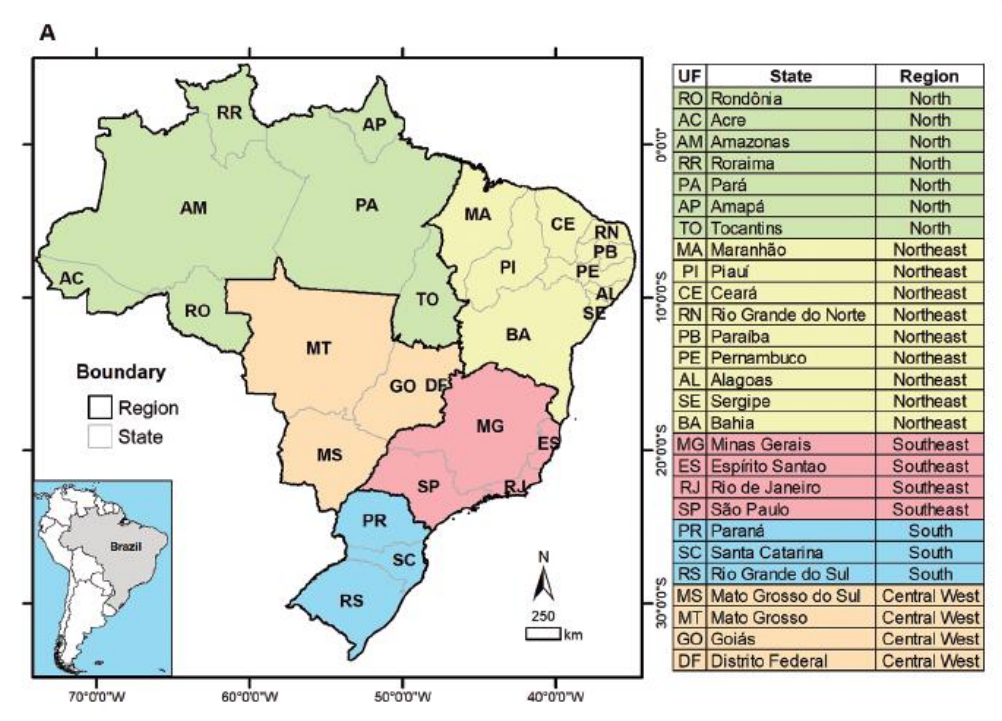
Mem Inst Oswaldo Cruz, Rio de Janeiro, Vol. 116: e200517, 2021

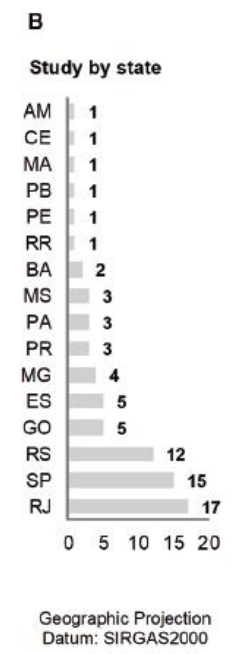
Mapa Coroplético (Gráfico)



Molecular epidemiology of *Mycobacterium tuberculosis* in Brazil before the whole genome sequencing era: a literature review

Emilyn Costa Conceição^{1,2,3}/+, Richard Steiner Salvato^{4,5}, Karen Machado Gomes⁶, Arthur Emil dos Santos Guimarães^{7,8}, Marília Lima da Conceição^{7,8}, Ricardo José de Paula Souza e Guimarães⁹, Abhinav Sharma¹⁰, Ismari Perini Furlaneto⁸, Regina Bones Barcellos⁵, Valdes Roberto Bollela¹¹, Lívia Maria Pala Anselmo¹¹, Maria Carolina Sisco^{3,12}, Cristina Viana Niero¹³, Lucilaine Ferrazoli¹⁴, Guislaine Refrégier¹⁵, Maria Cristina da Silva Lourenço², Harrison Magdinier Gomes³, Artemir Coelho de Brito¹⁶, Marcos Catanho¹⁷, Rafael Silva Duarte¹², Philip Noel Suffys³, Karla Valéria Batista Lima^{7,8}





Source: IBGE (2018)

Mem Inst Oswaldo Cruz 2021. DOI: 10.1590/0074-0276020517

Fig. 3: studies distribution based on genotyping by restriction fragment length polymorphism (RFLP-IS6110) and mycobacterial interspersed repetitive unit-variable variable number tandem repeat (MIRU-VNTR) in Brazil. (A) Spatial localisation; (B) number of studies by states.

Mapa Coroplético (Histórico)



PLOS ONE

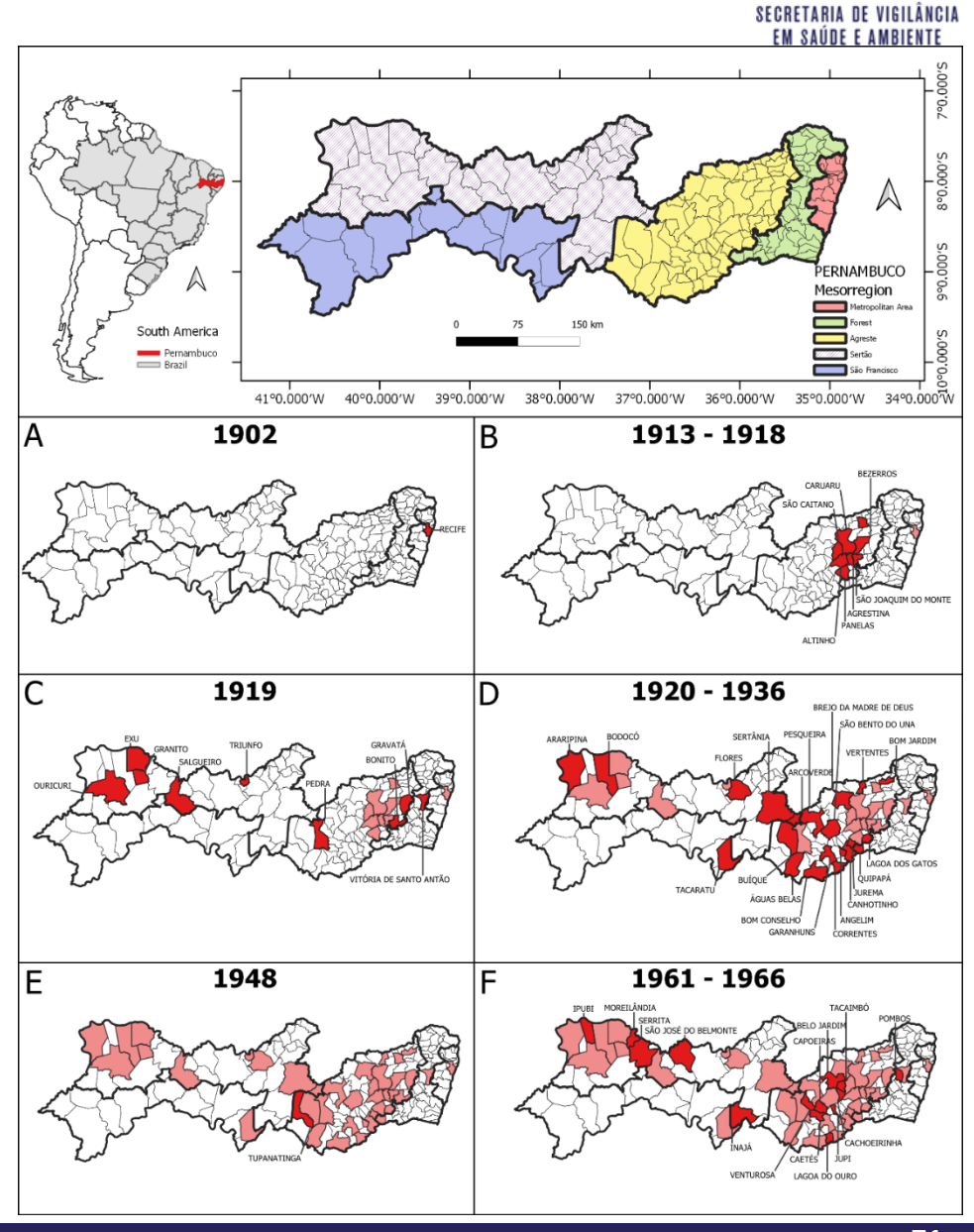
RESEARCH ARTICLE

Spatiotemporal analysis of bubonic plague in Pernambuco, northeast of Brazil: Case study in the municipality of Exu

Diego Leandro Reis da Silva Fernandes¹®, Elainne Christine de Souza Gomes²®, Matheus Filgueira Bezerra⊚¹, Ricardo José de Paula Souza e Guimarães⊚³‡, Alzira Maria Paiva de Almeida⊚¹‡ *

- 1 Department of Microbiology, Institute Aggeu Magalhães-Fiocruz PE, Recife, Pernambuco, Brazil,
- 2 Department of Parasitology, Institute Aggeu Magalhães-Fiocruz PE, Recife, Pernambuco, Brazil,
- 3 Geoprocessing Laboratory, Evandro Chagas Institute/SVS/MS, Brazil
- These authors contributed equally to this work.
- ‡ RJPSG and AMPA also contributed equally to this work.
- * aalmeida@cpqam.fiocruz.br

Plos One 2021. DOI:10.1371/journal.pone.0249464



GEE







ORIGINAL RESEARCH published: 06 August 2021 doi: 10.3389/fmed.2021.642348

Identification of Risk Areas for Intestinal Schistosomiasis, Based on Malacological and Environmental Data and on Reported Human Cases

Paulo R. S. Coelho 1*, Fabrício T. O. Ker 1, Amanda D. Araújo 2, Ricardo. J. P. S. Guimarães 3, Deborah A. Negrão-Corrêa 1, Roberta L. Caldeira 2 and Stefan M. Geiger 1*

 Department for Parasitology, Federal University of Minas Gerais, Belo Horizonte, Brazil,
 Oswaldo Cruz Foundation (Fiocruz), Research Group on Helminthology and Medical Malacology, René Rachou Institute, Belo Horizonte, Brazil,
 Secretaria de Vigilância em Saúde, Instituto Evandro Chagas, Ananindeua, Brazil

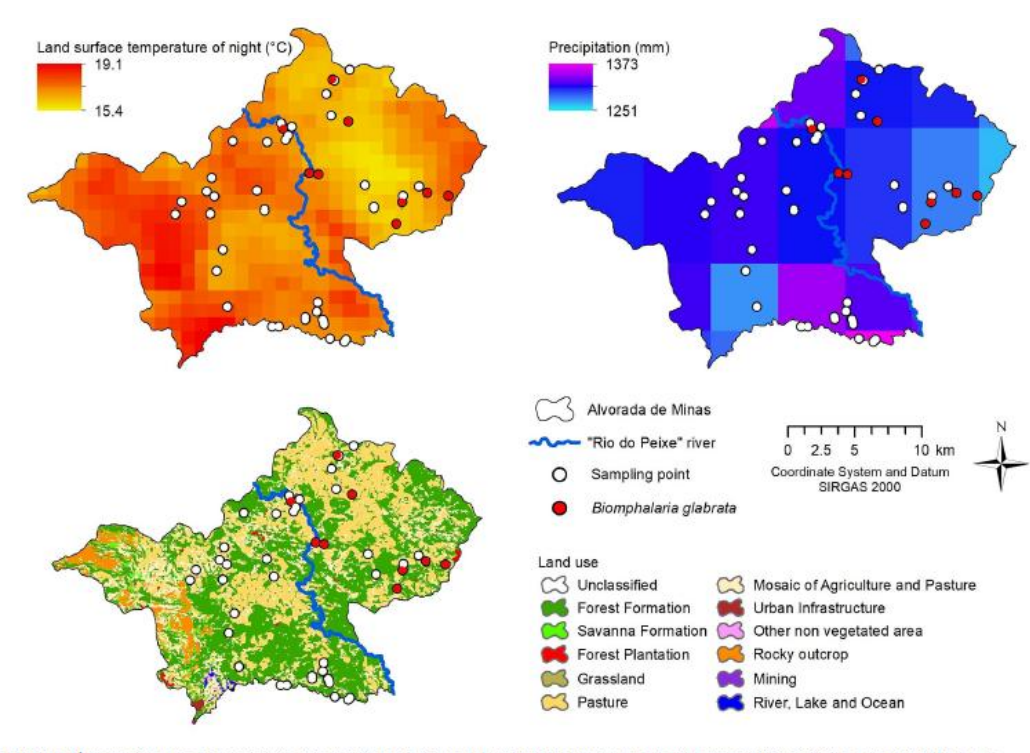


FIGURE 3 | Correlation map of Biomphalaria glabrata with precipitation and land surface temperature at night, using 2018–2019 GEE data and land use map, municipality of Alvorada de Minas, Minas Gerais, Brazil.

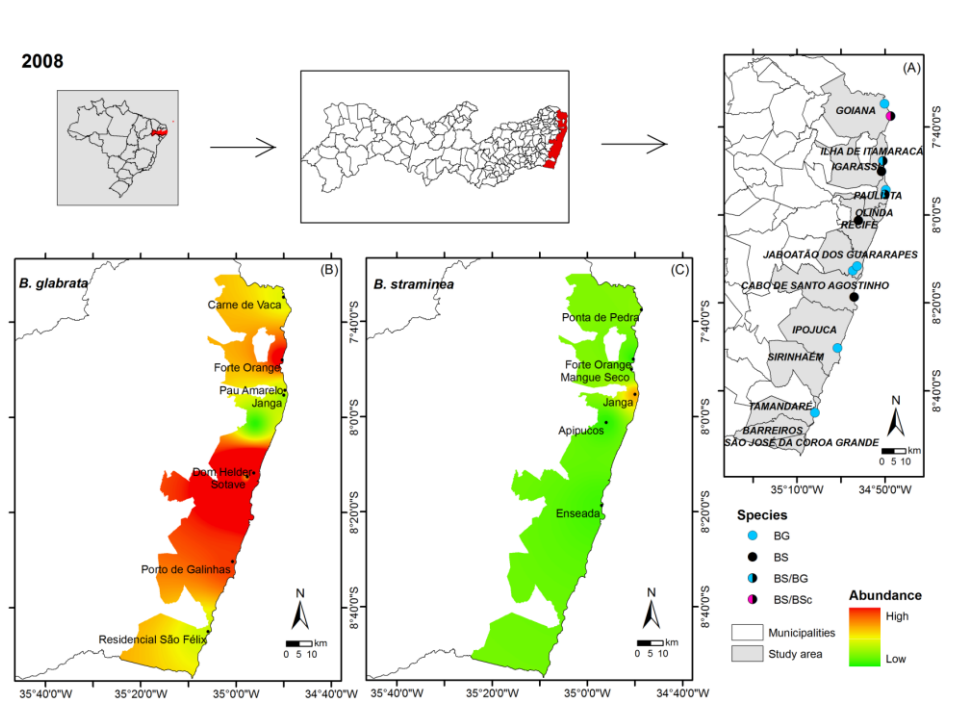
Frontiers in Medicine 2021. DOI:10.3389/fmed.2021.642348

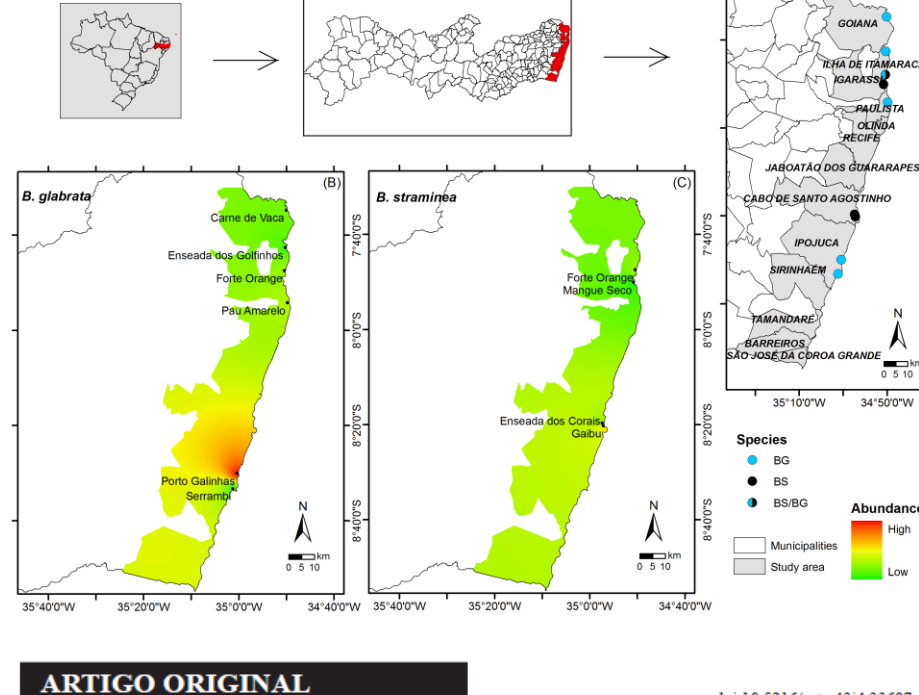
Interpolação (IDW)



2013







Vetorial (ponto) -> Raster (grade regular) "numérica"

Constança Simões Barbosa¹, Reinaldo Souza Santos², Elainne Souza Gomes³, Karina Araujo⁴, Jones Albuquerque⁵, Fabio Melo¹, Manoel Amarista Sevilha¹, Diogo Brasileiro¹, Mariana I. Barreto¹, Onicio Batista Leal Neto¹, Veronica Barbosa¹, Wheverton Correia¹e Ricardo J. P. S. Guimarães⁶

EPIDEMIOLOGIA DA ESQUISTOSSOMOSE

NO LITORAL DE PERNAMBUCO

Rev Patol Trop 2014. DOI:10.5216/rpt.v43i4.33607 doi:10.5216/rpt.v43i4.33607

Interpolação (Krigagem)







Contents lists available at ScienceDirect

Acta Tropica





Spatial distribution of Biomphalaria mollusks at São Francisco River Basin, Minas Gerais, Brazil, using geostatistical procedures

Ricardo J.P.S. Guimarães ^{a,b}, Corina C. Freitas ^c, Luciano V. Dutra ^c, Carlos A. Felgueiras ^c, Ana C.M. Moura^d, Ronaldo S. Amaral^e, Sandra C. Drummond^f, Ronaldo G.C. Scholte^{a,b}, Guilherme Oliveira a,b, Omar S. Carvalho a,*

- a Centro de Pesquisas René Rachou/FIOCRUZ-MG, Av. Augusto de Lima, 1715, Barro Preto, CEP 30190-002, Belo Horizonte-MG, Brazil
- b Programa de Pós-Graduação da Santa Casa de Misericordia de Belo Horizonte/MG, Av. Francisco Sales, 1111, Santa Efigênia, CEP 30150-221, Belo Horizonte-MG, Brazil
- Elnstituto Nacional de Pesquisas Espaciais/INPE, Av. dos Astronautas, 1758, Id. Grania, CEP 12227-010, São José dos Campos-SP, Brazil
- d Universidade Federal de Minas Gerais/UFMG, Av. Antônio Carlos, 6627, Pampulha, CEP 31270-901, Belo Horizonte-MG, Brazil
- ^e Secretaria de Vigilância em Saúde/MS, Setor Hoteleiro Sul, Q-06, Conjunto A, Bl.C, sala 711, CEP 70 322-915, Brasília-DF, Brazil [†] Secretaria de Estado de Saúde de Minas Gerais, Av. Afonso Pena, 2300, Funcionários, CEP 30130-007, Belo Horizonte-MG, Brazil

Vetorial (ponto) -> Raster (grade regular) "categórica"

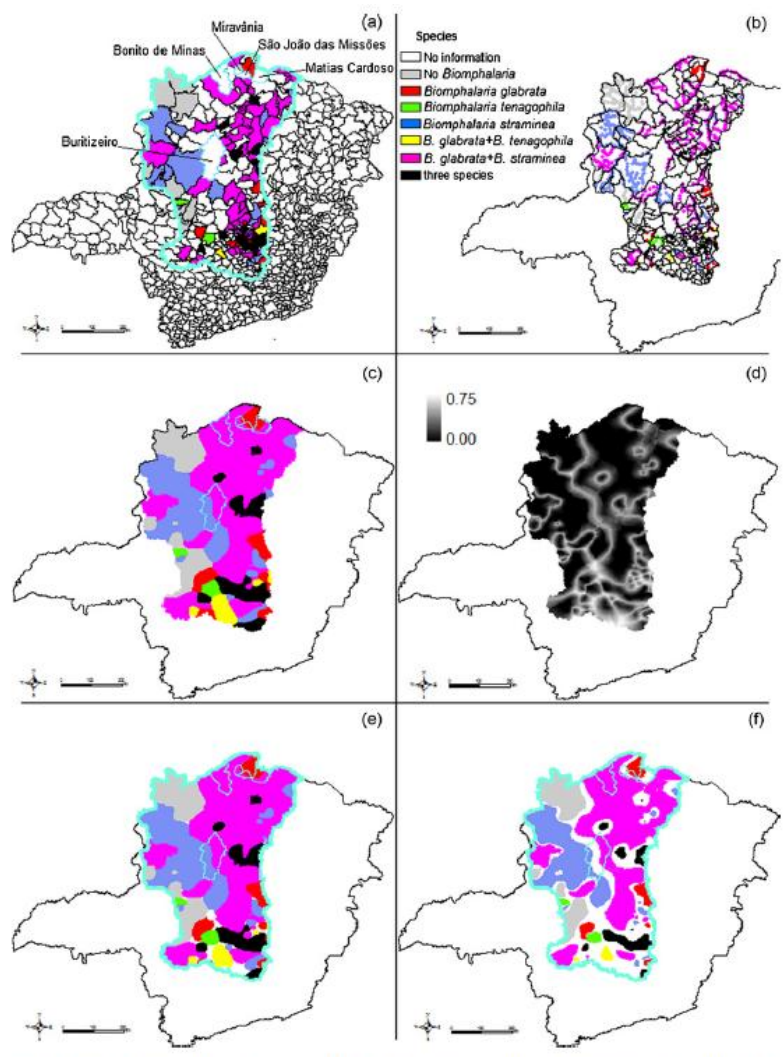
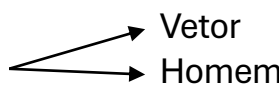


Fig. 1. Spatial distribution of the Biomphalaria genus at the São Franscisco River Basin: No information [white], without Biomphalaria [gray], B. glabrata [red], B. tenagophila [green], B. straminea [blue], B. glabrata + B. tenagophila [yellow], B. glabrata + B. straminea [magenta] and, B. glabrata + B. tenagophila + B. straminea [black]. (a) Biomphalaria sample distribution in the municipalities and highlighted municipalities used in the sampling procedure [Bonito de Minas, Buritizeiro, Matias Cardoso, Miravânia and, São loão das Missões]; (b) Btomphalarta sample distribution at the São Francisco River Basin; (c) estimated Btomphalarta species distribution with a maximum level of uncertainties of <0.75 on the São Francisco River Basin; (d) uncertainties associated with the classification; (e, f) estimated Btomphalarla species distribution with a maximum level of uncertainties of ≤0.50 (e) and ≤0.25 (f). (For interpretation of the references to color in this figure legend, the reader is referred to the web version of the article.)

Acta Tropica 2009. DOI:10.1016/j.actatropica.2008.10.012

Mapa de Distância Vetor Homem









Rev Saude Publica, 2017:51:107

Original Article



The Geographic Information System applied to study schistosomiasis in Pernambuco

Verônica Santos Barbosa^{I,III}, Rodrigo Moraes Loyo^I, Ricardo José de Paula Souza e Guimarães^{II}, Constança Simões Barbosal

- Fundação Oswaldo Cruz. Instituto Aggeu Magalhães. Recife, PE, Brasil
- Ministério da Saúde. Secretaria de Vigilância à Saúde. Instituto Evandro Chagas. Ananindeua, PA, Brasil Instituto Aggeu Magalhães. Departamento de Saúde Coletiva. Programa de Pós-Graduação em Saúde Coletiva.

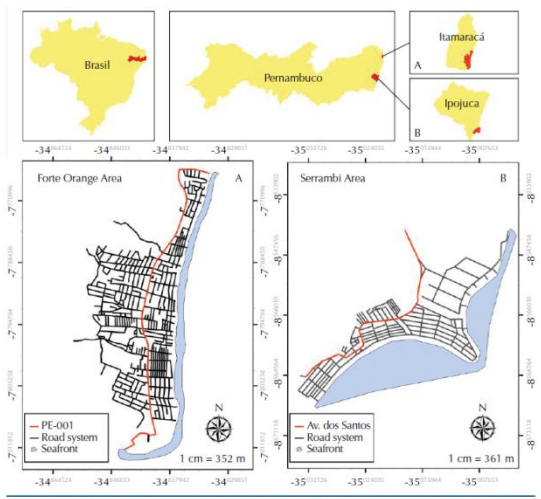
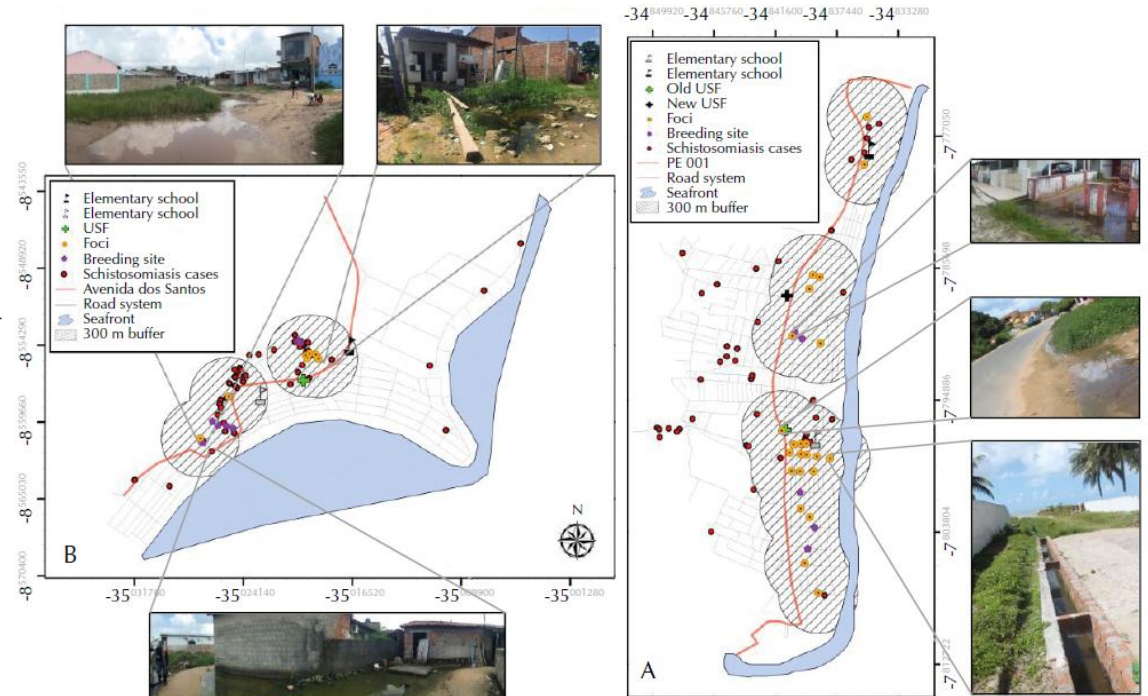


Figure 1. Spatial location of coastal localities: A - Forte Orange (Itamaracá) and B - Serrambi



USF: Local Health Center

Figure 4. Proximal analysis of the schistosomiasis cases and intermediate host snails breeding sites and foci in relation to the main reference points of the locality A - Forte Orange (Itamaracá Island) and B -Serrambi (Ipojuca), State of Pernambuco.

RSP 2017.

DOI:10.11606/S1518-8787.2017051000069





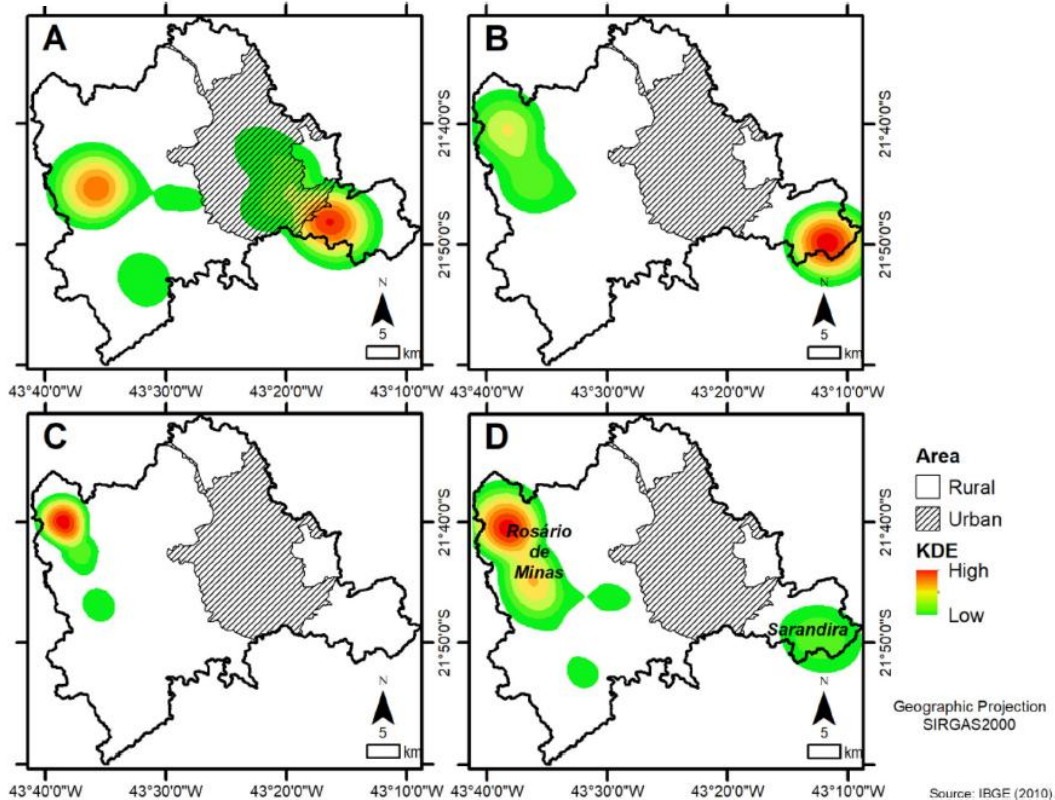
Trans R Soc Trop Med Hyg 2020; **0**: 1–8 doi:10.1093/trstmh/traa153 Advance Access publication 0 2020

Rural residence remains a risk factor for *Toxoplasma* infection among pregnant women in a highly urbanized Brazilian area: a robust cross-sectional study

Luciana Maria Ribeiro Antinarelli (10 a.b., Márcio Roberto Silva^c, Ricardo José de Paula Sousa e Guimarães^d, Mariana Sequetto Terror^e, Patrícia Enham Lima^b, Joelma de Souza Coimbra Ishii^b, Patrícia Fabiano Muniz^b, and Elaine Soares Coimbra^{e,*}







Trans R Soc Trop Med Hyg 2020. DOI: 10.1093/trstmh/traa153

Figure 3. KDE applied in regions and localities of Juiz de Fora, Minas Gerais, Brazil. The identification of clusters of *Toxoplasma* infection per year and in the total period of study was obtained using KDE. Letters represent study years: (A) 2015, (B) 2016, (C) 2017 and (D) all years.

Kernel (EDK) / Scan





Malaria Case

Brazilian states

City (Pará state)

City (Brazil)

Itatituba city

Control

SaTScan





Socio-Epidemiological Features and Spatial Distribution of Malaria in an Area under Mining Activity in the Brazilian **Amazon Region**

Thalyta Mariany Rêgo Lopes Ueno 1,* D, Luana Nepomuceno Gondim Costa Lima 1,2,3, Daniele Melo Sardinha 2,30, Yan Corrêa Rodrigues 1,20, Herberto Ueno Seelig de Souza 4, Paula Ribeiro Teixeira 5, Ricardo José de Paula Souza e Guimarães 3,60, Karla Valéria Batista Lima 1,2 and Ana Maria Revorêdo da Silva Ventura 1,7

- Programa de Pós-Graduação em Biologia Parasitária na Amazônia (PPGBPA), Instituto Evandro Chagas (IEC), Universidade do Estado do Pará (UEPA), Belém 66087-662, Brazil; luanalima@iec.gov.br (L.N.G.C.L.); yan.13@hotmail.com (Y.C.R.); karlalima@iec.gov.br (K.V.B.L.); ana_mariaventura@hotmail.com (A.M.R.d.S.V.)
- Seção de Bacteriologia e Micologia (SABMI), Instituto Evandro Chagas (IEC), Ananindeua 67030-000, Brazil; danielle-vianna20@hotmail.com
- ³ Programa de Pós-Graduação em Epidemiologia e Vigilância em Saúde (PPGEVS), Instituto Evandro Chagas (IEC), Ananindeua 67030-000, Brazil; ricardoguimaraes@iec.gov.br
- Programa de Pós-Graduação em Ciências Florestais (PPGCF), Universidade Federal Rural da Amazônia (UFRA), Belém 66077-830, Brazil; uenoambiental@gmail.com
- Discente do Curso de Licenciatura em Ciências Biológicas, Instituto de Educação, Ciência e Tecnologia do, Pará (IFPA), Itaituba 68183-300, Brazil; paula.tecminer@gmail.com
- Laboratório de Geoprocessamento (LABGEO), Instituto Evandro Chagas (IEC), Ananindeua 67030-000, Brazil
- Seção de Parasitologia (SAPAR), Instituto Evandro Chagas (IEC), Ananindeua 67030-000, Brazil
- Correspondence: thalyta mlopes@hotmail.com; Tel.: +55-91-98252-7226

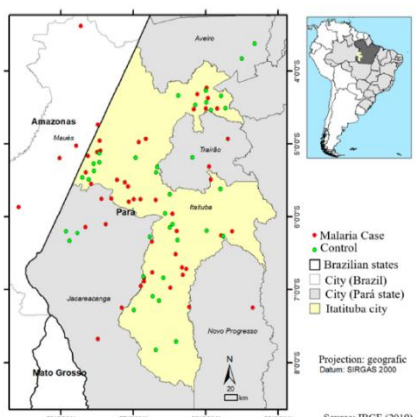
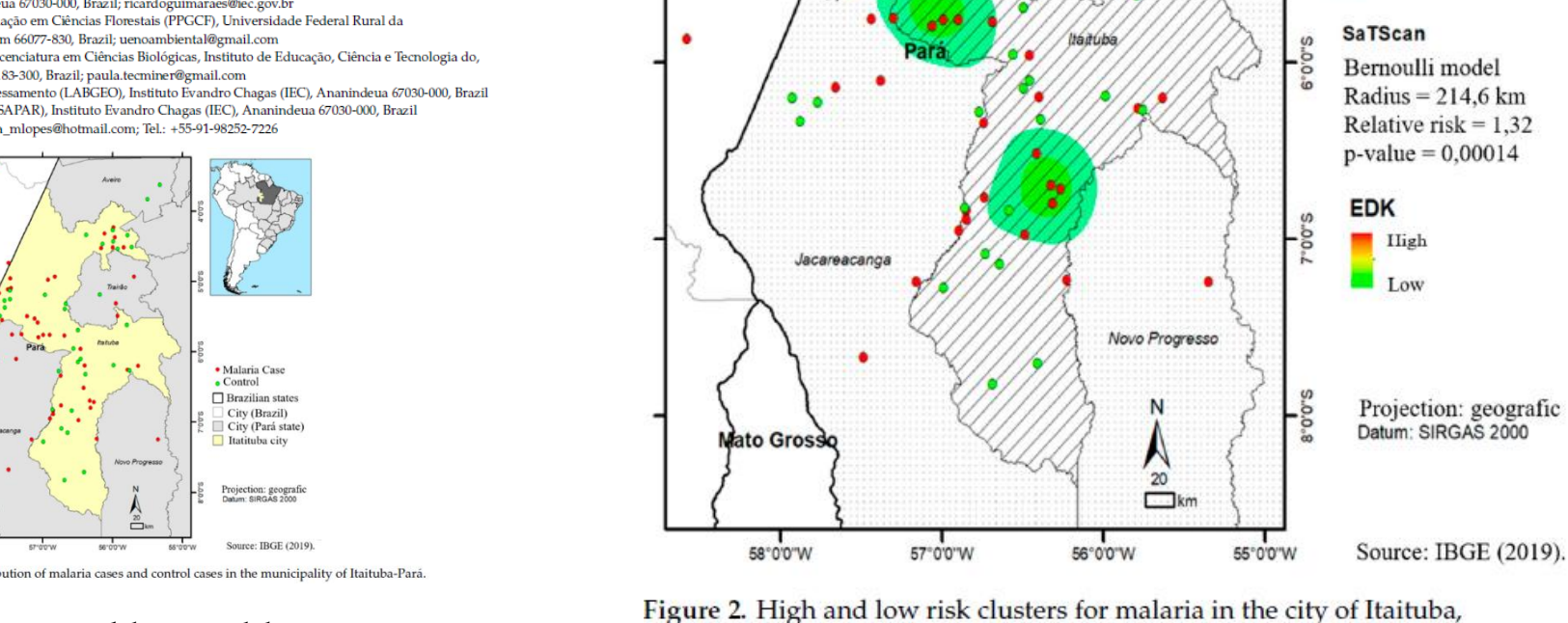


Figure 1. Distribution of malaria cases and control cases in the municipality of Itaituba-Pará.



Amazonas

Amano (Pista)

Amano (Cara)

mano (Salto)

Amano (CVA)

mano (Garimpinho)

Pará, Brazilian Amazon.

Int. J. Environ. Res. Public Health 2021. DOI:10.3390/ijerph181910384

Índice de Moran Bivariado WEPA







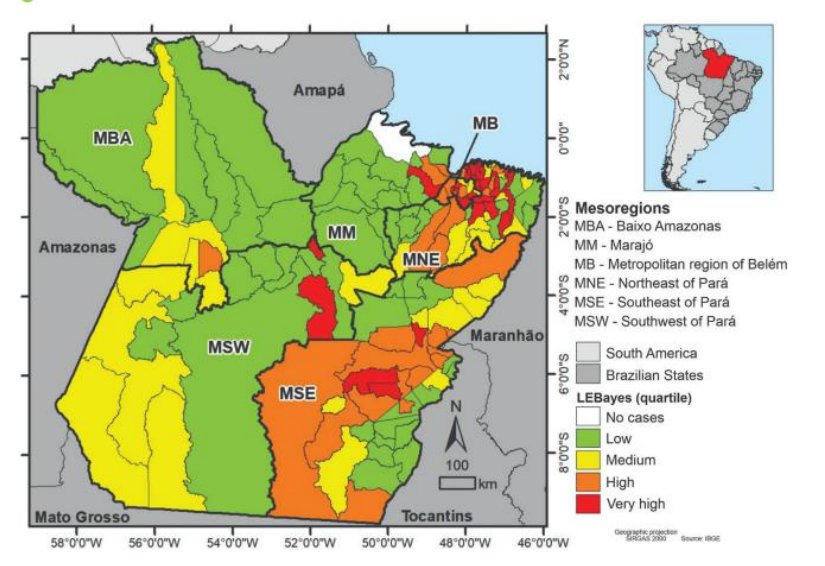
ORIGINAL ARTICLE

https://doi.org/10.1590/1980-220X-REEUSP-2022-0321en

Human immunodeficiency virus infection in pregnant women and its correlation with socioeconomic determinants

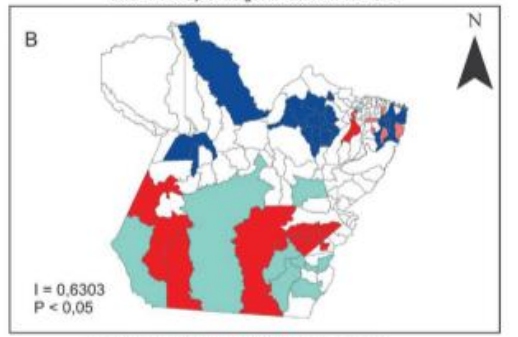
Infecção pelo vírus da imunodeficiência humana em gestantes e sua correlação com os determinantes socioeconômicos

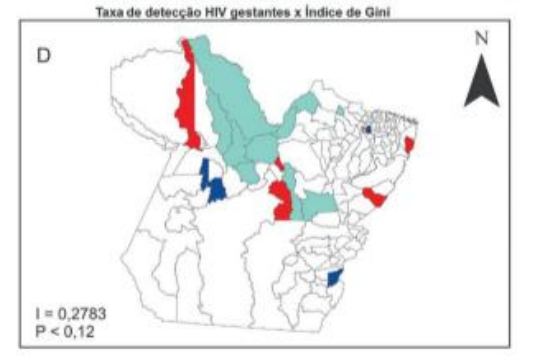
- DLidiane de Nazaré Mota Trindade
- Laura Maria Vidal Nogueira²
- DIvaneide Leal Ataíde Rodrigues²
- Ricardo José de Paula Souza e Guimarães³
- Maria Helena do Nascimento Souza

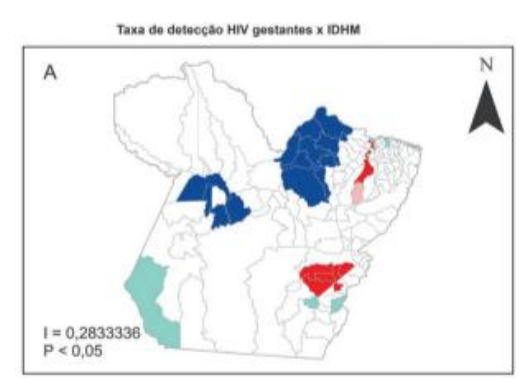


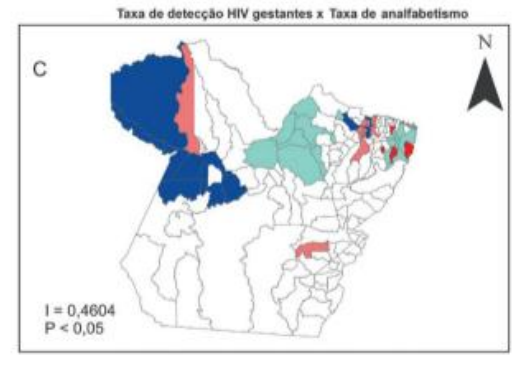
Rev Esc Enferm USP 2023. DOI:10.1590/1980-220X-REEUSP-2022-0321en















Acta Tropica 220 (2021) 105950



https://www.worldclim.org/data/worldclim21.html

Contents lists available at ScienceDirect

Acta Tropica

journal homepage: www.elsevier.com/locate/actatropica

Modelo Ecológico (ENM/MaxEnt)



Triatomine and *Trypanosoma cruzi* discrete typing units distribution in a semi-arid area of northeastern Brazil

Nathan Ravi Medeiros Honorato ^a, Andressa Noronha Barbosa da Silva ^b, Christiane Carlos Araújo de Negreiros ^c, Lúcia Maria Abrantes Aguiar ^d, Newmar Pinto Marliére ^e, Rita de Cássia Moreira de Souza ^e, Ricardo José de Paula Souza e Guimarães ^f, Lúcia Maria da Cunha Galvão ^{b,g}, Antônia Cláudia Jácome da Câmara ^{a,b,*}

- ^c Pharmacy Undergraduate Course, Federal University of Rio Grande do Norte, Natal, Rio Grande do Norte, Brazil
- ^d State Secretariat of Public Health of Rio Grande do Norte, Natal, Rio Grande do Norte, Brazil
- ^e René Rachou Institute FIOCRUZ Minas, Triatomine Research Group, Belo Horizonte, Brazil f Evandro Chagas Institute, Geoprocessing Laboratory, Ananindeua, Pará, Brazil
- graduate Program in Health Sciences, Federal University of Rio Grande do Norte, Natal, Rio Grande do Norte, Brazil

WorldClim

Historical climate data

This is WorldClim version 2.1 climate data for 1970-2000. This version was released in January

There are monthly climate data for minimum, mean, and maximum temperature, precipitation, solar radiation, wind speed, water vapor pressure, and for total precipitation. There are also 19 "hisclimatic" variables

The data is available at the four spatial resolutions, between 30 seconds (~1 km2) to 10 minutes (~340 km2). Each download is a "zip" file containing 12 GeoTiff (.tif) files, one for each month of the year (January is 1: December is 12).

| variable | 40 | F | 2.5 | 20 |
|---|------------|-----------|-------------|------------|
| variable | 10 minutes | 5 minutes | 2.5 minutes | 30 seconds |
| minimum temperature (°C) | tmin 10m | tmin 5m | tmin 2.5m | tmin 30s |
| maximum temperature (°C) | tmax 10m | tmax 5m | tmax 2.5m | tmax 30s |
| average temperature (°C) | tavg 10m | tavg 5m | tavg 2.5m | tavg 30s |
| precipitation (mm) | prec 10m | prec 5m | prec 2.5m | prec 30s |
| solar radiation (kJ m ⁻² day ⁻¹) | srad 10m | srad 5m | srad 2.5m | srad 30s |
| wind speed (m s ⁻¹) | wind 10m | wind 5m | wind 2.5m | wind 30s |
| water vapor pressure (kPa) | vapr 10m | vapr 5m | vapr 2.5m | vapr 30s |

Below you can download the standard (19) WorldClim Bioclimatic variables for WorldClim version 2. They are the average for the years 1970-2000. Each download is a *zip* file containing 19 GeoTiff (tif) files, one for each month of the variables.

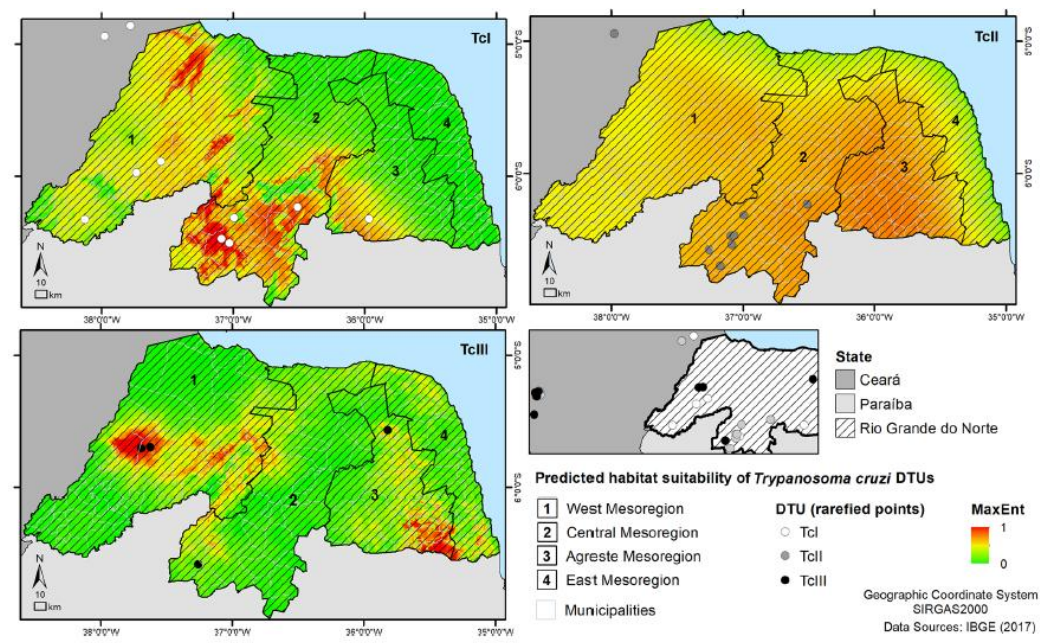


Fig. 2. Ecological niche/species distribution modelling based on bioclimatic variables showing the predicted habitat suitability in the state of Rio Grande do Norte of the three Trypanosoma cruzi DTUs found infecting triatomines in northeastern Brazil.

Acta Tropica 2021. DOI:10.1016/j.actatropica.2021.105950

^a Graduate Program in Parasitic Biology, Federal University of Rio Grande do Norte, Natal, Rio Grande do Norte, Brazil ^b Graduate Program in Pharmaceutical Sciences, Federal University of Rio Grande do Norte, Natal, Rio Grande do Norte, Brazil







www.dpi.inpe.br/Ambdata/download.php















Acta Tropica 220 (2021) 105

Grupo de Modelagem para Estudos da Biodiversidade



Contents lists available at Sc.

journal homepage: www.elsevier.com

Triatomine and Trypanosoma cruzi discrete typing semi-arid area of northeastern Brazil

Nathan Ravi Medeiros Honorato^a, Andressa Noronha Barbosa o Christiane Carlos Araújo de Negreiros^c, Lúcia Maria Abrantes A Newmar Pinto Marliére ^e, Rita de Cássia Moreira de Souza ^e, Ricardo José de Paula Souza e Guimarães¹, Lúcia Maria da Cur Antônia Cláudia Jácome da Câmara a,b,

- ^a Graduate Program in Parasitic Biology, Federal University of Rio Grande do Norte, Natal, Rio Grande do No b Graduate Program in Pharmaceutical Sciences, Federal University of Rio Grande do Norte, Natal, Rio Gran
- e Pharmacy Undergraduate Course, Federal University of Rio Grande do Norte, Natal, Rio Grande do Norte. B d State Secretariat of Public Health of Rio Grande do Norte, Natal. Rio Grande do Norte. Brazil
- René Rachou Institute FIOCRUZ Minas, Triatomine Research Group, Belo Horizonte, Brazil ^f Evandro Chagas Institute, Geoprocessing Laboratory, Ananindeua, Pará, Brazil
- g Graduate Program in Health Sciences, Federal University of Rio Grande do Norte, Natal, Rio Grande do Nor

WorldClim

Historical climate data

This is WorldClim version 2.1 climate data for 1970-2000. This version was release

There are monthly climate data for minimum, mean, and maximum temperature, solar radiation, wind speed, water vapor pressure, and for total precipitation. The

The data is available at the four spatial resolutions, between 30 seconds (~1 km2 minutes (~340 km2). Each download is a "zip" file containing 12 GeoTiff (.tif) fil each month of the year (January is 1; December is 12).

| variable | 10 minutes | 5 minutes | 2.5 minutes | 30 |
|---|------------|-----------|-------------|----|
| minimum temperature (°C) | tmin 10m | tmin 5m | tmin 2.5m | tn |
| maximum temperature (°C) | tmax 10m | tmax 5m | tmax 2.5m | tn |
| average temperature (°C) | tavg 10m | tavg 5m | tavg 2.5m | ta |
| precipitation (mm) | prec 10m | prec 5m | prec 2.5m | pr |
| solar radiation (kJ m ⁻² day ⁻¹) | srad 10m | srad 5m | srad 2.5m | sr |
| wind speed (m s ⁻¹) | wind 10m | wind 5m | wind 2.5m | wi |
| water vapor pressure (kPa) | vapr 10m | vapr 5m | vapr 2.5m | va |

Below you can download the standard (19) WorldClim Bioclimatic variables for V version 2. They are the average for the years 1970-2000. Each download is a "zip" containing 19 GeoTiff (.tif) files, one for each month of the variables.

Home Descrição dos Dados Origem/Fonte/Referência Extensão Geográfica/Escala Coordenadas/Datum/Formato Dados Dados Climáticos Índice de Walsh Mapa de Vegetação % Cobertura Arbórea - MODIS Mapa de Solos Altitude Declividade ou Gradiente Exposição ou Orientação Distância Vertical à Drenagem Densidade de Drenagem Unidades Administrativas Download Links Úteis Referências **Equipe**

Download versão 2.1 - BRASIL

Um novo conjunto de dados foi organizado considerando a versão 2.1 do WorldClim (www.worldclim.com/version2), incluindo as três Principais Componentes (PCA) para cada variável climática, e resolução espacial de 1km.

O recorte é apenas para o BRASIL, e para acessar os dados basta clicar sobre as variáveis desejadas:

Precipitação (mm) - Clique AQUI

Temperatura Mínima (°C) - Clique AQUI

Temperatura Média (°C) - Clique AQUI

Temperatura Máxima (°C) - Clique AQUI

Bioclimáticas - Clique AQUI

Radiação Solar (kJ m-2 day-1) - Clique AQUI

Velocidade do Vento (m s-1) - Clique AQUI

Pressão do Vapor d'água (kPa) - Clique AQUI

Elevação - Clique AQUI

Estes dados foram organizados pelo Dr. Ricardo Guimarães (Instituto Evandro Chagas/SVSA/MS), para o estudo de Honorato et al. (2021), citado nas referências do Ambdata.

Download - versão 1.0

Os dados disponíveis para modelagem de distribuição de espécies do grupo da DPI/OBT e recortados para o BRASIL e Amazônia Legal Brasileira são apresentados na tabela abaixo. Para acessar os dados, basta clicar sobre a opção de recorte (Limite) desejada.

Caso queira selecionar apenas algumas variáveis climáticas clique AQUI.

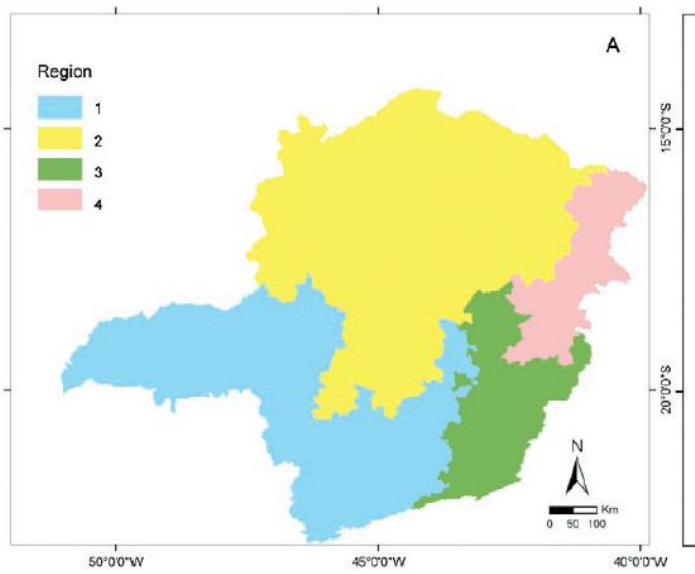
Para a América do Sul, estão disponíveis em arquivos únicos: os dados climáticos - Clique AQUI; e os dados de Distância Vertical à Drenagem mais Próxima (HAND) - Clique AQUI.



Epidem. Espacial

- ✓ Dist. espacial
- √ Krigagem
- √ Skater
- ✓ Reg. Múltipla





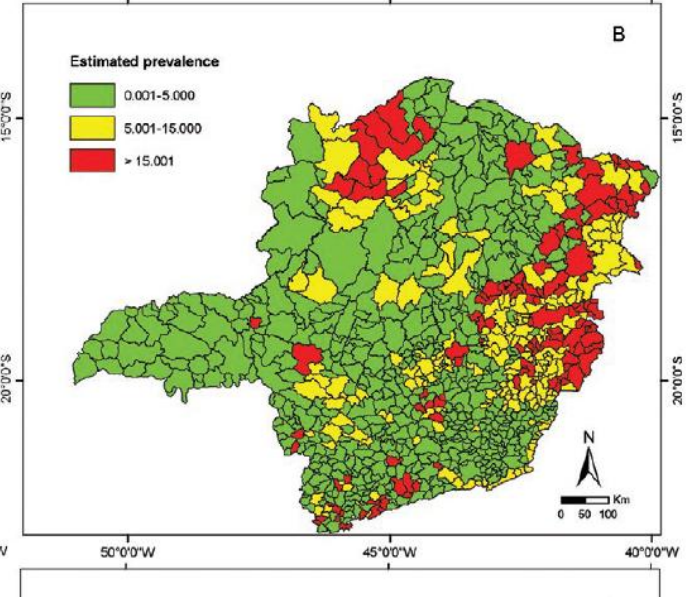


Fig. 5: regional model: A: regionalisation using the Skater algorithm; B: estimated prevalence using the regional regression equation; C: residuals (difference between observed and estimated schistosomiasis prevalence).

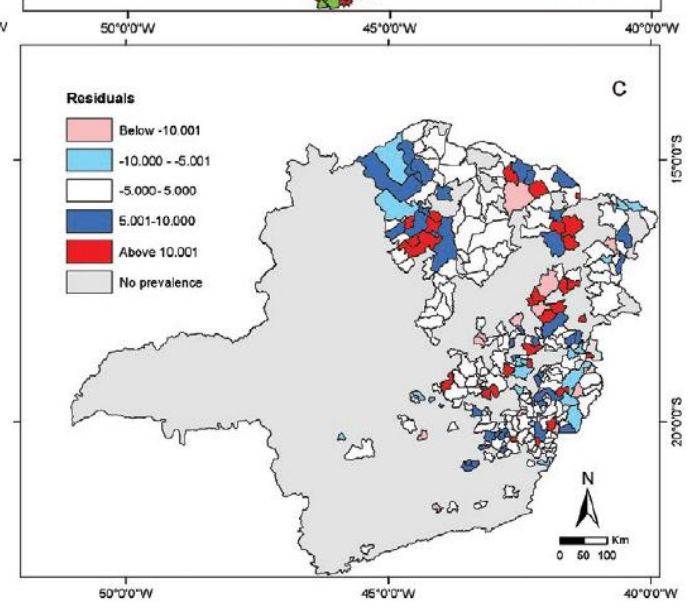
Mem Inst Oswaldo Cruz, Rio de Janeiro, Vol. 105(4): 524-531, July 2010

A geoprocessing approach for studying and controlling schistosomiasis in the state of Minas Gerais, Brazil

Ricardo José de Paula Souza Guimarães^{1,2}, Corina Costa Freitas³, Luciano Vieira Dutra³, Ronaldo Guilherme Carvalho Scholte^{1,2}, Flávia Toledo Martins-Bedé³, Fernanda Rodrigues Fonseca³, Ronaldo Santos Amaral⁴, Sandra Costa Drummond⁵, Carlos Alberto Felgueiras³, Guilherme Corrêa Oliveira^{1,2}, Omar Santos Carvalho^{1/+}

²Programa de Pós-Graduação em Clínica Médica e Biomedicina, Santa Casa de Misericórdia, Belo Horizonte, MG, Brasil ³Instituto Nacional de Pesquisas Espaciais, São Paulo, SP, Brasil ⁴Secretaria de Vigilância em Saúde, Ministério da Saúde, DF, Brasil ⁵Secretaria de Estado de Saúde de Minas Gerais, Belo Horizonte, MG, Brasil

¹Instituto de Pesquisas René Rachou-Fiocruz, Av. Augusto de Lima 1715, Belo Horizonte, MG, Brasil

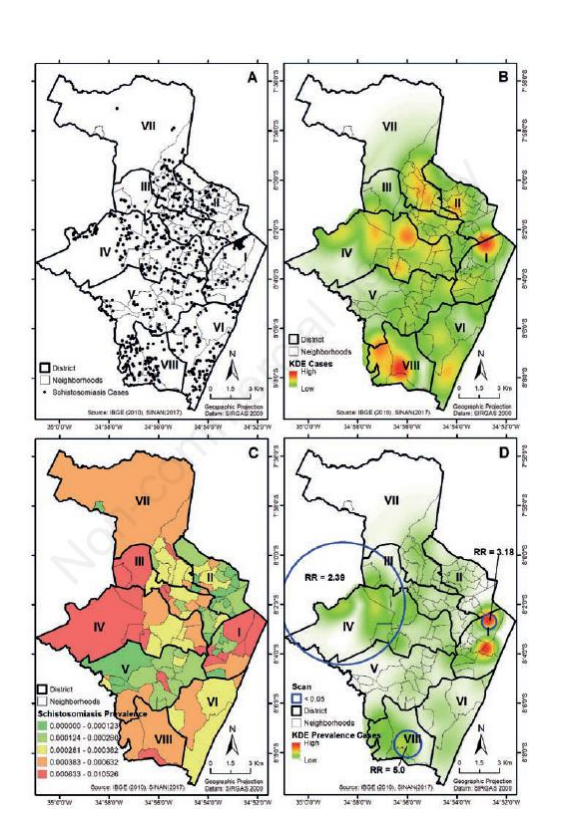


√ Álgebra de Mapas

√ Scan

✓ Kernel





Geospatial Health 2020. DOI:10.4081/gh.2020.861







Geospatial Health 2020; volume 15:861

Mapping the risk for transmission of urban schistosomiasis in the Brazilian Northeast

Emília Carolle Azevedo de Oliveira,¹ Iris Edna Pereira da Silva,¹ Ricardo José Ferreira,² Ricardo José de Paula Souza e Guimarães,³ Elainne Christine de Souza Gomes,¹ Constança Simões Barbosa¹

¹Aggeu Magalhães Institute, Oswaldo Cruz Foundation, Recife, Pernambuco; ²Federal Institute of Science, Education and Technology of Paraíba, Department of Probability and Statistics, João Pessoa, Paraíba; ³Evandro Chagas Institute, Health Surveillance Secretariat, Ministry of Health, Ananindeua, Pará, Brazil

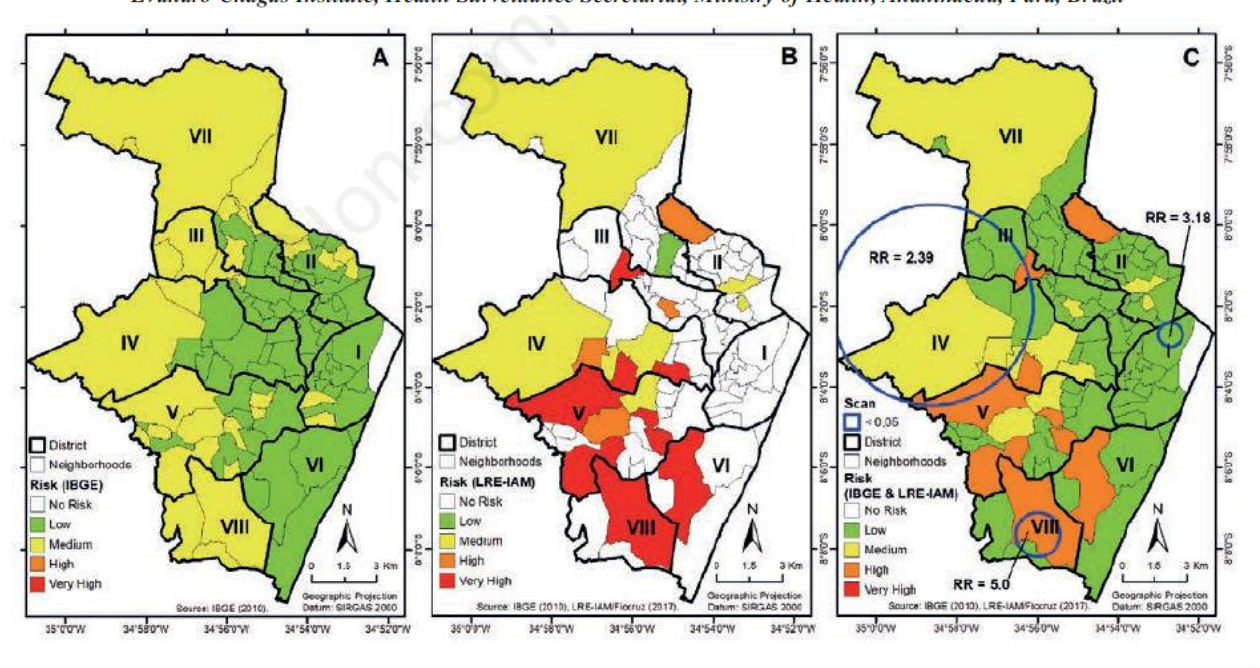


Figure 4. Risk for schistosomiasis transmission using the map algebra analysis technique by neighbourhood of Recife, according to environmental conditions. IBGE data (A); LRE-IAM/Fiocruz data (B); combined IBGE, LRE-IAM/Fiocruz and SaTScan data (C). Variables analyzed in IBGE: home without toilet, income, paving, manhole, open sewage; in LRE/AMI/Fiocruz: presence of faeces, vegetal cover, flooding, number of snails and number of infected snails.

✓ Dist. Espacial

https://doi.org/10.1093/trstmh/trab113 Advance Access publication 0 2021

- ✓ Mapa Coroplético
- ✓ Kernel
- √ Scan

Trans R Soc Trop Med Hyg 2021; 0: 1-9



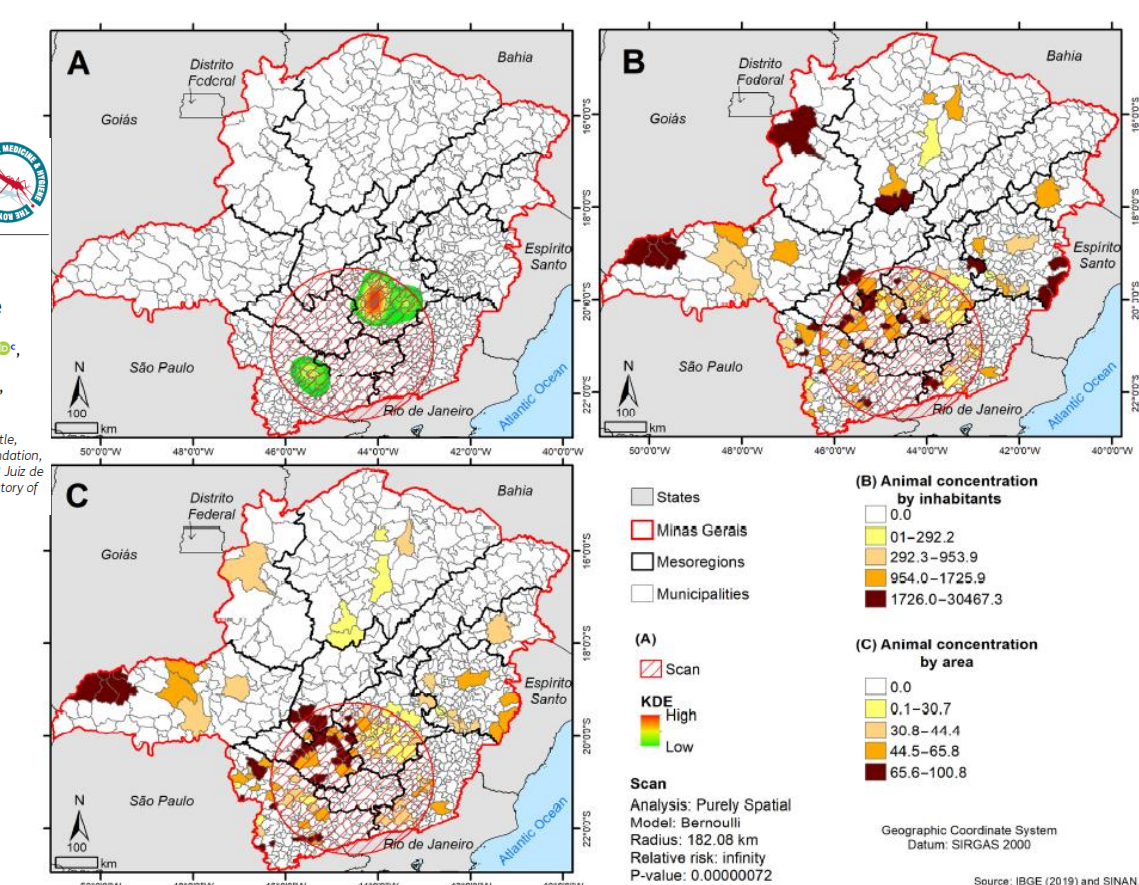


Figure 2. (A) Kernel density estimation (KDE) and spatial scanning (Scan); map of spatial distribution of the number of animals concentration by (B) inhabitants and (C) area in the municipalities of Minas Gerais, Brazil.

Secondary dence estimate and risk factors for Coviella

Seroprevalence estimate and risk factors for Coxiella burnetii infections among humans in a highly urbanised Brazilian state

Igor Rosa Meurer [©]°, Marcio Roberto Silva [©]°, Marcos Vinícius Ferreira Silva [©]°, Ana Íris de Lima Duré [©]°, Talita Émile Ribeiro Adelino [©]°, Alana Vitor Barbosa da Costa°, Chislene Pereira Vanelli [©]d, Ricardo José de Paula Souza e Guimarães [©]°, Tatiana Rozental [©]f, Elba Regina Sampaio de Lemos [©]f, and José Otávio do Amaral Corrêa [©]°**

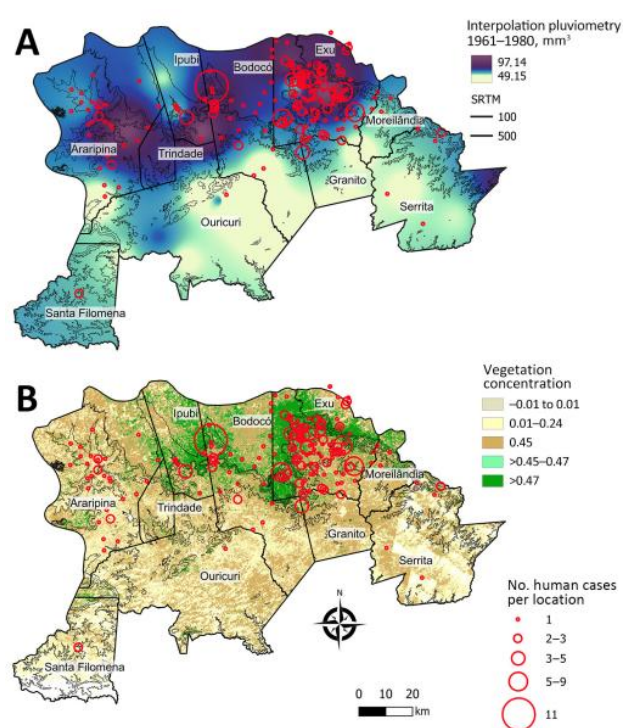
Faculty of Pharmacy, Federal University of Juiz de Fora, 36036-900 Juiz de Fora, Minas Gerais, Brazili, Embrapa Dairy Cattle, 36038-330 Juiz de Fora, Minas Gerais, Brazili, 'Central Public Health Laboratory of the State of Minas Gerais, Ezequiel Dias Foundation, 30510-010 Belo Horizonte, Minas Gerais, Brazil; 'Faculty of Medical Sciences and Health of Juiz de Fora - Suprema, 36033-003 Juiz de Fora, Minas Gerais, Brazil; 'Geoprocessing Laboratory, Evandro Chagas Institute, 67030-000 Ananindeua, Para, Brazili, 'Laboratory of Hantaviruses and Rickettsiosis, Oswaldo Cruz Foundation, 21040-900 Rio de Janeiro, Riczili (Taboratory Del Cruz Foundation), 21040-900 Rio de Janeiro, Riczili (Taboratory Del Cruz Foundation), 21040-900 Rio de Janeiro, Riczili (Taboratory Del Cruz Foundation), 21040-900 Rio de Janeiro, Riczili (Taboratory Para), 21040-900 Riccili (

Trans R Soc Trop Med Hyg 2021. DOI:10.1093/trstmh/trab113

INSTITUTO EVANDRO CHAGAS SECRETARIA DE VIGILÂNCIA EM SAÜDE E AMBIENTE

Ecologic, Geoclimatic, and Genomic Factors Modulating Plague Epidemics in Primary Natural Focus, Brazil

Matheus F. Bezerra, Diego L.R.S. Fernandes, Igor V. Rocha, João L.L.P. Pitta, Natan D.A. Freitas, André L.S. Oliveira, Ricardo J.P.S. Guimarães, Elainne C.S. Gomes, Cecília Siliansky de Andreazzi, Marise Sobreira, Antonio M. Rezende, Pedro Cordeiro-Estrela, Alzira M.P. Almeida



Emerging Infectious Diseases 2024. DOI:10.3201/eid3009.240468

- ✓ Dist. Espacial
- ✓ GEE (SRTM, Prec., NDVI)
- ✓ Kernel
- √ Scan



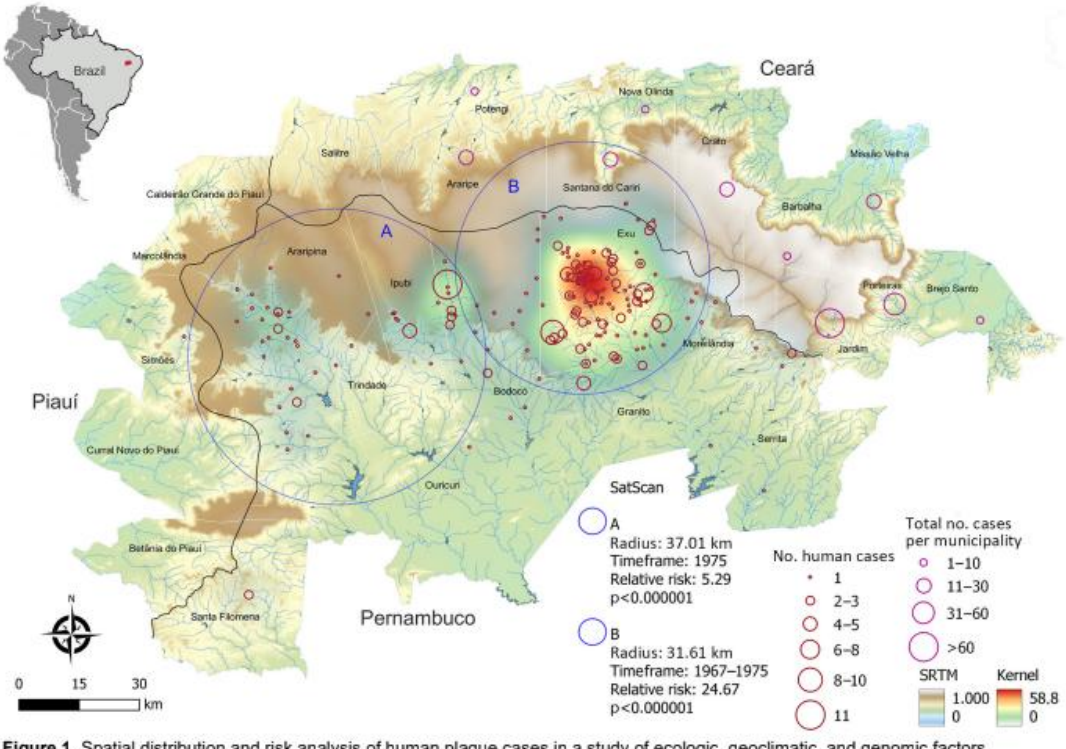


Figure 1. Spatial distribution and risk analysis of human plague cases in a study of ecologic, geoclimatic, and genomic factors modulating plague epidemics in primary natural focus, Brazil. Background colors show the altimetry (m) from SRTM. The black line shows the tri-state boundaries between Pernambuco, Ceará, and Piauí. Red circles identify plague risk areas by application of KDE in human cases in Pernambuco. Blue circles A and B indicate plague risk clusters calculated by SaTScan for 1975 (A) and 1967–1975 (B). Pink circles indicate spatial distribution of human plague cases by number of occurrences per municipality in Ceará. Inset map shows Brazil with the Araripe Plateau focus in red. KDE, kernel density estimation; SaTScan, space-time scan (https://www.satscan.org) statistics; SRMT, Shuttle Radar Topography Mission (https://www.earthdata.nasa.gov).



* Definição (Kirby et al., 2017)

✓ Epidemiologia espacial refere-se a investigações que usam desenhos de estudos epidemiológicos que envolvem dados/informações espaciais sobre sujeitos de estudo, unidades de saúde ou fontes de exposição.

* Georreferenciamento/Geocodificação

*Sistema de Informação Geográfica (SIG)

✓ O SIG tem sido usado em muitas aplicações epidemiológicas, incluindo mapeamento de doenças, suavização de taxas, análise de aglomerados ou pontos quentes, modelagem espacial, etc.

Linguagem de Programação (R ou Python)

* Análise Espacial (John Snow https://youtu.be/lNjrAXGRda4)

- ✓ Mapeamento de doenças;
- ✓ Estudos de correlação geográfica;
- ✓ Avaliação de risco em relação a fontes pontuais ou lineares; e
- ✓ Detecção de agrupamento e agrupamento de doenças.

SIG x R/Python (LP)



Banco de dados: baixar, depurar, unir e importar.

SIG vai depender de uma plataforma, por exemplo, tablet tablen (FTP -"ftp://ftp.datasus.gov.br/dissemin/publicos/PCE/Dados/")

Dengue: ficha antes de 2017

ficha após de 2017

44 Classificação

1 - Dengue Clássico

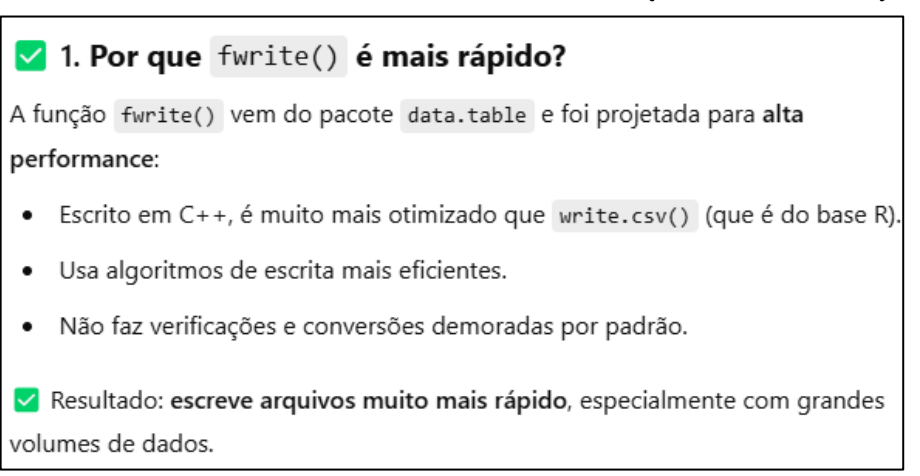
3 - Febre Hemorrágica do Dengue - FHD 4 - Síndrome do Choque da Dengue - SCD

2 - Dengue com Complicações 4 - Sindrom 5- Descarta

62 Classificação

5- Descartado 10- Dengue 11- Dengue com Sinais de Alarme 12- Dengue Grave 13- Chikungunya

- ✓ Processamento: ambos depende do computador que utilizam; porém LP é mais rápida.
- ✓ Facilidade: SIG é mais fácil (Windows); porém LP utilizando a IA ajuda.





SIG x R/Python (LP)



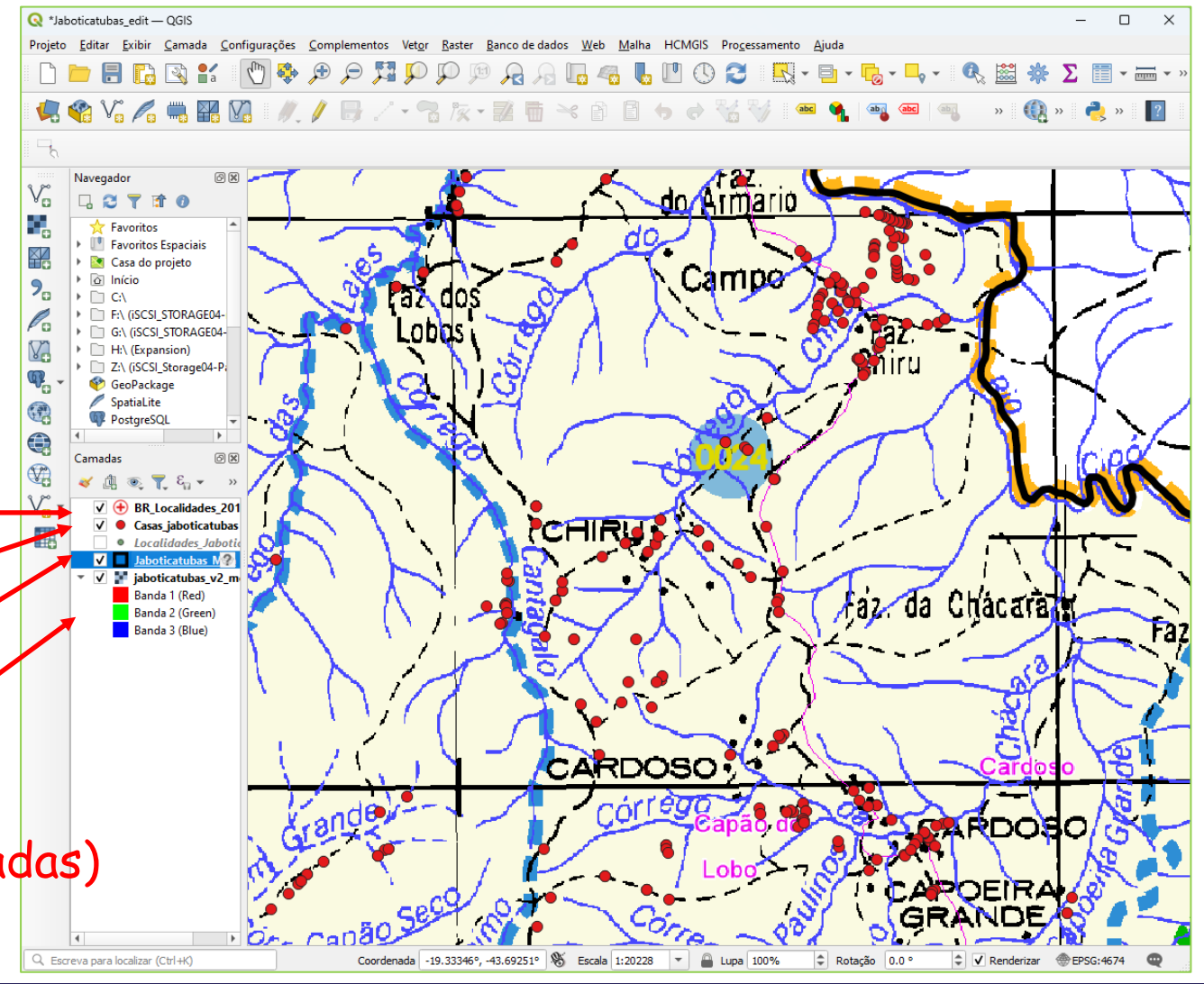
https://qgis.org/download/



Facilidade:

- IBGE (localidades)
- IBGE (casas)
- IBGE (limite)
- IBGE (mapa)

- Resultado (coordenadas)



SIG x R/Python (LP)



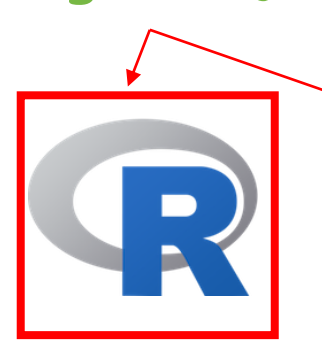


Softwares / Plataformas / Ling. Programação









R



E)

Python

Epi Info











INÍCIO

SOBRE NÓS ▼

HELP DESK ▼

CRIAR CONTA

ENTRAR

https://bit.ly/3VZS5pR

Curso de Introdução ao uso do software "R" aplicado à Vigilância em Saúde -2024

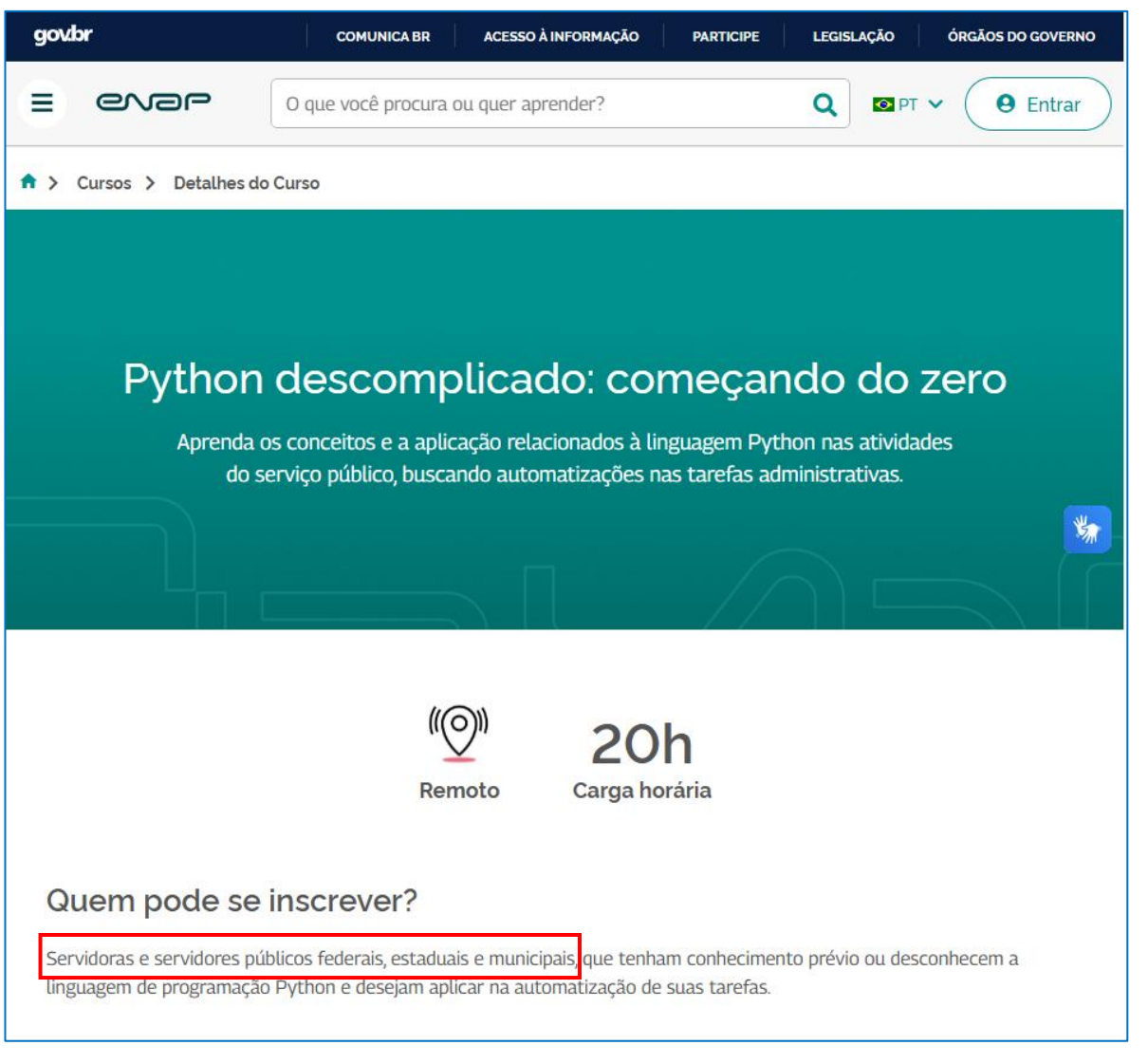
Com carga horária de 40h, o curso aborda técnicas e procedimentos básicos para manipular bancos de dados da vigilância que possibilitarão o aprimoramento da capacidade analítica, de forma a contribuir com a rotina de trabalho nos serviços de saúde, bem como com a formulação de documentos técnicos e melhor tomada

de decisão pela gestão.

As aulas são on-line, gratuitas e autoinstrucionais (sem tutoria). Não há limite de vagas e podem se inscrever profissionais que atuam no Ministério da Saúde e nos serviços de vigilância em saúde nas secretarias de Saúde municipais, estaduais e no Distrito Federal; profissionais que atuam nos DSEI, discentes e docentes da área de saúde.







https://suap.enap.gov.br/vitrine/curso/2771/



```
Malaria_Sivep_NOTIPO_2014_2023.R 🗶 👂 Malaria_Sivep_Perfil_Epidemiologico.R 🗶 👂 Malaria_Sivep_Perfil_SocioDemoc
b.R ×
   # Script para juntar os casos positivos de malária no Brasil e separar por UF #
   # casos positivos - arquivos "NOTIPO"
   # período de 2014 - 2023
   # Fonte Sivep-Malária
   # http://sivepmalaria.saude.gov.br/sivep_malaria/default.asp
   # Ricardo JPS Guimarães (http://lattes.cnpg.br/4082971128842907)
   # Seção de Epidemiologia do Instituto Evandro Chagas - SAEPI/IEC/SVSA/MS
 10
11
   # Definir diretório de trabalho e carregar as bases de dados para análise
   setwd("c:/GeoNote/R_Project/") # mudando o diretório
12
   dir() # listando os arquivos do diretório
13
14
15
   # Carregar a biblioteca necessária
   library(dplyr)
16
17
18
   # Lista dos nomes dos arquivos CSV que você deseja juntar
19
   arquivos <- c("NOTIPO14.csv",
20
                "NOTIPO15.csv", "NOTIPO16.csv", "NOTIPO17.csv",
21
                "NOTIPO18.csv", "NOTIPO19.csv", "NOTIPO20.csv",
22
                "NOTIPO21.csv", "NOTIPO22.csv", "NOTIPO23.csv")
23
24
   # Inicializar uma lista para armazenar os data frames de cada arquivo CSV
   lista_data_frames <- list()</pre>
25
26
27
   # Loop para ler cada arquivo CSV e armazenar seus dados em uma lista
28 - for (arquivo in arquivos) {
```



Não publicado





```
# Script para obter o perfil epidemiológico dos casos positivos para malária
  # casos positivos - arquivos "NOTIPO"
  # período de 2014 - 2023
  # Fonte Sivep-Malária
  # http://sivepmalaria.saude.gov.br/sivep_malaria/default.asp
7 # Ricardo JPS Guimarães (http://lattes.cnpq.br/4082971128842907)
  # Seção de Epidemiologia do Instituto Evandro Chagas - SAEPI/IEC/SVSA/MS
LO
L1 - ######## Variáveis epidemiológicas da Ficha do Sivep-Malária ###########
L2 ### Ficha de notificação:
  # https://www.gov.br/saude/pt-br/centrais-de-conteudo/publicacoes/svsa/malaria/vigilanc
L4 ### Dicionário de dados
  # ??? procurar link ???
L6
L7 ### TIPO LAM
  # - Informa o tipo de detecção.
  # 1 - Detecção Passiva
  # 2 – Detecção Ativa
21
  # 3 - LVC (Código do modelo das antigas fichas de notificação)
22
23 ### SINTOMAS
                                                                       32 # 3 - Técnicas moleculares (Opção inserida a partir de 2020)
24 # - Informa o se o paciente relatou sintomas, que pode ser:
                                                                       33
25 # 1 - Com sintomas
                                                                       34 ### RES_EXAM
26 # 2 - Sem sintomas
                                                                       35 # - Informa o resultado do exame, que pode ser:
                                                                       36 # 1 - Negativo
                                                                       37 # 2 - Falciparum
                                                                       38 # 3 - F+Fg
                                                                       39 # 4 - Vivax
                                                                       40 # 5 - F+V
                                                                       41 # 6 - V+Fa
                                                                       42 # 7 - Fq
                                                                       43 # 8 - Malariae
                                                                       44 # 9 - F+M
                                                                       45 # 10 - Ovale
                                                                       46 # 11 - Não Falciparum
                                                                       47
                                                                       48 ### QTD_CRUZ
                                                                       49 # - Informa a parasitemia em cruzes, que pode ser:
                                                                       50 # 1 - "< +/2" (menor que meia cruz)
                                                                       51 # 2 - "+/2" (meia cruz)
                                                                       52 # 3 - "+" (uma cruz)
                                                                       53 # 4 - "++" (duas cruzes)
                                                                       54 # 5 - "+++" (três cruzes)
                                                                       55 # 6 - "++++" (quatro cruzes)
                                                                       56
                                                                       57 ### HEMOPARASI
```

66

70

73

76

77

79





```
# Definir diretório de trabalho e carregar as bases de dados para análise
  setwd("c:/GeoNote/R_Project/") # mudando o diretório (substitua por um caminho onde está o sc
  dir() # listando os arquivos do diretório
  # Carregar a biblioteca
  library(dplyr)
  # Carregar o banco de dados
  dados <- read.csv("AP_NOTIPO_2014_2023.csv") # Mudar para o nome do banco de interesse
  # Visualizar o banco de dados
  View(dados)
```

```
124 ################ variável "Resultado do Exame" (44)
125 # Mapear os valores da coluna RES_EXAM para seus respectivos rótulos
126 dadosRES_EXAM \leftarrow factor(dadosRES_EXAM, levels = c(1, 2, 3, 4, 5, 6, 7, 8, 9, 10, 11),
                              labels = c("Negativo", "Falciparum", "F+Fg", "Vivax", "F+V", "V+Fg",
127
                                         "Fg", "Malariae", "F+M", "Ovale", "Não_Falciparum"))
128
129
    # Contabilizar a quantidade do resultado do exame na coluna RES_EXAM
    contagem_resultadoEx <- dados %>%
131
       count(RES_EXAM) %>%
132
133
       rename(frequencia_resultadoEx = n)
134
135
   # Calcular a frequência relativa para o resultado do exame
     contagem_resultadoEx <- contagem_resultadoEx %>%
137
       mutate(frequencia_relativa_resultadoEx = (frequencia_resultadoEx / sum(frequencia_resultadoE)
138
139 ################ variável "Parasitemia em cruzes" (46)
140 # Mapear os valores da coluna QTD_CRUZ para seus respectivos rótulos
141 dadosQTD_CRUZ \leftarrow factor(dados QTD_CRUZ, levels = c(1, 2, 3, 4, 5, 6),
                              labels = c("menor_meia_cruz", "meia_cruz", "uma_cruz",
142
143
                                         "duas_cruzes", "três_cruzes", "quatro_cruzes"))
1/1/
```





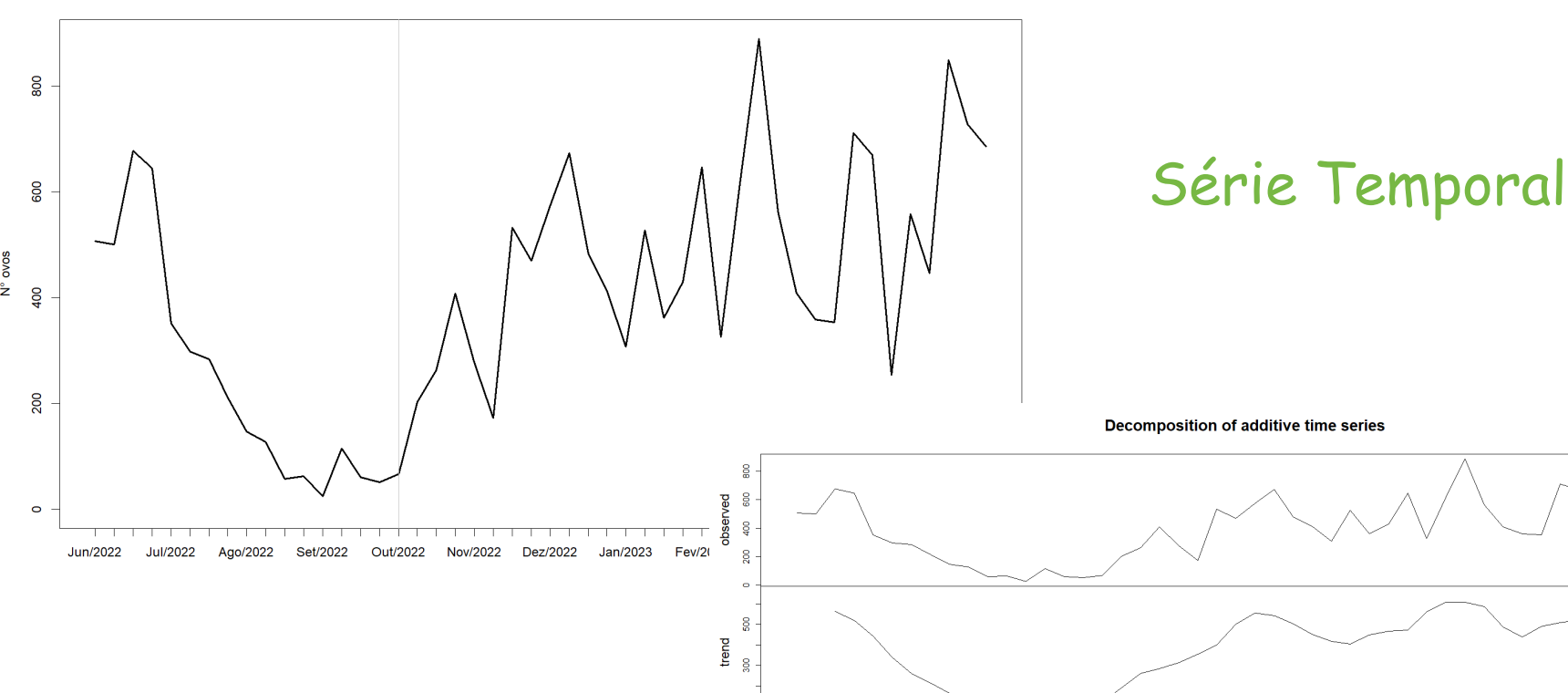
```
Lister - [c:\GeoNote\R_Project\contagem_resultadoEx.txt]
```

| Arquivo | Editar | Exibir | Codificação | Ajuda | |
|----------------------------|--------------|--------|----------------------------|------------|---------------------------------|
| RES_EXA Falcipa F+Fq | | 6192 | _ | 8838146407 | frequencia_relativa_resultadoEx |
| Uivax F+U | 98250 326 | 91.6 | 44280277591 40817849414 | 2 | |
| U+Fg | 84 | 0.07 | 83523617640 | 1475 | |
| Fg | 103 | 0.09 | 60749197821 | 058 | |
| Malaria | e | 26 | 0.02425 | 192149839 | 56 |
| F+M | 7 | 0.00 | 65293634803 | 3729 | |
| Não_Fal | ciparum | 1374 | 1.28162 | 2077456906 | |

| | | | . (. i o) o o c (o c | ontagem_para | Siterina.txtj | | |
|------------------|--|--|--|---|-----------------------|-------------------|-------|
| Α | rquivo Ed | itar Exibi | r Codificaçã | o Ajuda | | | |
| m u d t | TD_CRUZ enor_meia eia_cruz ma_cruz uas_cruze rês_cruze uatro_cru A 98 | _cruz 20 36 86 s 61 s 27 zes 19 | 207 18.84 72 3.425 34 8.053 889 57.72 65 2.579 | 8406835310 61175285426 85034698903 7968062084 90985747332 | 3 5 1 9 3 | _relativa_parasit | temia |





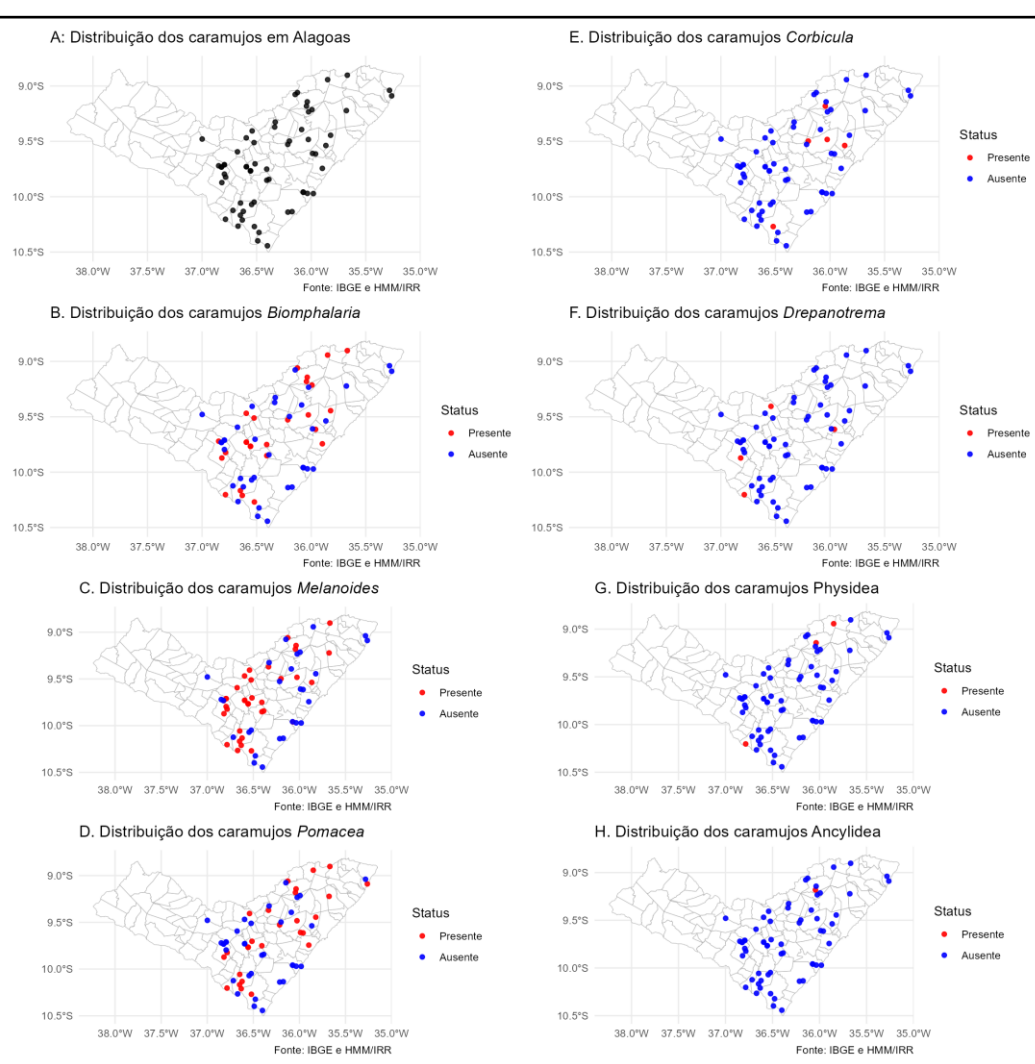


Não publicado

 $N\tilde{ao}$ publicado



```
🗦 🔚 🗌 Source on Save 🔍 🎢 🗸 📒
    ### SCRIPT PARA CRIAR MAPAS DE CAPTURA DE CARAMUJOS EM ALAGOAS
    # Carregar pacotes
    library(sf)
   library(readr)
    library(readx1)
    library(foreign)
    library(ggplot2)
    library(utils)
    library(patchwork)
    library(dplyr)
12
    # Função para ler diferentes formatos de arquivos
    ler_tabela_com_coordenadas <- function(caminho_arguivo) {</pre>
15
       ext <- tools::file_ext(caminho_arquivo)</pre>
16
       if (ext == "csv") {
17 -
18
         dados <- read_csv(caminho_arquivo)</pre>
       } else if (ext == "xls" || ext == "xlsx") {
         dados <- read_excel(caminho_arquivo)</pre>
20
       } else if (ext == "dbf") {
21 -
22
          dados <- read.dbf(caminho_arquivo)</pre>
23 -
24
         stop("Formato de arquivo não suportado.")
25 -
26
27
       # Verificar colunas obrigatórias
      if (!all(c("longitude", "latitude", "BIOMPHALARIA", "MELANOIDES", "POMACE
"CORBICULA", "DREPANOTREMA", "PHYSIDEA", "ANCYLIDEA") %in% nam
stop("A tabela deve conter as colunas 'longitude', 'latitude', 'BIOMPHA
28
29 +
30
31
                'MELANOIDES', 'POMACEA', 'CORBICULA', 'DREPANOTREMA, 'PHYSIDEA' e
32 -
33
34
       # Remover linhas com coordenadas faltantes
35
       dados <- dados[!is.na(dados$longitude) & !is.na(dados$latitude), ]</pre>
36
37
       # Criar coluna de prioridade geral
38
       prioridade <- function(x) {</pre>
39
         if ("Presente" %in% x) return("Presente")
40
         if ("Ausente" %in% x) return("Ausente")
41
         return("NULL")
42 -
43
       # Aplicar a função de prioridade
```





```
# Carregar pacotes
  library(sf)
   library(readr)
   library(readxl)
   library(foreign)
   library(qqplot2)
   library(utils)
   library(patchwork)
   library(dplyr)
   # Função para ler diferentes formatos de arquivos
4 - ler_tabela_com_coordenadas <- function(caminho_arquivo) {
     ext <- tools::file_ext(caminho_arguivo)</pre>
     if (ext == "csv") {
                                                            A. Distribuição dos dos casos no Pará
       dados <- read_csv(caminho_arquivo)
     } else if (ext == "xls" || ext == "xlsx") {
       dados <- read_excel(caminho_arquivo)</pre>
     } else if (ext == "dbf") {
                                                                                                                            C. HEP B: Distribuição dos casos em Melgaço
       dados <- read.dbf(caminho_arquivo)</pre>
       stop("Formato de arquivo não suportado.")
                                                                                                                        1.2°S
                                                                                                                                                                            Status
                                                                                                                        1.4°S
     # Verificar colunas obrigatórias

    NEGATIVO

     if (!all(c("longitude", "latitude", "HEP_A",
                                                                                                                                                                               INCONCLUSIVO
       stop("A tabela deve conter as colunas 'longi
                                                                                                                        1.6°S
9
                                                                                                                                                                             POSITIVO
                                                                                                                        1.8°S
     # Remover linhas com coordenadas faltantes
     dados <- dados[!is.na(dados$longitude) & !is.n
                                                                                                                        2.0°S
     # Criar coluna de prioridade geral
                                                                                                                                                            Fonte: IBGE e SEHEP
     prioridade <- function(x) {</pre>
                                                                                                                            D. HEP E: Distribuição dos casos em Melgaço
       if ("POSITIVO" %in% x) return("POSITIVO")
       if ("INCONCLUSIVO" %in% x) return("INCONCLUS
       return("NEGATIVO")
                                                                           54°W
                                                                                 52°W
                                                                                              48°W
                                                                                                                        1.2°S
                                                                                           Fonte: IBGE e SEHEP
                                                            B. HEP A: Distribuição dos casos em Melgaço
                                                                                                                        1.4°S
                                                                                                                                                                              Status
     # Aplicar a função de prioridade

    NEGATIVO

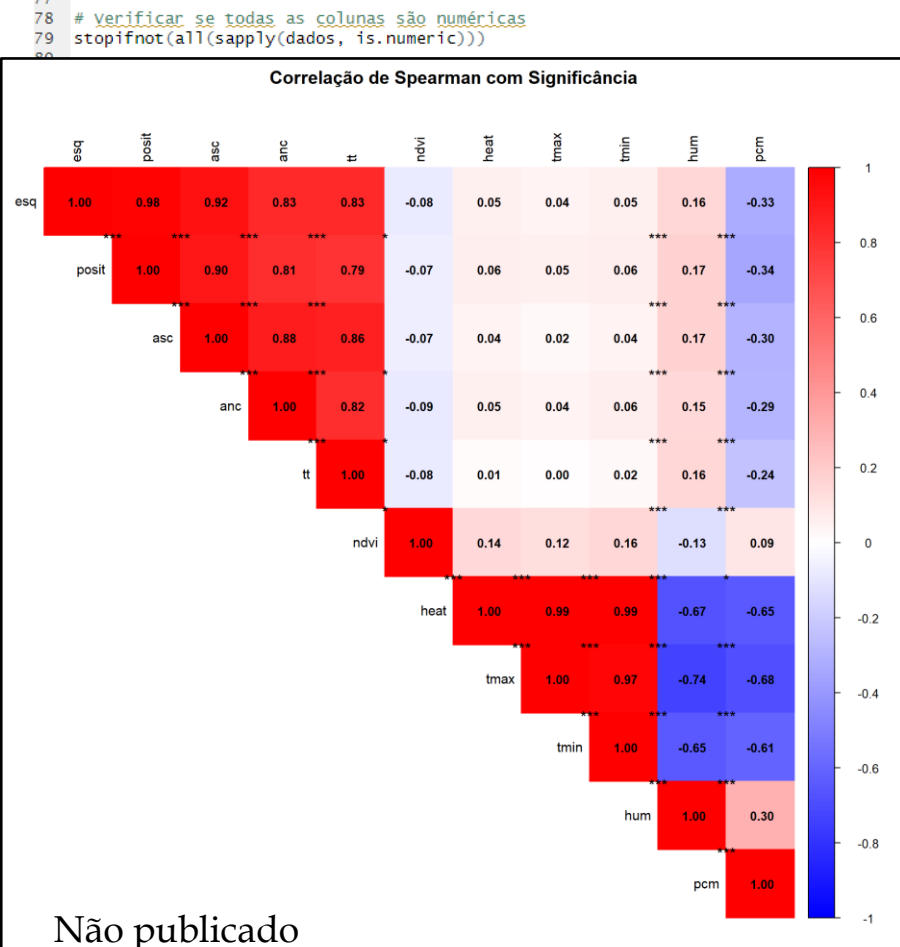
     dados <- dados %>%
                                                                                                                        1.6°S
                                                        1.2°S
       rowwise() %>%
                                                                                                                                                                               POSITIVO
       mutate(HEP_A = prioridade(c(HEP_A)),
              HEP_B = prioridade(c(HEP_B)),
                                                        1.4°S
                                                                                                            Status
               HEP_E = prioridade(c(HEP_E))) %>%
       ungroup()
                                                        1.6°S
                                                                                                            POSITIVO
                                                                                                                                        51.5°W
                                                                                                                                                   51.0°W
                                                                                                                                                                50.5°W
                                                                                                                                                            Fonte: IBGE e SEHEP
                                                        1.8°S
     Não publicado
                                                        2.0°S
                                                           52.0°W
                                                                       51.5°W
                                                                                   51.0°W
                                                                                               50.5°W
```

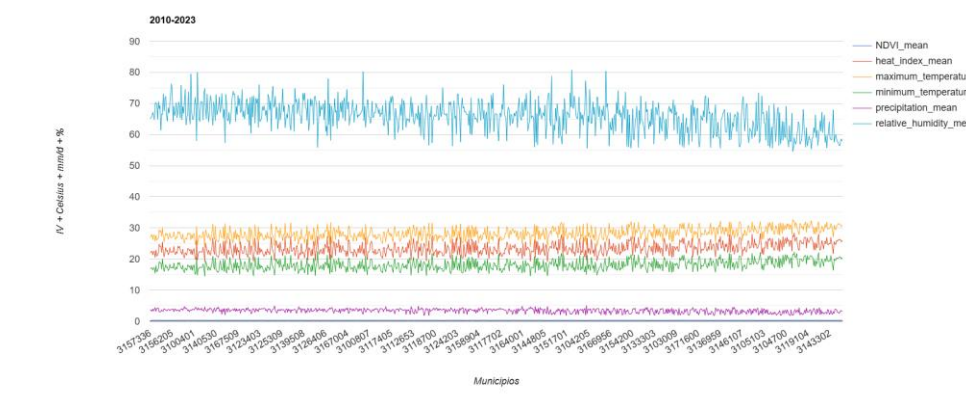
Fonte: IBGE e SEHEP

```
EVANDRO CHAGAS
SECRETARIA DE VIGILÂNCIA
EM SAÚDE E AMBIENTE
```

```
    Source on Save  
    Source  
    Source  

 2 # Script para baixar e analisar os dados de Esquistossomose do PCE #
 3 # período: PCE (2010-2023)
 4 # Fonte DATASUS
 5 # https://datasus.saude.gov.br/acesso-a-informacao/programa-de-controle-da-esquistossomose-pce/
      # Ricardo JPS Guimarães (http://lattes.cnpg.br/4082971128842907)
       # Secão de Epidemiologia do Instituto Evandro Chagas - SEEPI/IEC/SVSA/MS
 # versão R 4.4.1
       install.packages("devtools")
       library(devtools)
       devtools::install_github("danicat/read.dbc")
15
      # Instalar as bibliotecas necessárias
     install.packages("RCurl")
      install.packages("foreign") # Para a função read.dbc
17
18
19
      # Carregar as bibliotecas (pacotes)
      library(RCurl) # pacote para rede HTTP/FTP
      library(foreign) # pacote para dBase
      library(read.dbc) # pacote para ler os dados DBC
25 # variável de interesse do SISPCE Sivep
     # PCE**++.dbc
      # ** UF de interesse (exemplo, dados do Brasil -> "BR"; Minas Gerais -> "MG")
      # ++ Ano de interesse (exemplo, 1995 -> "95" ; 2021 -> "21")
      # DBC é um arquivo DBF compactado que pode ser descompactado utilizando o TabWin
       # Tabwin (https://datasus.saude.gov.br/transferencia-de-arquivos/) ou
       # ftp://ftp.datasus.gov.br/dissemin/publicos/TABWIN/Programa
32
33
       ### Tabela UF do Brasil - Fonte: IBGE
                                                                  Códigos
     # Brasil (BR)
     # Acre (AC)
37 # Alagoas (AL)
38 # Amapá (AP)
```



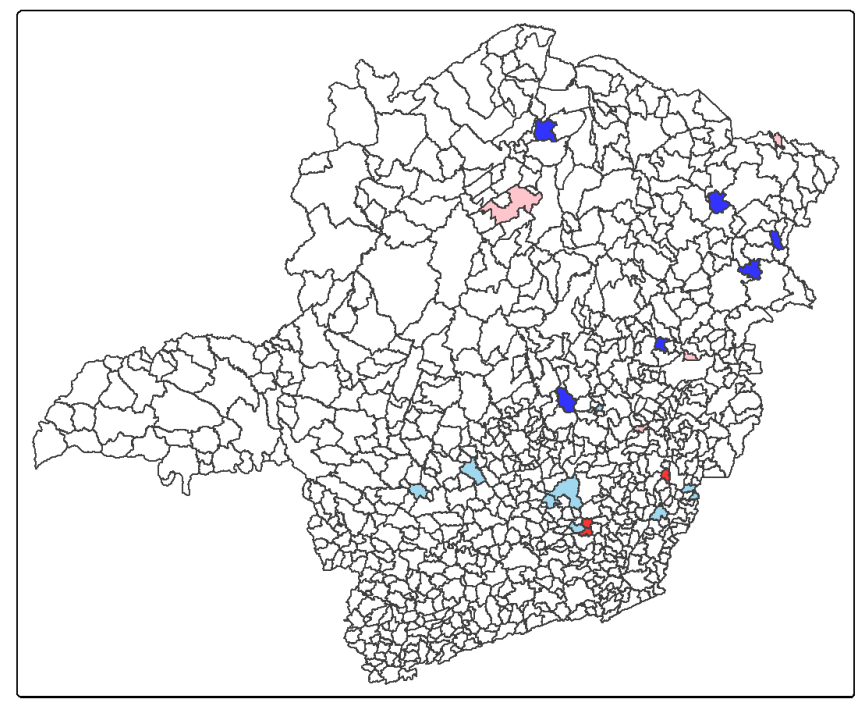




```
🗦 🤚 🦳 Source on Save 🔍 🎢 🗸 📗
                                                                                                                                                                                    DE E AMBIENTE
                                                                                                217
                                                                                                      # Salvar mapas
tmap_save(p, filename = pasteO(nome_base, ".png"), dpi = 200)
16
                                                                                                      tmap_save(p, filename = paste0(nome_base, ".tiff"), dpi = 300, compression = "lzw")
17 # Pacotes
                                                                                                    # tmap_save(p, filename = paste0(nome_base, ".svg"))
18 library(sf)
                                                                                                    # tmap_save(p, filename = paste0(nome_base, ".eps"))
19 library(spdep)
                                                                                                223
                                                                                                     # Salvar resumo
20 library(tidyverse)
                                                                                                      resumo <- data.frame(variavel1 = var1,
21 library(tmap)
                                                                                                225
                                                                                                                          variavel2 = var2,
22 library(writexl) # Para salvar em .xlsx
                                                                                                                          Moran_I_Global = round(mean(Ii_obs, na.rm = TRUE), 4),
                                                                                                226
                                                                                                227
                                                                                                                          P_Valor_Medio = round(mean(pvalores, na.rm = TRUE), 4))
23
24 # Diretório de trabalho
                                                                                                      write.table(resumo, file = paste0(nome_base, "_resumo.txt"), row.names = FALSE)
25 setwd("c:/Ricardo/R_Project/Artigo03/")
                                                                                                      message("☑ LISA bivariado concluído para: ", var1, " vs ", var2)
                                                                                                231
27 # Ler shapefile
                                                                                                232 4 }
   mapa <- st_read("MG_Municipios_2021a.shp") %>%
28
                                                                                                233
                                                                                                234
     st_transform(4674) # SIRGAS 2000
                                                                                                235 # Agravo (esquistossomose) vs. Variáveis ambientais (NDVI, HUM, PCM)
30
                                                                                                236 lisa_bivariado("ESQ", "NDVI", mapa, pesos)
31 # Ler dados
                                                                                                237 lisa_bivariado("ESQ", "HEAT", mapa, pesos)
   dados <- read_csv("MG_PCE_GEE2.csv")</pre>
                                                                                                238 lisa_bivariado("ESQ", "TMAX", mapa, pesos)
                                                                                                239 lisa_bivariado("ESQ", "TMIN", mapa, pesos)
240 lisa_bivariado("ESQ", "HUM", mapa, pesos)
241 lisa_bivariado("ESQ", "PCM", mapa, pesos)
33
34
   # Juntar shapefile + dados
35
   mapa <- mapa %>%
                                                                                                242
      left_join(dados, by = c("CD_MUN7A" = "CD_MUN7A"))
                                                                                                243 lisa_bivariado("POSIT", "NDVI", mapa, pesos)
37
                                                                         273 ######### para fazer uma arquivo no excel/csv com o resumo/tabela dos lisa
38
   # Criar vizinhanca
                                                                         274 # Pacotes necessários
   vizinhos <- poly2nb(mapa)
                                                                         275 library(tidyverse)
   pesos <- nb2listw(vizinhos, style = "W", zero.policy = TRUE)</pre>
                                                                         276 library(readr)
                                                                             library(readx1)
   # Função LISA Bivariado CORRETA
                                                                         278 library(writex1)
43 - lisa_bivariado <- function(var1, var2, mapa, pesos, nsim = 999 279
44
                                                                             # Diretório onde estão os arquivos
                                                                         281 setwd("c:/Ricardo/R_Project/Artigo03/resultados_lisa/") # ajuste se necessário
45
      # Padronizar variáveis
      x <- scale(mapa[[var1]])[, 1]</pre>
                                                                             # Listar todos os arquivos .txt que têm "LISA_Bivariado" no nome
47
      y <- scale(mapa[[var2]])[, 1]</pre>
                                                                             arquivos <- list.files(pattern = "^LISA_Bivariado_.*_resumo\\.txt$")</pre>
48
                                                                         285
49
      # LAG de Y (vizinhança)
                                                                             # Ler todos e juntar
50
      wy <- lag.listw(pesos, y, zero.policy = TRUE, NAOK = TRUE)</pre>
                                                                              moran_resultado_total <- arquivos %>%
51
                                                                                map_dfr(~ read_delim(.x, delim = "\t"))
52
      # Ii Observado
                                                                         290 # Verificar como ficou
53
      Ii_obs <- x * Wy
                                                                         291 glimpse(moran_resultado_total)
54
55
      # Permutações
                                                                         293 # Interpretar a significância
56
      Ii_sim <- matrix(NA, nrow = length(x), ncol = nsim)</pre>
                                                                         294 moran_resultado_total <- moran_resultado_total %>%
57 +
      for (i in 1:nsim)
                                                                         295
                                                                               mutate(Interpretacao = case_when(
58
        y_perm <- sample(y) # Permuta y</pre>
                                                                                  P_Valor_Medio <= 0.001 ~ "Altamente significativo (p ≤ 0.001)",
                                                                                  P_Valor_Medio <= 0.01 ~ "Muito significativo (p < 0.01)",
59
        wy_perm <- lag.listw(pesos, y_perm, zero.policy = TRUE, NA 297</pre>
                                                                                  P_Valor_Medio <= 0.05 ~ "Significativo (p < 0.05)",
                                                                         298
60
        Ii_sim[, i] <- x * Wy_perm</pre>
                                                                         299
                                                                                  TRUE ~ "Não significativo (p > 0.05)"
61 ^
                                                                         300
                                                                               ))
62
                                                                         301
      # P-valor empírico
                                                                         302 print(moran_resultado_total)
                                                                         303 # Salvar como CSV
                                                                         304 write_csv(moran_resultado_total, "Resumo_LISA_Bivariado_Total.csv")
                                                                             write_xlsx(moran_resultado_total, "Resumo_LISA_Bivariado_Total.xlsx")
     Não publicado
                                                                             message(" Arquivos 'Resumo_LISA_Bivariado_Total.csv' e 'Resumo_LISA_Bivariado_Total.xlsx' foram salvos com sucesso!")
```

```
← Cource on Save Q ※ • □
                                                                                                                                                                       DE E AMBIENTE
                                                                                              tmap_save(p, filename = paste0(nome_base, ".png"), dpi = 200)
        LISA_Bivariado_ESQ_PCM_resumo. X
                                                                                              tmap_save(p, filename = paste0(nome_base, ".tiff"), dpi = 300, compression = "lzw")
                                                                                            # tmap_save(p, filename = paste0(nome_base, ".svg"))
                                                                                            # tmap_save(p, filename = paste0(nome_base, ".eps"))
Arquivo
               Editar
                           Exibir
                                                                                              # Salvar resumo
                                                                                              resumo <- data.frame(variavel1 = var1,
                                                                                                                variavel2 = var2,
                                                                                                                Moran_I_Global = round(mean(Ii_obs, na.rm = TRUE), 4),
"Variavel1" "Variavel2" "Moran I Global" "P Valor Medio"
                                                                                                                P_Valor_Medio = round(mean(pvalores, na.rm = TRUE), 4))
"ESQ" "PCM" -0.231 0.2644
                                                                                         !9 write.table(resumo, file = paste0(nome_base, "_resumo.txt"), row.names = FALSE)
```

```
st_transform(4674) # SIRGAS 2000
31 # Ler dados
32 dados <- read_csv("MG_PCE_GEE2.csv")</pre>
33
34 # Juntar shapefile + dados
35 mapa <- mapa %>%
    left_join(dados, by = c("CD_MUN7A" = "CD_MUN7A"))
37
38 # Criar vizinhanca
39 vizinhos <- poly2nb(mapa)</pre>
40 pesos <- nb2listw(vizinhos, style = "W", zero.policy = TRUE
42 # Função LISA Bivariado CORRETA
43 - lisa_bivariado <- function(var1, var2, mapa, pesos, nsim =
45 # Padronizar variáveis
   x <- scale(mapa[[var1]])[, 1]</pre>
     y <- scale(mapa[[var2]])[, 1]</pre>
48
49
     # LAG de Y (vizinhança)
50
     Wy <- lag.listw(pesos, y, zero.policy = TRUE, NAOK = TRUE
52
     # Ii Observado
53
     Ii_obs <- x * Wy
55
    # Permutações
56     Ii_sim <- matrix(NA, nrow = length(x), ncol = nsim)</pre>
57 + for (i in 1:nsim) ·
       y_perm <- sample(y) # Permuta y</pre>
59
        wy_perm <- lag.listw(pesos, y_perm, zero.policy = TRUE,</pre>
        Ii_sim[, i] <- x * Wy_perm</pre>
61 ^
63 # P-valor empírico
```











Geospatial Health 2021; volume 16:981

Sociodemographic and spatiotemporal profiles of hepatitis-A in the state of Pará, Brazil, based on reported notified cases

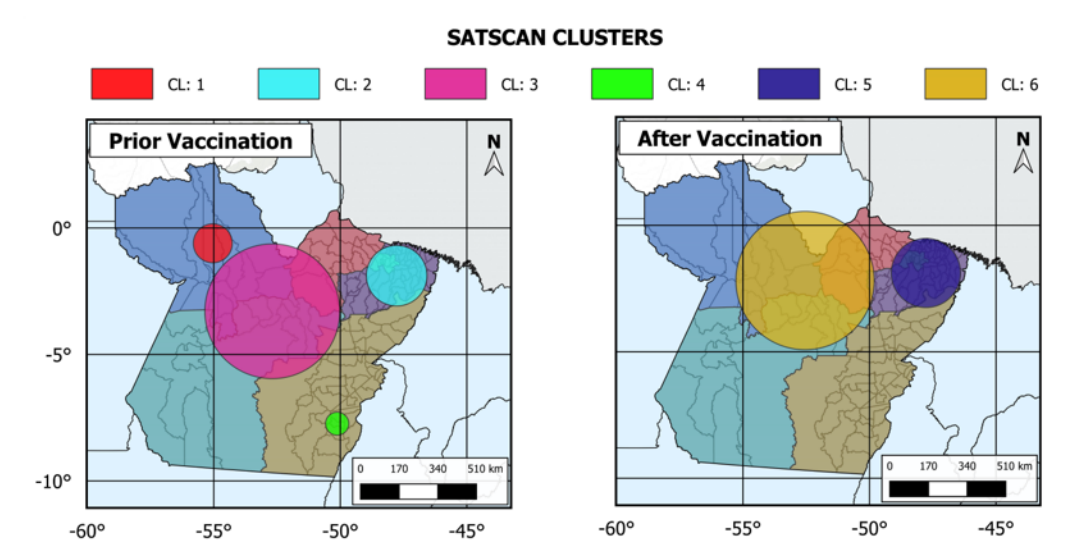
Philipe Riskalla Leal, 1 Ricardo José de Paula Souza e Guimarães, 2 Milton Kampel 1

¹National Institute for Space Research, São José dos Campos, SP; ²Evandro Chagas Institute, Ananindeua, PA, Brazil





Figure 12: Cluster formation with respect to hepatitis-A incidence in Pará State, Brazil in the periods before and after the start of the national public vaccination programme.



| CLUSTER | RADIUS (km) | START DATE | END DATE | LLR | P-VALUE | OBSERVED | EXPECTED | ODE | RR |
|---------|----------------|------------|------------|---------|---------|----------|----------|-------|-------|
| 1 | 85.6 | 2011/01/01 | 2012/12/31 | 1257.62 | 0 | 519 | 18.48 | 28.09 | 31.37 |
| 2 | 133.33 | 2009/01/01 | 2011/12/31 | 292.17 | 0 | 344 | 937.68 | 0.37 | 0.32 |
| 3 | 296.05 | 2014/01/01 | 2014/12/31 | 227.55 | 0 | 333 | 66.51 | 5.01 | 5.31 |
| 4 | 50.73 | 2008/01/01 | 2009/12/31 | 113.7 | 0 | 108 | 16.25 | 6.65 | 6.78 |
| 5 | 152.07 | 2017/01/01 | 2017/12/31 | 99.83 | 0 | 7 | 116.76 | 0.06 | 0.05 |
| 6 | 303.75 | 2015/01/01 | 2015/12/31 | 517.52 | 0 | 307 | 28.69 | 10.7 | 18.32 |

Geospatial Health 2021. DOI:10.4081/gh.2021.981

CL= cluster; period 1: 2008-2014; period 2: 2015-2017. Figure created using QGIS version 3.18.







GeoHealth



RESEARCH ARTICLE

10.1029/2020GH000327

Associations Between Environmental and Sociodemographic Data and Hepatitis-A Transmission in Pará State (Brazil)

Philipe Riskalla Leal¹, Ricardo José de Paula Souza e Guimarães², and Milton Kampel¹

Table 1
General Characteristics of the Remote Sensing Variables Used in This Study (Data Access: Google Engine Platform)

| Data | Source | Sensor | Spatial resolution | Spatial aggregation | Temporal resolution |
|---|--------------------------------------|------------------------------|----------------------------|--------------------------|---------------------|
| Daytime and nighttime surface temperature | NASA ^a /USGS ^b | MODIS | $1 \times 1 \text{ km}$ | Average per municipality | 8 days |
| Surface spectral reflectance ^d | NASA ^a /USGS ^b | Landsat series | $30 \times 30 \text{ m}$ | Average per municipality | 16 days |
| EVI/ NDVI | NASA ^a /USGS ^b | MODIS | $250 \times 250 \text{ m}$ | Average per municipality | 16 days |
| Altimetry | SRTM ^e | Rađar | $30 \times 30 \text{ m}$ | | |
| Precipitation | Climate Hazards Group | Multi-plataform ^f | $4 \times 4 \text{ km}$ | Average per municipality | Daily |

^aNASA: National Aeronautics and Space Administration. ^bUSGS: United States Geological Survey. ^cMODIS: Moderate Resolution Imaging Spectroradiometer. ^dLandsat surface spectral reflectance atmospherically corrected by the LASRC algorithm (U.S. GEOLOGICAL SURVEY, 2019). ³³ ^eSRTM: - Shuttle Radar Topographic Mission (de saint-exupéry et al., 2007). ³⁴ ^fPrecipitation from the Climate Hazards Group Infrared Precipitation with Stations (CHIRPS) data set. (Funk et al., 2015) The data set comprises different platforms, orbiting sensors and in situ meteorological station data.

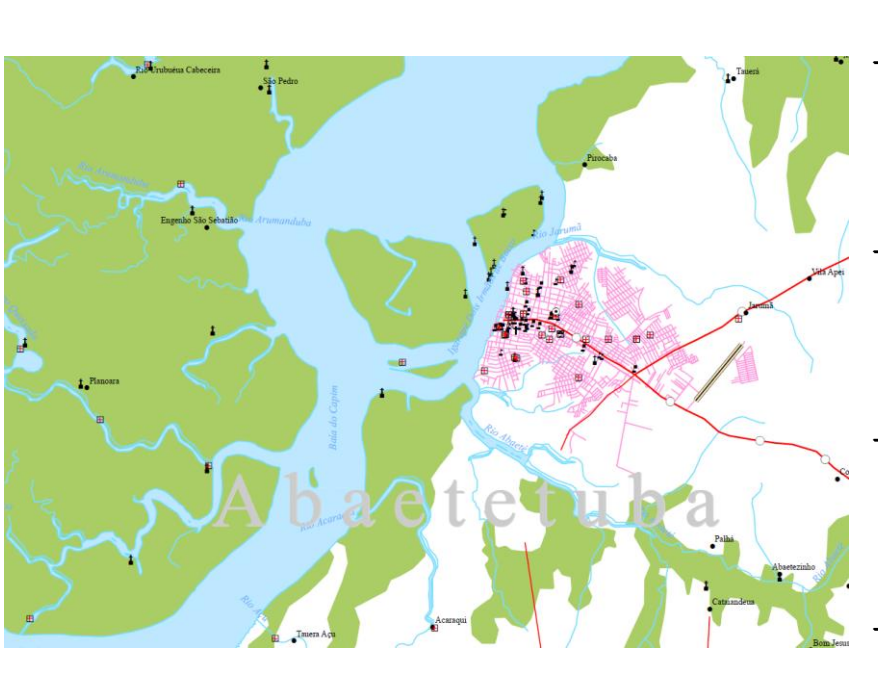
GeoHealth 2021. DOI: 10.1029/2020GH000327

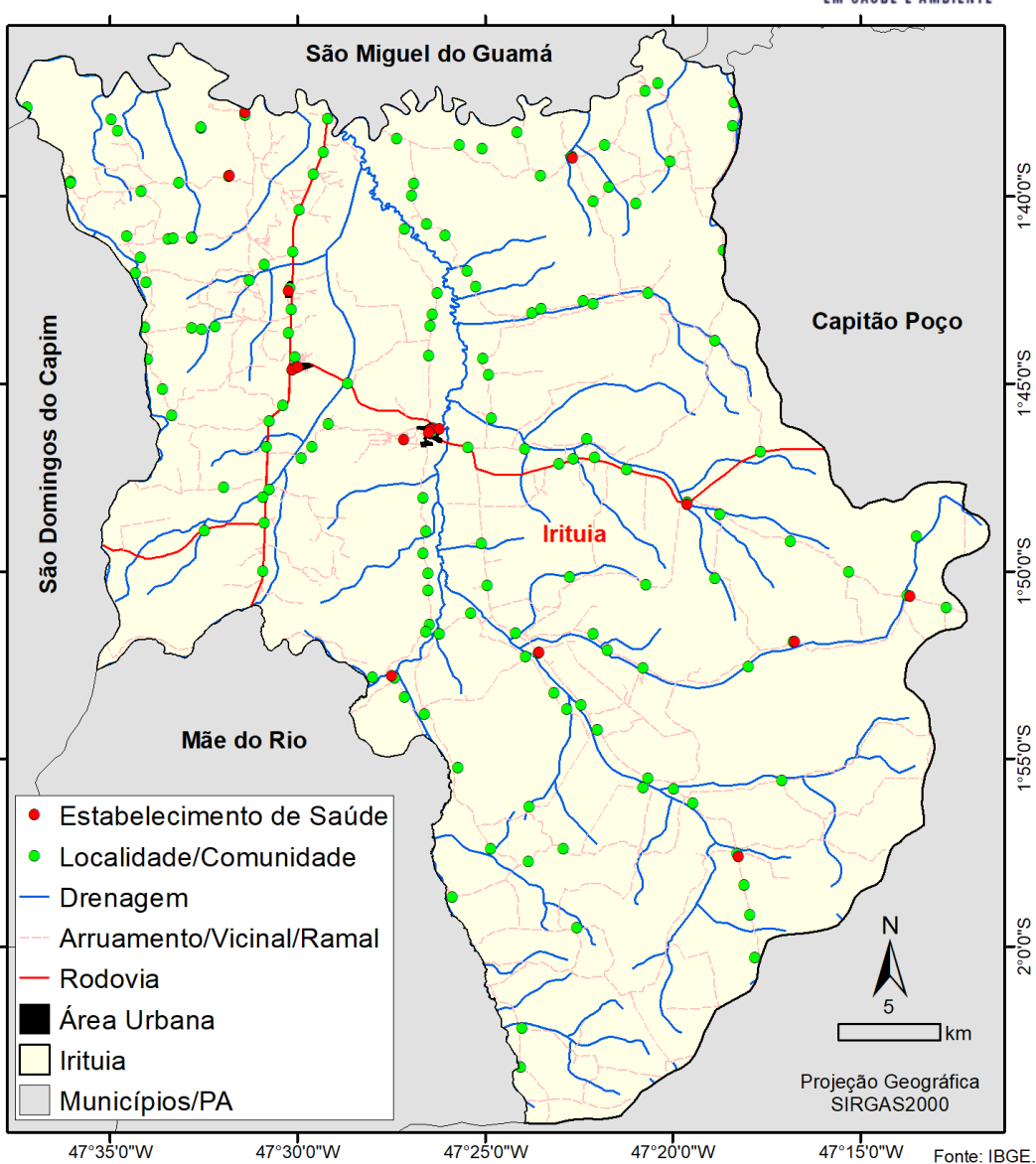
¹National Institute for Space Research (INPE, Instituto Nacional de Pesquisas Espaciais), São Paulo, Brazil, ²Evandro Chagas Institute, Belém, State of Pará, Brazil



Aplicação (Município)





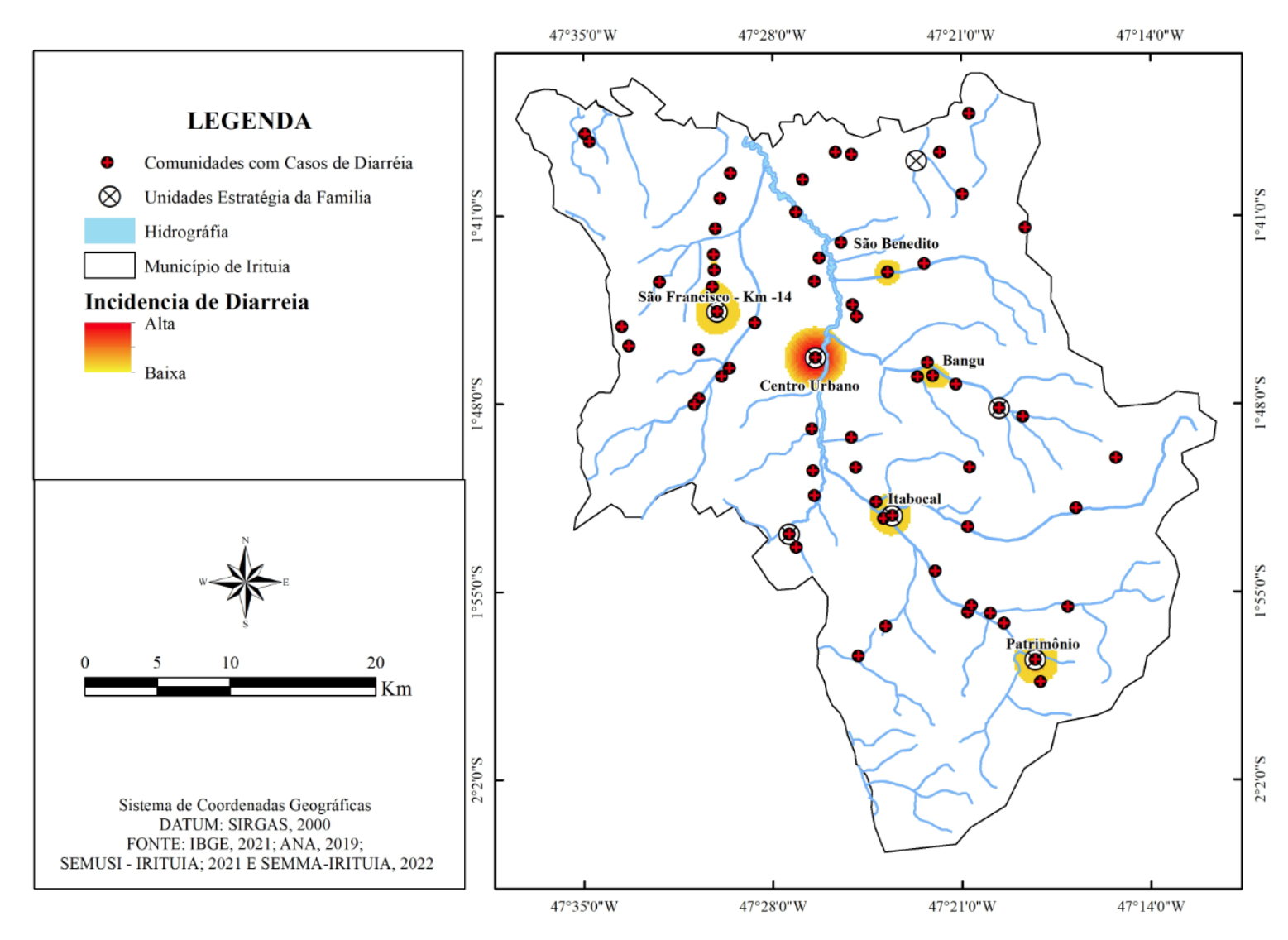


Não publicado

Aplicação (Município)







Não publicado

Aplicação (Município)





ENCONTRO CIENTÍFICO DE PESQUISAS APLICADAS À VIGILÂNCIA EM SAÚDE ECPAVS - 2024

PROGRAMAÇÃO

DATA: 06 a 08/11/2024 HORÁRIO: 8h – 18h

8h - 9h

LOCAL: Hotel San Marco, Setor Hoteleiro Sul - Quadra 05 - Bloco C - Brasília/DF

combate às enfermidades.

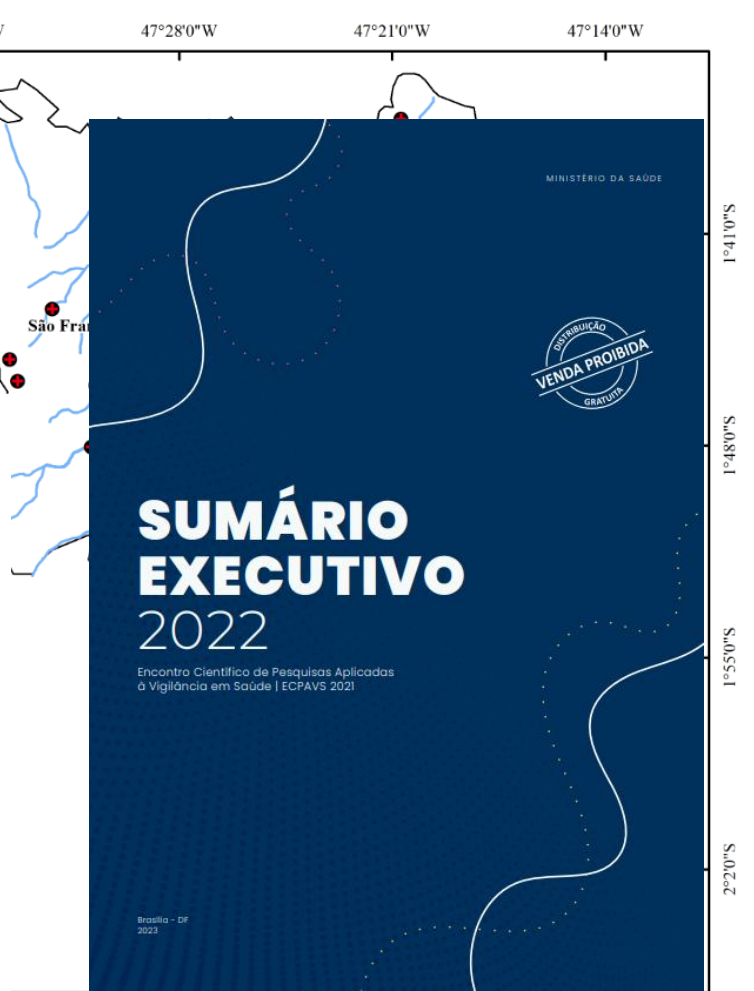
Evandro Chagas – IEC/SVSA/MS

Credenciamento SALA TEMÁTICA – TARDE - SALA 3

| | Coordenador da mesa: Bruno Santana Carneiro – Pesquisador do Instituto Evandro Chagas – IEC/SVSA/MS |
|-------------|--|
| Horário | Tema: Análise da expressão gênica em células do sistema nervoso expostas ao MeHg em ensaio <i>in vitro</i> de co-cultura. |
| 14h-14h20 | Palestrante: Edivaldo Herculano Correa de Oliveira – Pesquisador do Instituto Evandro Chagas – IEC/SVSA/MS |
| Horário | Tema: Potencialidade do biomarcador troponina para avaliação de dano miocárdico em portadores de doença de Chagas aguda. |
| 14h20-14h40 | Palestrante: Ana Yecê das Neves Pinto – Pesquisadora do Instituto Evandro Chagas – IEC/SVSA/MS |
| 11 | Tema: Saúde e meio ambiente: geoprocessamento aplicado ao diagnóstico e espacialização de infraestrutura municipal, como ferramenta do poder público no |

Palestrante: Ricardo José de Paula Souza e Guimaraes - Pesquisador do Instituto

DEBATE



47°21'0"W

47°28'0"W

Horário

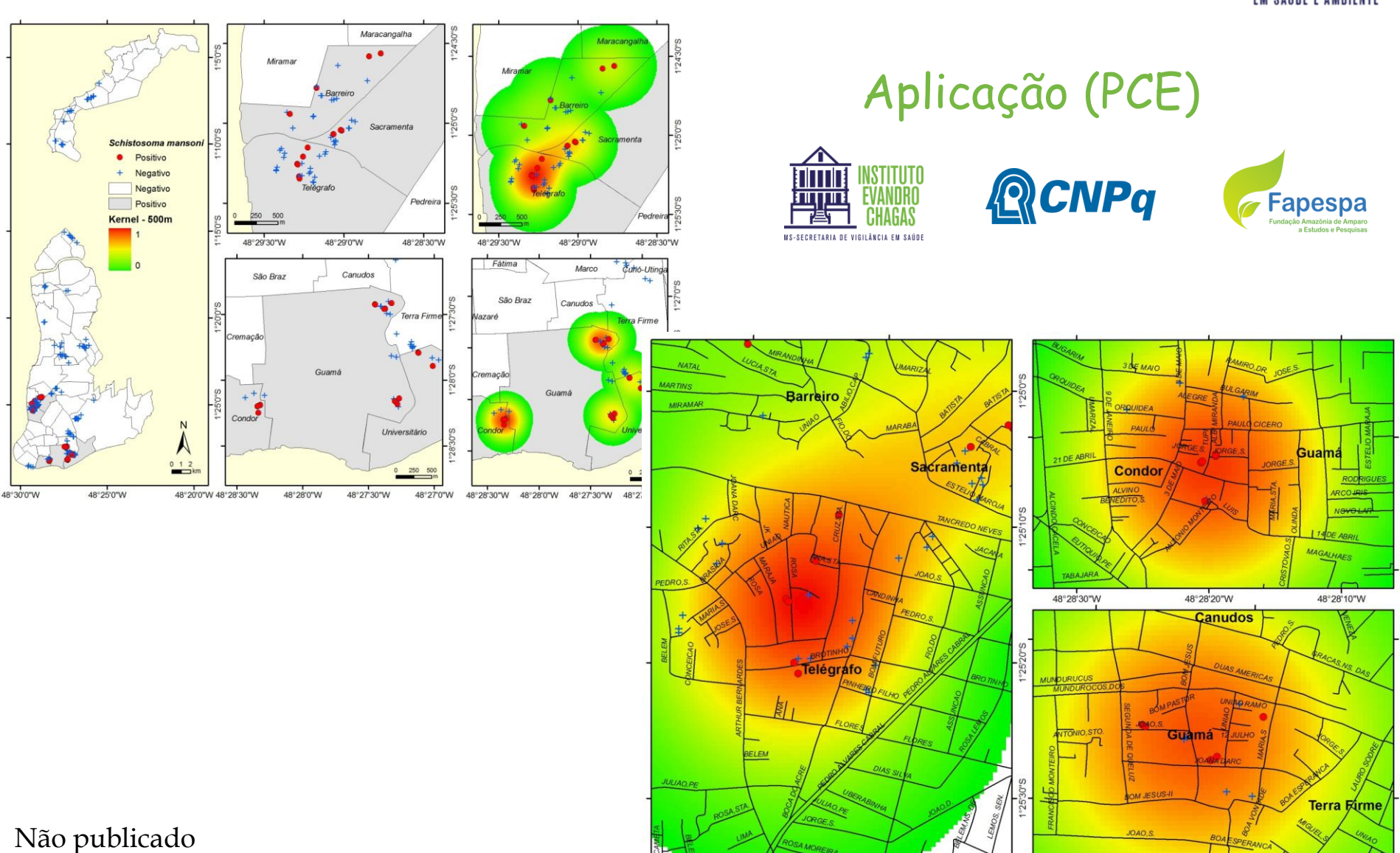
14h40-15h

Horário

15h-15h30

47°14'0"W





48°29'20"W

48°29'10"W

48°27'20"W

48°27'30"W

Aplicação

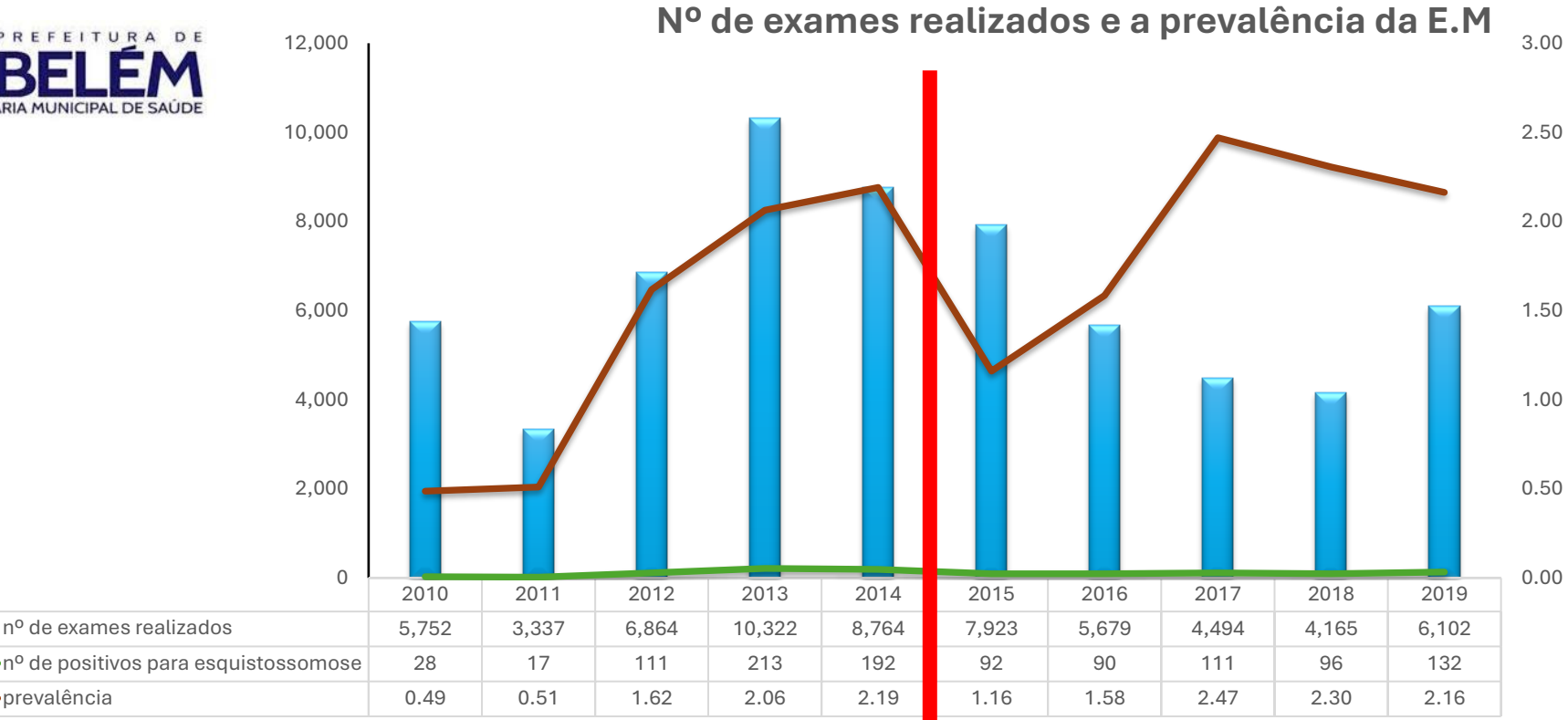
nº de exames realizados

prevalência





No de Exames



Antes da Experiência

35.039 exames / 561 infectados

Prevalência: 1,37

Não publicado

Execução da Experiência

28.363 / 521 infectados Prevalência: 1,93



Aplicação (Vigilância)







Aplicação (vigilância)



Aplicação (Vigilância)

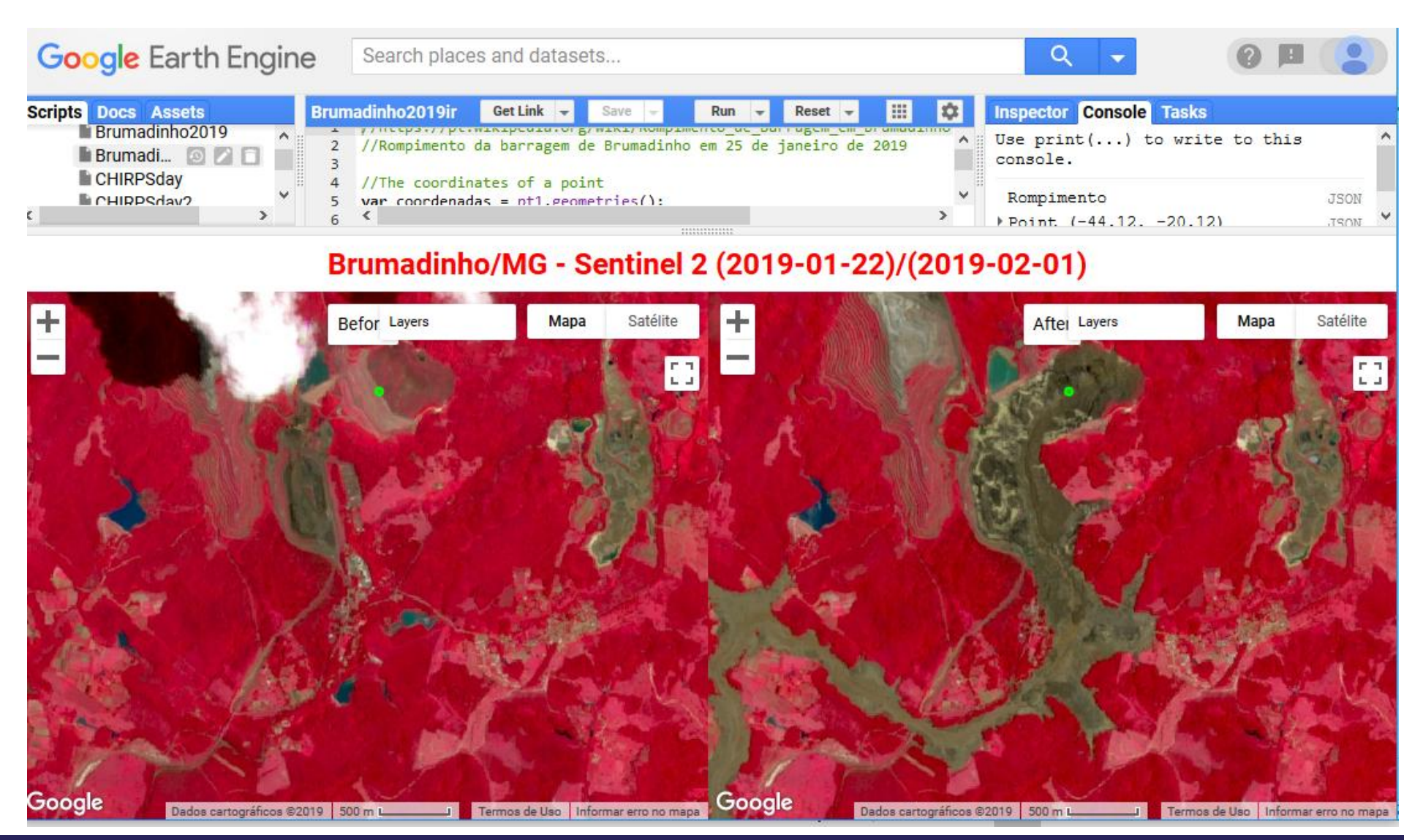




Aplicação (Ambiente/Saúde)

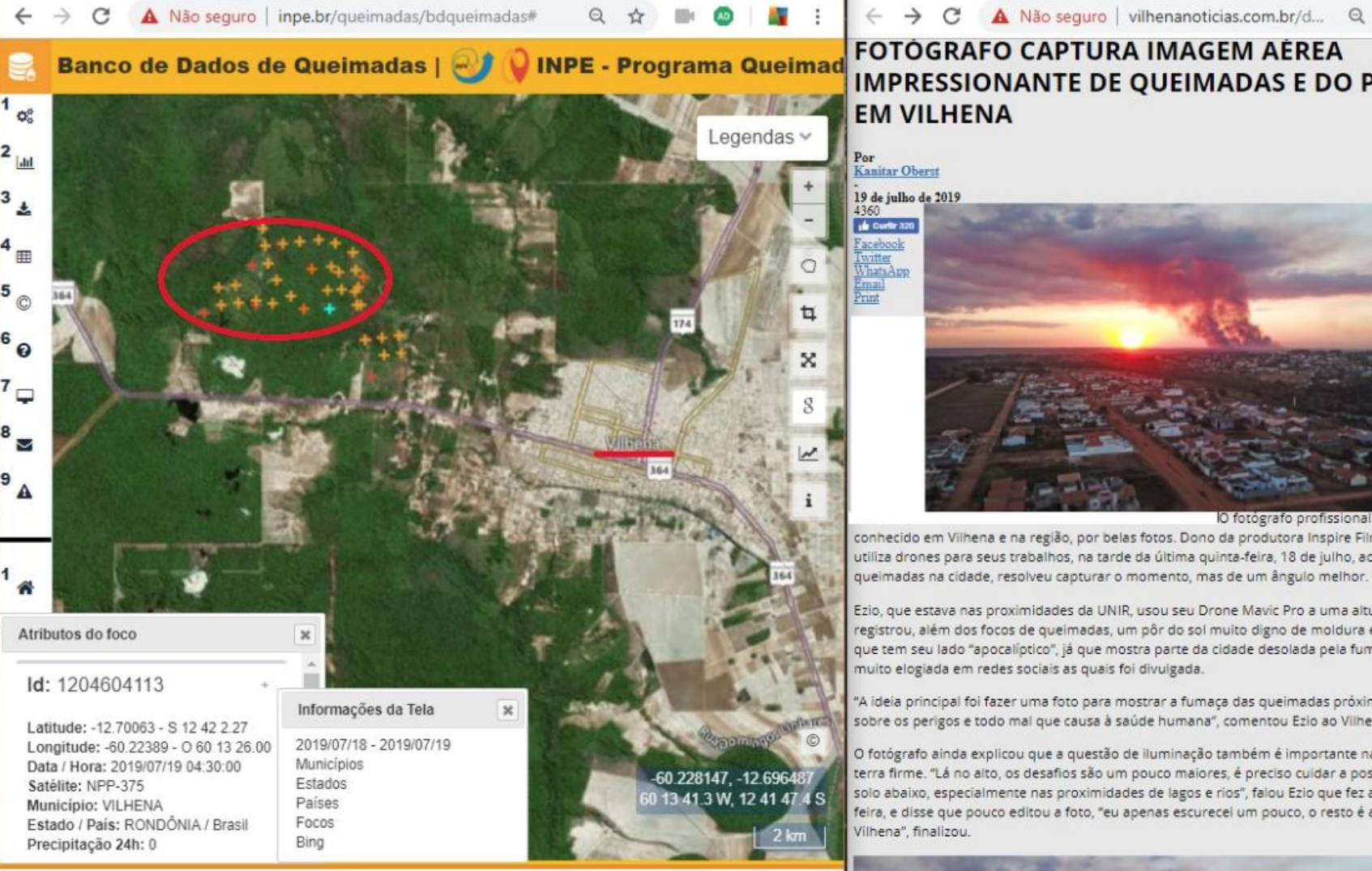






Aplicação (Ambiente/Saúde)





FOTOGRAFO CAPTURA IMAGEM AÉREA IMPRESSIONANTE DE QUEIMADAS E DO PÔR DO SOL **EM VILHENA**

Kanitar Oberst



O fotógrafo profissional Ezio Ricardo Martins é

conhecido em Vilhena e na região, por belas fotos. Dono da produtora Inspire Films ele agora também utiliza drones para seus trabalhos, na tarde da última quinta-feira, 18 de julho, ao ver dois focos de queimadas na cidade, resolveu capturar o momento, mas de um ângulo melhor.

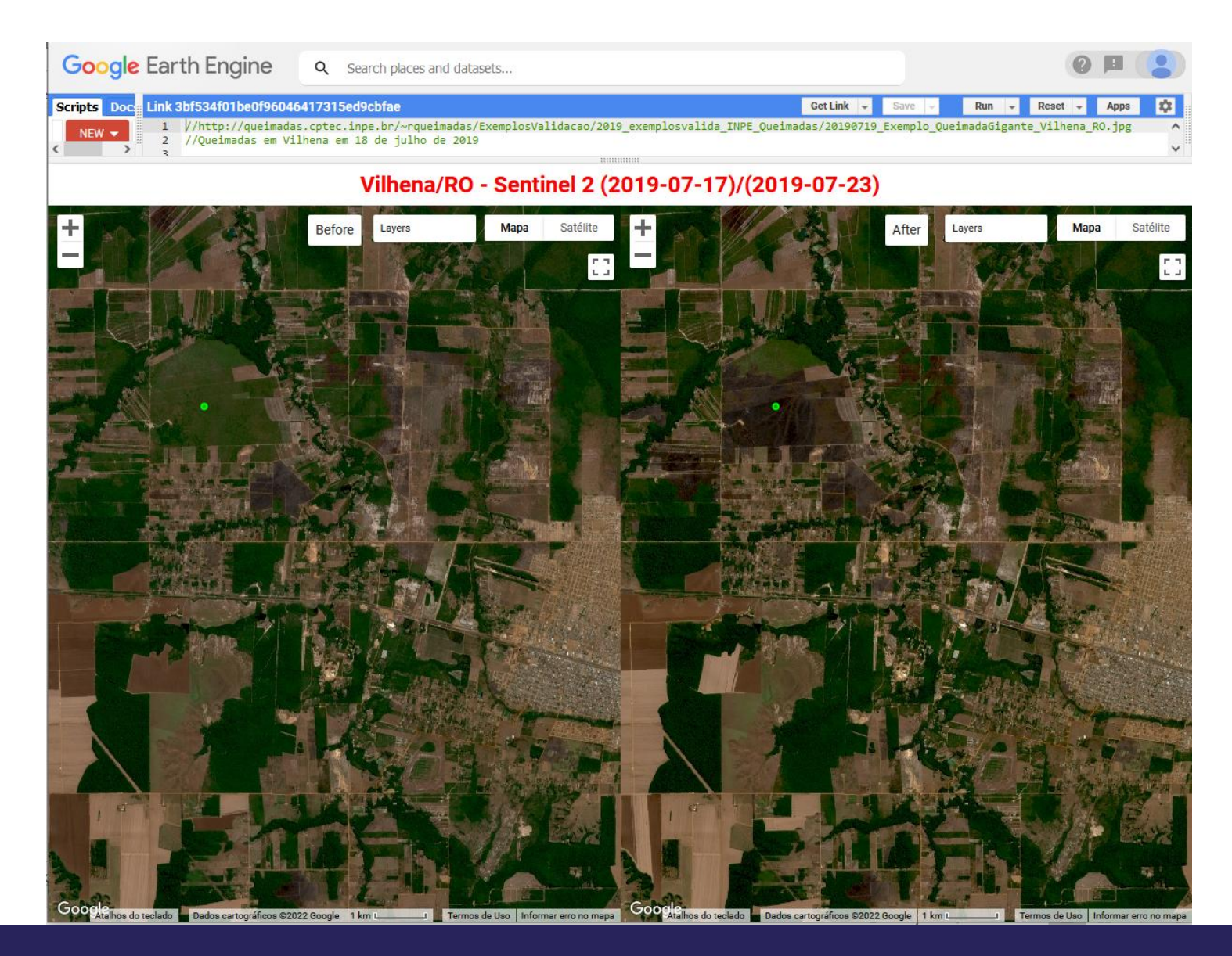
Ezio, que estava nas proximidades da UNIR, usou seu Drone Mavic Pro a uma altura de 140 metros e registrou, além dos focos de queimadas, um pôr do sol muito digno de moldura em Vilhena. A imagem que tem seu lado "apocalíptico", já que mostra parte da cidade desolada pela fumaça da queimada, foi muito elogiada em redes sociais as quais foi divulgada.

"A ideia principal foi fazer uma foto para mostrar a fumaça das queimadas próximas da cidade e alertar sobre os perigos e todo mai que causa à saúde humana", comentou Ezio ao Vilhena Notícias.

O fotógrafo ainda explicou que a questão de iluminação também é importante nas fotos aéreas como em terra firme. "Lá no alto, os desafios são um pouco maiores, é preciso cuidar a posição do sol, reflexos do solo abaixo, especialmente nas proximidades de lagos e rios", falou Ezio que fez a foto às 17h30 de quintafeira, e disse que pouco editou a foto, "eu apenas escurecei um pouco, o resto é a total realidade de Vilhena", finalizou,

Aplicação (Ambiente/Saúde)





Aplicação (Temporal)



11/2021



06/2022



Projeto MILDs Não publicado





Aplicação (Fotos e Vídeos)



Agradecimentos









































Obrigado!

ricardoguimaraes@iec.gov.br

